

UNIVERSIDADE FEDERAL FLUMINENSE
FACULDADE DE VETERINÁRIA
PROGRAMA DE PÓS-GRADUAÇÃO EM MEDICINA VETERINÁRIA
(CLÍNICA E REPRODUÇÃO ANIMAL)

LILIAN DOS SANTOS RIBEIRO

SUPLEMENTAÇÃO COM CROMO ORGÂNICO NA DIETA DE VACAS
GIROLANDO SOB ESTRESSE CALÓRICO EM CÂMARA CLIMÁTICA

Niterói, RJ

2020

LILIAN DOS SANTOS RIBEIRO

SUPLEMENTAÇÃO COM CROMO ORGÂNICO NA DIETA DE VACAS
GIROLANDO SOB ESTRESSE CALÓRICO EM CÂMARA CLIMÁTICA

Tese apresentada ao Programa de Pós-Graduação em Medicina Veterinária da Universidade Federal Fluminense, como requisito parcial para obtenção do Grau de Doutor em Medicina Veterinária. Área de Concentração: Clínica e Reprodução Animal.

Orientador:

PROF. DR. FELIPE ZANDONADI BRANDÃO

Coorientadores:

DR. BRUNO CAMPOS DE CARVALHO

PROF. DR. RODOLPHO DE ALMEIDA TORRES FILHO

Niterói, RJ

2020

LILIAN DOS SANTOS RIBEIRO

SUPLEMENTAÇÃO COM CROMO ORGÂNICO NA DIETA DE VACAS
GIROLANDO SOB ESTRESSE CALÓRICO EM CÂMARA CLIMÁTICA

Tese apresentada ao Programa de Pós-Graduação em Medicina Veterinária da Universidade Federal Fluminense, como requisito parcial para obtenção do Grau de Doutor em Medicina Veterinária. Área de Concentração: Clínica e Reprodução Animal.

Aprovada em 17 de fevereiro de 2020.

BANCA EXAMINADORA

Prof. Dr. Felipe Zandonadi Brandão – UFF – Orientador

Prof^a. Dra. Joanna Maria Gonçalves de Souza-Fabjan – UFF

Dr. Eduardo Kenji Nunes Arashiro – UFF

Dr. Luiz Sérgio de Almeida Camargo – Embrapa Gado de Leite

Prof. Dr. Marco Roberto Bourg de Mello – UFRRJ

Niterói, RJ

2020

Dedico esta tese aos meus pais e à minha amada irmã

AGRADECIMENTOS

Primeiramente, agradeço a Deus, pela condução e amparo nessa caminhada. Saber que sou amada por Ele e confiar nos seus planos traz sabor especial à vida.

Aos meus pais, **Joel e Cida**, por priorizarem o investimento em educação de qualidade para mim e para a minha irmã, abrindo mão de sonhos pessoais para que nós duas tivéssemos todas as condições de realizarmos os nossos, sempre presentes e nos apoizando em todas as nossas escolhas. Pai, todas as minhas vitórias também são suas. Mãe, um amor tão forte que transcende e está sempre me guiando.

À minha irmã **Lidiana**, que é meu amor e porto seguro para todas as horas, meu exemplo e orgulho.

Ao meu marido **Rodrigo**, pelo amor, carinho, apoio e compreensão indispensáveis para a conclusão dessa etapa. Dividir a vida com você é um presente!

Aos meus afilhados, filhos do coração, **Laura e Miguel**, que me proporcionam a vivência de um amor puro e me trazem a responsabilidade de ser exemplo.

À Universidade Federal Fluminense, à Embrapa Gado de Leite e à Coordenação de Aperfeiçoamento de Pessoal de Nível Superior (CAPES).

Ao meu orientador **Felipe Brandão** e ao meu coorientador **Bruno Carvalho**, pela oportunidade do doutorado, pelos ensinamentos e generosidade em dividilos, também pela confiança depositada no cumprimento do trabalho. Agradeço também a sensibilidade e empatia que tiveram no momento que mais precisei de apoio, nunca esquecerei.

Aos meus eternos orientadores, **Rodolpho e Carla**, pelo carinho, amizade e apoio de sempre.

Aos estagiários e funcionários da Embrapa Gado de Leite que me auxiliaram grandemente na etapa de campo e análises laboratoriais. A ajuda de vocês foi essencial. Foram momentos de muito aprendizado e de muita diversão.

Aos amigos e colegas de pós-graduação, que dividiram as alegrias e angústias do caminho, em especial, à **Diana Lemos, Gustavo Torres e Luciano Carvalheira**. Vocês foram essenciais para o desenvolvimento do trabalho e para que eu chegassem ao fim desta etapa. Agradeço a amizade, parceria e doação ao experimento. De fato, quem tem amigos...

Aos demais amigos, pela torcida, pelos “empurrões” em momentos de desânimo e todas as experiências que somente um “bom e velho amigo” pode proporcionar.

Aos familiares que torcem a apoiam toda a minha trajetória pessoal e profissional.

Finalmente, com muito respeito, agradeço também aos animais que participaram deste experimento e outros mais. Eles são fundamentais para a ciência e para o desenvolvimento da espécie humana.

Muito obrigada!

“O período de maior ganho em conhecimento e experiência é o período mais difícil da vida de alguém.”

Dalai Lama

RESUMO

É sabido que as condições do ambiente nos trópicos causam grandes prejuízos econômicos à produção animal, impactando na produção de leite e o desempenho reprodutivo. O presente estudo teve como objetivo avaliar a suplementação com cromo orgânico na dieta de vacas Girolando em lactação sob estresse calórico em parâmetros produtivos, reprodutivos e metabólicos. Trinta e seis vacas Girolando em lactação foram submetidas a dois ensaios sequenciais. No ensaio 1 (ambiente termoneutro) foi avaliado o efeito da suplementação com cromo (0 vs. 0,50 mg/kg de matéria seca). No ensaio 2 as vacas foram alimentadas com as mesmas dietas, porém foram divididas em três condições ambientais: condições de estresse calórico em câmara climática, alimentadas *ad libitum* (HS); ambiente termoneutro, alimentadas *ad libitum* (TN); ambiente termoneutro, *pair-fed* (PF). A suplementação com cromo orgânico não alterou o consumo de matéria seca, a produção de leite nem os parâmetros reprodutivos avaliados neste estudo. Sob condições termoneutras, a suplementação com cromo não afetou os parâmetros metabólicos avaliados. Durante o estresse calórico, a suplementação com cromo diminuiu as concentrações de glicose no plasma ($61,17 \pm 1,90$ vs. $67,11 \pm 1,90$ mg/dL) e aumentou a relação insulina: glicose ($0,39 \pm 0,04$ vs. $0,27 \pm 0,04$). Vacas alimentadas com a dieta controle no grupo HS apresentaram valores mais altos de temperatura vaginal ($39,40 \pm 0,10$ °C) do que as vacas dos grupos TN e PF ($38,89 \pm 0,10$ °C e $38,85 \pm 0,11$ °C, respectivamente). No entanto, as vacas suplementadas sob estresse calórico mantiveram a mesma temperatura vaginal que as vacas em condições termoneutras. Comparando as duas dietas na condição HS, as expressões gênicas hepáticas do transportador de glicose 2 (GLUT2), glicose-6-fosfatase (G6Pase) e receptor de hormônio de crescimento (rGH) foram *downregulated* ($P<0,05$) nas vacas suplementadas com cromo orgânico em comparação com as vacas alimentadas com a dieta controle. Para as vacas alimentadas com a dieta controle, a expressão de GLUT2 foi *upregulated* ($P<0,05$) no grupo HS e o fator de crescimento semelhante à insulina 1 (IGF1) foi *downregulated* ($P<0,05$) no grupo PF em comparação com o grupo TN. Não foram observadas diferenças na abundância relativa de GLUT2, fosfoenolpiruvato carboxiquinase (PEPCK), G6Pase, rGH e transcritos de IGF1 entre as diferentes condições ambientais para vacas suplementadas. Em conclusão, a suplementação de cromo melhorou o metabolismo da glicose e impediu o aumento da temperatura vaginal sob condições de estresse calórico. Além disso, o estresse calórico causou alterações na expressão gênica relacionadas ao metabolismo da glicose no fígado, e o cromo orgânico apresentou capacidade de modulação sobre o metabolismo da glicose em animais sob estresse calórico.

Palavras-chave: expressão gênica, gado mestiço, glicose, metabolismo, produção de leite

ABSTRACT

Environmental conditions in tropics are known to cause major economic damage to livestock production, impacting milk production, and reproductive performance. This study aimed to evaluate the supplementation with organic chromium in the diet of lactating Girolando cows submitted to heat stress in productive, reproductive, and metabolic parameters. Thirty-six lactating Girolando cows were subjected to two sequential trials. In trial 1 (thermoneutral environment), the effect of chromium supplementation was evaluated (0 vs. 0.50 mg/kg of dry matter). In trial 2, the cows were fed the same diets, but they were divided into three environmental conditions: heat stress condition in a climatic chamber, fed *ad libitum* (HS); thermoneutral environment, fed *ad libitum* (TN); and thermoneutral environment, pair-fed (PF). Supplementation with organic chromium did not alter the dry matter intake, milk production or reproductive parameters evaluated in this study. Under thermoneutral condition, chromium supplementation did not affect the metabolic parameters evaluated. During heat stress, chromium supplementation decreased plasma glucose levels (61.17 ± 1.90 vs. 67.11 ± 1.90 mg/dL) and increased insulin: glucose ratio (0.39 ± 0.04 vs. 0.27 ± 0.04). Cows fed with the control diet in HS group had higher values of vaginal temperature (39.40 ± 0.10 °C) than cows in groups TN and PF (38.89 ± 0.10 °C and 38.85 ± 0.11 °C, respectively). However, supplemented cows under heat stress maintained the same vaginal temperature as cows under thermoneutral condition. Comparing the two diets in HS condition, the expressions of glucose transporter 2 (GLUT2), glucose-6-phosphatase (G6Pase), and growth hormone receptor (GHR) were downregulated ($P<0.05$) in the cows supplemented with organic chromium compared to the cows fed the control diet. GLUT2 expression was upregulated ($P<0.05$) in the HS group and insulin-like growth factor 1 (IGF1) was downregulated ($P<0.05$) in the PF group compared to the TN group for the cows fed the control diet. No differences were observed in the relative abundance of GLUT2, phosphoenolpyruvate carboxykinase (PEPCK), G6Pase, GHR and transcripts of IGF1 among the different environmental conditions for supplemented cows. In conclusion, chromium supplementation improved glucose metabolism and prevented vaginal temperature increase under heat stress condition. Additionally, heat stress caused alterations in gene expression related to glucose metabolism in the liver, and organic chromium presented a modulation capacity over the glucose metabolism of animals under heat stress condition.

Keywords: gene expression, crossbred cattle, glucose, metabolism, milk production

SUMÁRIO

1. INTRODUÇÃO.....	15
2. REVISÃO BIBLIOGRÁFICA.....	17
2.1 ESTRESSE CALÓRICO.....	17
2.2 IMPACTOS DO ESTRESSE CALÓRICO NO CONSUMO DE MATÉRIA SECA, PRODUÇÃO E COMPOSIÇÃO DO LEITE.....	20
2.3 IMPACTOS DO ESTRESSE CALÓRICO NA REPRODUÇÃO.....	23
2.4 IMPACTOS DO ESTRESSE CALÓRICO NO METABOLISMO.....	25
2.5 SUPLEMENTAÇÃO COM CROMO ORGÂNICO.....	28
2.6 REFERÊNCIAS BIBLIOGRÁFICAS.....	31
3. HIPÓTESES CIENTÍFICAS.....	40
4. OBJETIVOS.....	41
4.1 GERAL.....	41
4.2 ESPECÍFICOS	41
5. MATERIAL E MÉTODOS.....	42
5.1 ENSAIO 1 – AMBIENTE TERMONEUTRO	42
5.2 ENSAIO 2- ESTRESSE CALÓRICO.....	43
5.3 ANÁLISES LABORATORIAIS.....	43
5.4 OVUM PICK UP (OPU), AVALIAÇÕES FOLICULARES E OOCITÁRIAS	44
5.5 BIÓPSIA HEPÁTICA.....	45
5.6 ANÁLISE DA EXPRESSÃO GÊNICA.....	45
5.7 ANÁLISE ESTATÍSTICA.....	47
6. CAPÍTULO 1.....	49
7. CAPÍTULO 2.....	69
8. CONCLUSÕES.....	82
9. REFERÊNCIAS BIBLIOGRÁFICAS.....	83
10. ANEXO.....	94

LISTA DE TABELAS

CAPÍTULO 1

Table 1. Effect of chromium supplementation on dry matter intake, milk yield, milk composition, and metabolic parameters of Girolando cows in trial 1 (thermoneutral environment).

Table 2. Effect of chromium supplementation on reproductive parameters of Girolando cows in trial 1 (thermoneutral environment).

Table 3. Dry matter intake, milk yield, milk composition, and metabolic parameters of Girolando cows in trial 2 (heat stress).

Table 4. Reproductive parameters of Girolando cows in trial 2 (heat stress).

LISTA DE FIGURAS

CAPÍTULO 1

Figure 1. The experimental design of two sequential trials with lactating Girolando cows supplemented with chromium. OPU, ovum pick up; DFD, diameter of the dominant follicle; Cr+, diet with chromium; Cr-, control diet; HS, group under heat stress conditions in a climatic chamber; TN, group in a thermoneutral environment; PF, pair-fed group in a thermoneutral environment.

Figure 2. Variation of the metabolic parameters of lactating Girolando cows. A: plasma glucose concentration (mg/dL) of lactating Girolando cows supplemented with chromium under heat stress conditions. B: Insulin: glucose ratio of lactating Girolando cows supplemented with chromium under heat stress conditions. Cr+, diet with chromium; Cr-, control diet; HS, group under heat stress conditions in a climatic chamber; TN, group in a thermoneutral environment; PF, pair-fed group in a thermoneutral environment. Asterisks (*) indicate a significant difference ($P < 0.05$).

Figure 3. Variation in the vaginal temperature according to times of day of lactating Girolando cows supplemented with chromium under heat stress conditions. Cr+, diet with chromium; Cr-, control diet; HS, group under heat stress conditions in a climatic chamber; TN, group in a thermoneutral environment; PF, pair-fed group in a thermoneutral environment. (X) in axis show when heat stress began and ended.

CAPÍTULO 2

Figure 1. Relative expression levels of GLUT2, PEPCK, G6Pase, rGH, and IGF1 in the hepatic tissues of lactating Girolando cows under heat stress conditions in a climatic chamber. (**) downregulated ($P < 0.05$). GLUT2: glucose transporter 2; PEPCK: phosphoenolpyruvate carboxykinase; G6Pase: glucose 6-phosphatase; rGH: growth hormone receptor; IGF1: insulin-like growth factor 1.

Figure 2. Relative expression levels of GLUT2, PEPCK, G6Pase, rGH, and IGF1 in the hepatic tissues of lactating Girolando cows fed, A: A control diet. B: A diet supplemented with organic chromium (0.50 mg Cr kg⁻¹ dry matter). (*) upregulated; (**) downregulated ($P < 0.05$). GLUT2: glucose transporter 2; PEPCK: phosphoenolpyruvate carboxykinase; G6Pase: glucose 6-phosphatase; rGH: growth hormone receptor; IGF1: insulin-like growth factor 1. TN: thermoneutral environment with feeding *ad libitum*; HS: heat stress conditions in a climatic chamber with feeding *ad libitum*; PF: pair-fed group in a thermoneutral environment.

LISTA DE SIGLAS E ABREVIATURAS

%	Porcentagem; <i>Percentage</i>
°C	Grau Celsius; <i>Degree Celsius</i>
g	Aceleração da gravidade; <i>Gravity acceleration</i>
µU	Microunidades; <i>Micro units</i>
AGNE	Ácido graxo não esterificado
ANOVA	Análise de variância; <i>Variance analysis</i>
BAX	<i>BCL2 associated X protein</i>
BCL2	<i>B-cell CLL/lymphoma 2</i>
BEN	Balanço energético negativo
BHBA	Beta hidroxibutirato
bST	Somatotropina recombinante bovina
Ca	Cálcio; <i>Calcium</i>
Capes	Coordenação de Aperfeiçoamento de Pessoal de Nível Superior
CC	Câmara climática; <i>Climatic chamber</i>
cDNA	DNA complementar; <i>Complementary DNA</i>
cm	Centímetro; <i>Centimeter</i>
CMS	Consumo de matéria seca
COC	Complexo <i>cumulus</i> oócito; <i>Cumulus oocyte complex</i>
CP	<i>Crude Protein</i>
Cr	Cromo; <i>Chromium</i>
DF	<i>Dominant follicle</i>
DFD	Diâmetro do folículo dominante; <i>Diameter of dominant follicle</i>
DM	<i>Dry matter</i>
DMI	<i>Dry matter intake</i>
DNA	Ácido desoxirribonucleico; <i>Deoxyribonucleic acid</i>
DNase	Desoxirribonuclease; <i>Deoxyribonuclease</i>
dUTP	Desoxiuridina trifosfato; <i>Deoxyuridine triphosphate</i>
EC	<i>Environmental condition</i>
ECM	<i>Energy corrected milk</i>
EDTA	Ácido etilenodiamino tetra-acético; <i>Ethylenediamine tetraacetic acid</i>
Embrapa	Empresa Brasileira de Pesquisa Agropecuária
EUA	Estados Unidos da América
Fig	<i>Figure</i>
G	Gauge
G6Pase	Glicose-6-fosfatase; <i>Glucose-6-phosphatase</i>
GAPDH	Gliceraldeído-3-fosfato desidrogenase; <i>Glyceraldehyde-3-phosphate dehydrogenase</i>
GH	<i>Growth hormone</i>
GLUT	Transportador de glicose; <i>Glucose transporter</i>
GLUT2	Transportador de glicose 2; <i>Glucose transporter 2</i>
GTF	Fator de tolerância a glicose; <i>Glucose tolerance factor</i>
HS	<i>Heat stress</i>
HSF1	Fator de choque térmico 1
HSP	Proteína de choque térmico
HxZ	Holandês x Zebu
IDF	<i>International Dairy Federation</i>
IGF1	<i>Insulin growth factor 1</i>
IPCC	International Panel Climatic Change

ITU	Índice de temperatura e umidade
K	Potássio; <i>Potassium</i>
kg	Quilograma; <i>Kilogram</i>
L	Litro; <i>Liter</i>
LH	Hormônio luteinizante
LPS	Lipopolissacarideo
Mcal	Megacaloria; <i>Megacalorie</i>
mg	Miligrama; <i>Milligram</i>
mL	Mililitro; <i>Milliliter</i>
mm	Milímetro; <i>Millimeter</i>
mRNA	RNA mensageiro; <i>Messenger RNA</i>
MS	Matéria seca
MY	<i>Milk yield</i>
NRC	<i>Nutrient Requirements of Dairy Cattle</i>
ns	Não significativo
Obs	Observação
OPU	<i>Ovum pick up</i>
P	Fósforo; <i>Phosphorus</i>
PC	Piruvato carboxilase;
PCR	Reação em cadeia da polimerase; <i>Polymerase chain reaction</i>
PEPCK	Fosfoenolpiruvato carboxiquinase; <i>Phosphoenolpyruvate carboxykinase</i>
PF	<i>Pair-fed</i>
QR	<i>Relative quantification of differential expression</i>
rGH	Receptor de hormônio de crescimento; Growth hormone receptor
RIA	Radioimunoensaio; <i>Radioimmunoassay</i>
RNA	Ácido ribonucleico; <i>Ribonucleic acid</i>
RNase	Ribonuclease
rpm	Rotações por minuto; Revolutions per minute
SEM	<i>Standard error of the mean</i>
THI	<i>Temperature and humidity index</i>
TMR	<i>Total Mixed Ration</i>
TN	Termoneutro; <i>Thermoneutral</i>
TUNEL	Teste da marcação de extremidade terminal dUTP mediada por desoxinucleotidil transferase; <i>Terminal deoxynucleotidyl transferase-mediated dUTP nick and labeling</i>
UFF	Universidade Federal Fluminense
UFRRJ	Universidade Federal Rural do Rio de Janeiro
USA	<i>United States of America</i>
vs.	Versus
VT	<i>Vaginal temperature</i>
YWHAZ	Tirosina 3-monooxygenase /triptofano 5-monooxygenase proteína de ativação zeta ; <i>Tyrosine 3-monooxygenase/tryptophan 5-monooxygenase activation protein zeta</i>

1. INTRODUÇÃO

A carne e o leite bovinos estão entre os principais alimentos de origem animal do agronegócio brasileiro e entre os principais componentes da alimentação da população mundial. O consumo de produtos lácteos tem crescido, principalmente, em países em desenvolvimento (SIQUEIRA et al., 2012) e esses estão localizados nas regiões mais quentes do planeta. Entretanto, a produção de leite e de carne é fortemente influenciada pelas condições ambientais. Para expressar o máximo desempenho, os animais devem estar em uma zona de temperatura de conforto, na qual usem minimamente mecanismos de regulação da temperatura corpórea e, portanto, tenham gasto energético mínimo para esse fim.

Estações quentes e úmidas ou elevações atípicas da temperatura e umidade são as principais causas do estresse calórico na pecuária. Tais condições podem ser agravadas por uma mudança climática global. Portanto, o aquecimento climático poderá contribuir para acentuar ainda mais o efeito da temperatura na redução da produtividade de rebanhos bovinos (THORNTON et al., 2009; NARDONE et al., 2010), principalmente nas regiões tropicais e subtropicais, que já são afetadas pelo calor excessivo, e onde se localiza a maior parte do rebanho bovino. O Painel Intergovernamental sobre Mudanças Climáticas (*Intergovernmental Panel on Climate Change – IPCC*, 2014) indicou que as temperaturas globais subiriam entre 1,8 e 4 °C até o final do século XXI.

Para driblar os desafios impostos pelo clima tropical à produção de leite, a utilização do gado mestiço Europeu x Zebu é uma alternativa, uma vez que, assim, consegue-se aliar o potencial produtivo do gado europeu especializado com os fatores de resistência do gado zebu, resultando em animais com melhor desempenho em características econômicas importantes. A produção de leite a partir de vacas Girolando (Holandês x Gir) representa 80% do leite produzido no Brasil (SILVA et al., 2019).

O estresse calórico determina redução na ingestão de alimentos, o que interfere na produtividade de forma direta, mas há também mudanças no metabolismo energético as quais estão relacionados com variação na produtividade animal (RHOADS et al., 2009; BAUMGARD et al., 2011; RHOADS et al., 2011). O estresse calórico também impacta a fisiologia ovariana, alterando a dominância

34 folicular (BADINGA et al., 1993; WOLFENSON et al., 1995), fatores bioquímicos e
35 hormonais do fluido folicular (WISE et al., 1988; DE RENSIS; SCARAMUZZI, 2003;
36 SHEHAB-EL-DEEN et al., 2010), resultando em menor viabilidade do oócito, com
37 comprometimento da capacidade de fertilização e, havendo fertilização, em
38 desenvolvimento anormal dos embriões (ROTH; HANSEN, 2004; HANSEN, 2007;
39 HANSEN, 2009).

40 Várias estratégias para reduzir os efeitos negativos do estresse calórico
41 podem ser trabalhadas, dentre elas, o manejo nutricional. Além do aumento da
42 densidade energética da dieta, que já vem sendo discutido há algum tempo como
43 forma de compensar a redução no consumo, há outras alternativas como a
44 suplementação com monensina (BAUMGARD et al., 2011); uso de bST (OLIVEIRA
45 NETO et al., 2001); suplementação com K (WEST, 2002), entre outras.

46 A suplementação com cromo pode resultar no aumento da produtividade
47 através da melhoria do consumo de matéria seca, produção de leite, parâmetros
48 reprodutivos e funções imunológicas dos animais sob estresse calórico (AN-QIANG
49 et al., 2009; SOLTAN, 2010; BIN-JUMAH et al., 2020). A suplementação com cromo
50 pode também melhorar a tolerância térmica e a produtividade de animais
51 estressados pelo calor, melhorando o status antioxidant e potencializando a ação
52 da insulina (RHOADS et al., 2013; KESHRI et al., 2019). Considerando que as
53 condições ambientais afetam a produção de leite no território brasileiro, que é
54 essencialmente de clima tropical, onde as vacas sofrem condições de estresse
55 calórico com temperatura e umidade elevadas durante a maior parte do ano, é
56 importante aumentar o conhecimento sobre o uso de cromo na dieta de vacas em
57 condições de estresse calórico, especialmente vacas Girolando, para que o
58 desempenho possa ser mantido em ambientes tropicais mais rústicos e variáveis
59 (CANAZA-CAYO et al., 2014).

60 Diante da complexidade dos eventos que afetam a produtividade animal, o
61 presente estudo teve como objetivo avaliar a suplementação com cromo orgânico na
62 dieta de vacas Girolando em lactação sob estresse calórico em parâmetros
63 produtivos, reprodutivos e metabólicos.

64 **2. REVISÃO DE LITERATURA**

65

66 **2.1 ESTRESSE CALÓRICO**

67

68 A zona de conforto térmico, que é a faixa de temperatura ambiente na qual o
69 animal não demonstra qualquer sinal de desconforto térmico, de forma geral, situa-
70 se entre 5 °C e 25 °C (YOUSEF, 1985) para bovinos, podendo alcançar limite
71 superior de até 27 °C (FUQUAY, 1981; ARMSTRONG, 1994). Essa faixa é variável
72 de acordo com a raça e nível de produção. Porém, deve-se levar em consideração
73 também a umidade relativa do ar para determinar a zona de termoneutralidade.
74 Assim, o estresse calórico é resultado da combinação entre temperatura e umidade,
75 sendo que tal combinação pode ser previda pelo índice de temperatura e umidade
76 (ITU), o qual representa as condições de conforto térmico do ambiente avaliado
77 (THOM, 1959).

78 Um ambiente é considerado confortável quando o animal está em equilíbrio
79 térmico com ele, ou seja, o calor produzido pelo metabolismo animal (termogênese)
80 é perdido para o meio ambiente (termólise) sem prejuízo apreciável ao seu
81 rendimento. Quando isso não ocorre, caracteriza-se estresse por calor, ou calórico,
82 e o uso de artifícios capazes de manter o equilíbrio térmico entre o animal e o
83 ambiente faz-se necessário (PIRES; CAMPOS, 2003). Quando a temperatura
84 ambiente e outras condições ambientais criam uma situação abaixo ou acima dos
85 respectivos limiares, a eficiência é comprometida pois os nutrientes são desviados
86 para manter a eutermia, pois a temperatura corporal segura se torna a prioridade em
87 detrimento da síntese do produto (leite, carne, etc.) (BAUMGARD et al., 2015).

88 A perda de calor para o ambiente se dá inicialmente por radiação, seguida da
89 convecção e depois por condução. Quando os meios primários não evaporativos de
90 refriamento se tornam menos eficazes com o aumento da temperatura ambiente, o
91 animal torna-se cada vez mais dependente do refriamento evaporativo na forma de
92 suor e ofego. O aumento da umidade relativa compromete o refriamento
93 evaporativo, de modo que, em ambientes quentes e úmidos, comuns no verão, a
94 vaca leiteira não consegue dissipar o calor corporal de forma suficiente para evitar o
95 aumento da temperatura corporal (WEST, 2003). Quando os mecanismos

96 fisiológicos de controle da temperatura não são eficientes o animal entra em estado
97 de hipertermia (BERMAN, 2005).

98 Os mecanismos para regulação da temperatura corporal, os quais
99 despendem energia, resultam em redução da produção de leite e baixas taxas de
100 concepção, ocasionando perdas econômicas significativas para o produtor, as quais
101 podem ser reduzidas mediante a implementação de práticas nutricionais e
102 modificações ambientais (PIRES, 2006).

103 Os distúrbios mais comumente observados em animais em estresse calórico
104 são a redução de consumo de alimentos e da taxa metabólica, aumento da
105 temperatura retal e da frequência respiratória, aumento do consumo de água,
106 alterações das concentrações hormonais, aumento da sudorese e alterações das
107 necessidades de manutenção (PIRES, 2006). A temperatura retal é um bom indicador
108 de estresse calórico e pode ser utilizada na previsão do prejuízo causado na
109 produção de vacas leiteiras (SPIERS et al., 2004).

110 Vacas gestantes e lactantes sob estresse calórico são mais suscetíveis a
111 distúrbios metabólicos devido às altas demandas nutricionais por conta do
112 crescimento fetal e lactação (DE RENSIS et al., 2015) e, por isso, há aumento nas
113 exigências de manutenção para dissipação de calor. O estresse calórico no final da
114 gestação também já apontou para redução significativa na produção de leite na
115 lactação subsequente (TAO et al., 2011; TAO et al., 2012). No estudo de Tao e Dahl
116 (2013) vacas mantidas sem equipamentos de resfriamento evaporativo durante todo
117 o período seco no verão, comparadas com aquelas mantidas com equipamento de
118 resfriamento evaporativo, apresentaram redução de 4 a 5 kg/dia durante toda a
119 lactação subsequente, sugerindo que o estresse calórico durante o período seco
120 altera a função mamária por reduzir a disponibilidade de nutrientes para a glândula,
121 influenciando o seu desenvolvimento por reduzir a proliferação das células
122 mamárias, impactando na sua função na lactação subsequente.

123 Vacas de elevado potencial genético para produção de leite são mais
124 sensíveis aos efeitos do estresse calórico do que aquelas de menor produção, pois
125 em condições climáticas estressantes têm o seu consumo alimentar reduzido, não
126 sendo atendidas suas necessidades nutricionais, implicando, consequentemente,
127 em queda na produção. Dessa forma, a zona de neutralidade térmica muda para
128 temperaturas menores com a alta produção de leite, elevado consumo de alimentos

129 e aumento da produção de calor metabólico (COPPOCK et al., 1982; SILVA; SOUZA
130 JUNIOR, 2013).

131 O fato de haver uma variação genética na termotolerância entre bovinos de
132 raças diferentes permite estabelecer cruzamentos para se produzir animais mais
133 tolerantes ao calor. Cruzamentos de animais taurinos com zebuíños são comuns,
134 gerando animais cruzados mais termotolerantes, porém menos produtivos. Bovinos
135 mestiços de cruzamentos da raça Holandês (*Bos taurus taurus*) com raças zebuínas,
136 principalmente a raça Gir (*Bos taurus indicus*), têm sido a principal fonte da
137 produção de leite nas regiões mais quentes do Brasil. Isso se deve a maior
138 tolerância ao calor desses animais devido à heterose e complementariedade
139 (VASCONCELLOS et al., 2003). Desses cruzamentos surgiu a raça sintética
140 Girolando, sendo estabelecido como animais puros os de composição genética $5/8$
141 Holandês e $3/8$ Gir, mas atualmente ainda abrange outras composições, de $1/4$
142 Holandês a $7/8$ Holandês.

143 Em bovinos de raças de origem europeia de alta produção, valores de ITU
144 acima de 72 são indicadores de estresse calórico e valores acima de 89 indicam
145 estresse calórico severo (ARMSTRONG, 1994). Em animais mestiços Holandês x
146 Zebu (HxZ), estima-se que ITU acima de 79 indique estresse calórico, valor superior
147 ao de gado de origem europeia devido à maior termotolerância do animal zebuíno, o
148 qual contribui na sua composição genética. Com base na temperatura retal, foram
149 estimados valores críticos superiores de ITU iguais a 80, 77 e 75 para os grupos
150 genéticos $1/2$, $3/4$ e $7/8$ HxZ, respectivamente. Considerando-se a frequência
151 respiratória, os valores críticos superiores de ITU estimados para os referidos grupos
152 genéticos foram 79, 77 e 76, respectivamente. Com base na temperatura de
153 superfície, estimou-se valor crítico superior de ITU igual a 79 para os três grupos
154 genéticos estudados. Nesse estudo as vacas do grupo genético $1/2$ HxZ
155 demonstraram maior tolerância ao calor que as $7/8$ HxZ, enquanto as $3/4$ HxZ
156 situaram-se em posição intermediária (AZEVEDO et al., 2005).

157 A seleção genética para tolerância ao calor pode ser possível, mas a seleção
158 contínua para maior desempenho em ambientes em que não haja o desafio para
159 tolerância ao calor resultará em maior suscetibilidade ao estresse calórico. Manter o
160 desempenho da vaca em condições climáticas quentes e úmidas no futuro,
161 provavelmente exigirá que o melhoramento genético inclua a seleção para tolerância

162 ao calor ou a identificação de características genéticas que aumentem a tolerância
163 ao calor, incluindo trabalhos de seleção genômica (WEST, 2003; GARNER et al.,
164 2016).

165 A diferença entre as raças é resultado de uma melhor regulação sistêmica da
166 temperatura corpórea pelos zebuíños (PAULA-LOPES et al., 2013), mas também
167 deve envolver características celulares, como mostrado em experimentos em
168 condições de cultivo em que oócitos e/ou embriões obtidos de animais zebuínos são
169 mais tolerantes sob condições de choque térmico induzido *in vitro* quando
170 comparados com aqueles obtidos de taurinos (RIVERA; HANSEN, 2001; SILVA et
171 al., 2013).

172

173 2.2 IMPACTOS DO ESTRESSE CALÓRICO NO CONSUMO DE MATÉRIA SECA, 174 PRODUÇÃO E COMPOSIÇÃO DO LEITE

175

176 Os efeitos do estresse calórico em vacas produtoras de leite têm sido
177 demonstrados pela alteração no desempenho produtivo. St-Pierre et al. (2003)
178 estudaram o prejuízo econômico causado pelo estresse calórico na produção animal
179 nos Estados Unidos da América (EUA) e relataram a perda de até 2072 kg de leite
180 por ano por vaca, totalizando o prejuízo de 879 milhões de dólares ao ano.

181 A queda na produção de leite pode variar de 10% a 35% quando o ITU
182 ultrapassa o limite de tolerância e é explicada, em parte, pela redução do consumo
183 de matéria seca (CMS) pelos animais. O consumo reduzido durante o estresse
184 calórico é uma resposta altamente conservada entre as espécies e representa,
185 presumivelmente, uma tentativa de diminuir a produção de calor metabólico
186 (BAUMGARD; RHOADS, 2012).

187 Vacas lactantes tornam-se estressadas pelo calor quando as condições
188 excedem o ITU de 72 (ARMSTRONG, 1994). No entanto, experimentos indicam que
189 a produção de leite começa a diminuir em um ITU de 68 (WHEELOCK et al., 2010).
190 West (2003) cita uma redução no CMS em 850 gramas a cada 1 °C de aumento da
191 temperatura acima da zona de termoneutralidade das vacas. No estudo de Bouraoui
192 et al. (2002), comparando vacas mantidas no ITU de 68 (primavera) com vacas sob
193 ITU de 78 (verão), a produção de leite diminuiu 21% e o CMS 9,6% no verão. Estes

194 demonstraram que a produção de leite diminuiu 0,41 kg por vaca por dia para cada
195 ponto de aumento no valor de ITU acima de 69.

196 A aquisição de nutrientes e energia potencialmente absorvíveis pelo animal
197 em estresse calórico é afetada negativamente pela redução no CMS e,
198 provavelmente, pela redução do fluxo sanguíneo e absorção de nutrientes no trato
199 digestivo. Por outro lado, é afetado positivamente pela digestibilidade levemente
200 aumentada devido ao maior tempo de retenção no intestino. Entretanto, as
201 influências negativas da redução da ingestão e absorção de nutrientes superam o
202 pequeno aumento na digestibilidade, resultando na menor disponibilidade de
203 nutrientes totais para o animal em estresse calórico (BEEDE; COLLIER, 1986).

204 Nos estudos que avaliaram a produção de leite de vacas submetidas a
205 estresse calórico e vacas alimentadas de forma restrita (ambiente termoneutro
206 porém com a alimentação restrita de acordo com o grupo estressado pelo calor-
207 grupo *pair-fed*), observou-se que a redução no consumo foi responsável por cerca
208 de 35 a 50% da redução observada na produção de leite (RHOADS et al., 2009;
209 WHEELOCK et al., 2010).

210 Os mecanismos que contribuem para as perdas na produção de leite em
211 vacas estressadas pelo calor envolvem vários sistemas, incluindo modificações
212 hormonais que implicam em alteração de atividades anabólicas e catabólicas,
213 alterações nas células epiteliais da glândula mamária e redução da disponibilidade
214 de precursores da síntese de leite. O estresse calórico aumenta a captação de
215 glicose pelos tecidos periféricos, com prejuízo para a captação da glândula mamária,
216 limitando assim a disponibilidade de glicose para a síntese de lactose na glândula
217 mamária (WHEELOCK et al., 2010; TAO et al., 2018).

218 Quando comparadas as produções de vacas Jersey no sul da África em duas
219 regiões: ITU 72-83 e ITU 75-87, as vacas mantidas na região com maior ITU
220 apresentaram menor produção média de leite até os 21 dias pós-parto e menores
221 porcentagem de proteína e gordura no leite. O ITU entre 72 e 83 também caracteriza
222 estresse calórico para vacas *Bos taurus taurus*, indicando que os efeitos na
223 produção e composição de leite se agravam com o aumento da intensidade de
224 estresse calórico (KEKANA et al., 2018).

225 No estudo de Baumgard et al. (2011), as vacas submetidas ao estresse
226 calórico apresentaram redução da porcentagem de lactose no leite por conta da

disponibilidade limitada de glicose na glândula mamária. Rhoads et al. (2009) identificaram redução na proteína do leite das vacas sob estresse calórico em comparação ao grupo *pair-fed*, o que pode ser explicado pela maior metabolização de proteína para suprir o déficit energético por meio de gliconeogênese. Cowley et al. (2015) discutem que a redução na concentração de proteína no leite de vacas estressadas pelo calor é resultado da regulação negativa específica da atividade sintética de proteína mamária gerada pelo declínio na síntese de proteína microbiana ruminal e pelo aumento na utilização de aminoácidos para a gliconeogênese.

Com relação à porcentagem de gordura no leite, os resultados dos estudos são contraditórios. Bouraoui et al. (2002) e Bernabucci et al. (2015) observaram redução no percentual de gordura do leite durante o verão. Já Hammami et al. (2015) não observaram diferença nessa característica, enquanto Smith et al. (2013) e Garner et al. (2016) observaram aumento no percentual de gordura no leite de vacas sob estresse calórico. Uma possível explicação para a variação entre os resultados de teores de gordura observados no leite de vacas em situações de estresse calórico seria a variação no consumo de forrageiras pelos animais. O menor consumo de volumosos provoca uma alteração na relação acetato/propionato, resultado da inadequada ingestão de fibras na dieta, insuficiente para função normal do rúmen. Assim, nos estudos em que os animais são alimentados com *total mixed ration* (TMR), a depressão na porcentagem de gordura no leite não ocorre, pois há ingestão da quantidade de fibra pretendida, adequada para a fermentação ruminal (BOURAOUUI et al., 2002).

O estágio da lactação é um fator importante para a severidade das perdas decorrentes do estresse calórico. Os animais no estágio médio da lactação são, na maioria das vezes, mais sensíveis ao calor em comparação com os em estágio inicial ou final de lactação. As condições nutricionais e metabólicas das vacas leiteiras nos diferentes estágios da lactação podem explicar a maior sensibilidade de vacas leiteiras no estágio médio. A produção de leite das vacas em início de lactação é fortemente sustentada pela mobilização de tecidos de reserva com um menor consumo de ração, enquanto que a produção de leite das vacas no estágio médio é sustentada essencialmente pela ingestão de alimentos, a qual atinge um pico neste estágio. Como a utilização metabólica dos tecidos de reserva tem maior

260 eficiência em comparação com a utilização metabólica dos alimentos, as vacas em
261 início de lactação produzem menos calor metabólico por kg de leite produzido
262 (BERNABUCCI et al., 2010).

263

264 2.3 IMPACTOS DO ESTRESSE CALÓRICO NA REPRODUÇÃO

265

266 Uma das principais implicações do estresse calórico na cadeia produtiva do
267 leite e carne bovina é a redução na fertilidade, resultando em baixas taxas de
268 concepção e, consequentemente, em mais vacas vazias por mais tempo (DE
269 RENSIS; SCARAMUZZI, 2003). A cada falha na concepção, são 21 dias a mais no
270 intervalo de partos, reduzindo a produção de leite e a quantidade de crias durante a
271 vida útil do animal, ou seja, diminuindo a sua produtividade.

272 O estresse calórico influencia na fisiologia ovariana, aumentando a incidência
273 de anestro e ovulações silenciosas (GWAZDAUSKAS et al., 1981), bem como
274 acarreta inibição da dominância folicular (BADINGA et al., 1993; WOLFENSON et
275 al., 1995). Também é observada redução da atividade de monta e duração do estro
276 (THATCHER; COLLIER, 1986). O estresse calórico reduz o grau de dominância do
277 folículo selecionado e isso pode levar a uma redução da capacidade esteroidogênica
278 das células da teca e da granulosa, diminuindo as concentrações de estradiol no
279 sangue (DE RENSIS; SCARAMUZZI, 2003) e reduzindo a concentração plasmática
280 do hormônio luteinizante (LH) (WISE et al., 1988). As concentrações plasmáticas de
281 progesterona podem estar aumentadas ou diminuídas, dependendo se o estresse
282 calórico é agudo ou crônico e do estado metabólico do animal (DE RENSIS;
283 SCARAMUZZI, 2003).

284 Alterações metabólicas no fluido folicular do folículo dominante relacionadas
285 ao estresse calórico podem comprometer a competência do óvulo, prejudicando a
286 capacidade de desenvolvimento do óvulo e a qualidade das células da granulosa. A
287 qualidade do óvulo está intimamente relacionada com o ambiente em que ele se
288 encontra, causando impacto negativo significativo na reprodução das vacas
289 expostas ao estresse calórico no período pós-parto. Durante o estresse calórico, são
290 observadas menores concentrações de glicose, IGF1 e colesterol (SHEHAB-EL-
291 DEEN et al., 2009; SHEHAB-EL-DEEN et al., 2010), e maiores concentrações de

uréia e ácido graxo não-esterificado (AGNE) no fluido folicular (SHEHAB-EL-DEEN et al., 2010).

Alterações induzidas pelo calor em pequenos folículos antrais podem ser expressas posteriormente com o comprometimento da maturação e da capacidade de desenvolvimento do oócito ovulatório (ROTH, 2017). Os folículos das vacas sob estresse calórico tendem a resultar na produção de oócitos com menor capacidade de fertilização e, havendo fertilização, em desenvolvimento anormal dos embriões (HANSEN, 2007).

Ocorre uma mudança no perfil de expressão de alguns genes quando os oócitos são submetidos ao estresse calórico, *in vivo* ou *in vitro*. Em resposta ao estresse calórico, ocorrem anomalias na função celular, que incluem inibição geral da síntese de proteínas, defeitos na estrutura e função das proteínas, alterações morfológicas devido a rearranjos do citoesqueleto, alterações na dinâmica da fluidez da membrana celular e redução na proliferação celular (SONNA et al., 2002). Essas anomalias determinam em uma rápida indução de proteção celular com aumento de transcrição dos genes de proteínas de choque térmico (HSPs) por intermédio do fator de choque térmico 1 (HSF1) no intuito de proteger a célula (COLLIER et al., 2008; SILVA et al., 2013). A ativação deste sistema parece ser iniciada quando a temperatura de superfície da pele excede 35 °C e os mecanismos para perda de calor por evaporação são ativados (COLLIER et al., 2008).

A apoptose, morte programada, é um mecanismo de controle de qualidade celular que pode ser estimulado pelo estresse calórico, eliminando as células danificadas, não funcionais ou anormais. Um dos processos que pode estar envolvido na redução da competência oocitária em situações de estresse calórico é a apoptose (ROTH; HANSEN, 2004). A proteína *B-cell CLL/lymphoma 2* (BCL2) previne a apoptose mantendo a sobrevivência celular, já a *BCL2 associated X protein* (BAX) é pró-apoptose (YANG et al., 2002). Dessa forma, o balanço entre a expressão desses genes define a direção do processo de morte celular programada. Ao ser observado o aumento da expressão de BAX, acompanhado do aumento de BCL2, sugere-se que esteja ocorrendo neutralização do mecanismo molecular de apoptose (BRAGANÇA et al., 2018).

O estresse calórico (também chamado de choque térmico nas condições *in vitro*) durante a maturação dos oócitos e no desenvolvimento embrionário inicial

325 resulta em redução na viabilidade do desenvolvimento embrionário (EDWARDS;
326 HANSEN, 1997; RIVERA; HANSEN, 2001). Foi demonstrado em condições *in vitro*
327 que o estresse calórico (41 °C por 12-14 h ou 43 °C por 45 a 60 min) durante a
328 maturação dos óócitos e no desenvolvimento embrionário inicial resulta em redução
329 na viabilidade do desenvolvimento embrionário, com menor número de blastocistos
330 e blastocistos expandidos (EDWARDS; HANSEN, 1997; RIVERA; HANSEN, 2001;
331 SILVA et al., 2013). Em estudo *in vivo*, o estresse calórico aumentou a incidência de
332 embriões retardados (\leq 16 células) e o número de embriões classificados como de
333 qualidade razoável a ruim (PUTNEY et al., 1989).

334 A resistência ao calor diminui entre a fase de ócito a fase embrionária de
335 duas células nos bovinos (EDWARD; HANSEN, 1997), o que pode ser devido à
336 perda das células do *cumulus* (que exercem proteção) na fecundação. Ócitos e
337 embriões nos estágios iniciais de desenvolvimento (entre zero e três dias pós-
338 fecundação) são as estruturas mais susceptíveis às elevações de temperatura (JU,
339 2005). A maior taxa de prenhez observada em vacas receptoras (embriões oriundos
340 de novilhas superovuladas e mantidas em sombra após inseminadas) comparadas
341 com vacas inseminadas indica que o embrião bovino é sensível ao estresse calórico
342 sofrido pela mãe durante os primeiros sete dias após o estro. A transferência de
343 embriões contornou esse período de sensibilidade embrionária e pode ser uma
344 alternativa à inseminação artificial para contornar parcialmente a infertilidade
345 induzida por estresse calórico em bovinos (PUTNEY et al., 1989).

346

347 2.4 IMPACTOS DO ESTRESSE CALÓRICO NO METABOLISMO

348

349 Vacas no período inicial de lactação entram em um estado fisiológico de
350 déficit energético uma vez que há aumento substancial do seu requerimento para
351 manutenção da produção de leite. Porém, a ausência do aumento do CMS no
352 mesmo patamar cria um estado de balanço energético negativo (BEN). Nessas
353 situações, ocorrem alterações no metabolismo de carboidratos e lipídios que
354 garantem a partição de nutrientes derivados de dieta para a glândula mamária, e
355 muitas dessas alterações são mediadas pela somatotropina endógena (GH), que
356 naturalmente aumenta durante os períodos de BEN (BAUMGARD; RHOADS, 2013;
357 BAUMGARD et al., 2015).

358 Uma resposta clássica é a redução na insulina circulante associada a uma
359 redução na sensibilidade sistêmica à insulina, para que haja redução da captação de
360 glicose pelos tecidos sistêmicos, priorizando a utilização de glicose pela glândula
361 mamária. A redução na ação da insulina ativa a lipólise adiposa, levando à
362 mobilização de AGNE (BAUMAN; CURRIE, 1980), o qual é uma fonte significativa
363 de energia bem como de precursores para a síntese da gordura do leite.

364 Porém, quando tratamos de vacas sob estresse calórico, apesar do fato de
365 apresentarem reduções acentuadas no consumo de alimentos, elas não mobilizam o
366 tecido adiposo (RHOADS et al., 2009; WHEELOCK et al., 2010). Já o hormônio
367 insulina apresenta maior concentração plasmática nos animais em estresse calórico,
368 mesmo havendo baixa concentração de glicose (WHEELOCK et al., 2010;
369 BAUMGARD et al., 2011). Portanto, parece ocorrer uma mudança no metabolismo
370 pós-absortivo apesar de estarem em um estado energético negativo similar às vacas
371 em início de lactação (RHOADS et al., 2013).

372 Em resposta ao aumento da temperatura interna, os animais sob estresse
373 calórico apresentam aumento da vasodilatação periférica, resultando na redução no
374 fluxo sanguíneo nos órgãos internos. Essa hipóxia na mucosa intestinal reduz a
375 seletividade das células epiteliais e provocam uma inflamação com liberação de
376 lipopolissacarideos de membrana (LPS), os quais agem sobre as células β -
377 pancreáticas, tornando-as mais sensíveis à presença da glicose, aumentando a
378 liberação de insulina e, consequentemente, reduzindo a mobilização de lipídios
379 (WALDRON et al., 2006; CERF-BENSSUSSAN; GABORIAU-ROUTHIAU, 2010;
380 PEARCE et al., 2013), uma vez que a insulina é um hormônio antilipolítico. Dessa
381 forma, a ausência da mobilização do tecido adiposo em vacas sob estresse calórico
382 é, em parte, explicada pelo aumento da circulação de insulina (O'BRIEN et al., 2010;
383 WHEELOCK et al., 2010).

384 O aumento da ação da insulina também pode explicar o aumento nas taxas
385 de utilização de glicose (WHEELOCK et al., 2010), uma estratégia para minimizar a
386 produção de calor metabólico (BAUMGARD; RHOADS, 2013). Observa-se que
387 vacas sob estresse calórico apresentam maior metabolismo periférico da glicose, ao
388 contrário do que ocorre em vacas em início de lactação e em BEN, quando a glicose
389 é priorizada para a glândula mamária. Essa alteração metabólica sinaliza uma
390 estratégia de maior dissipação de calor nos tecidos periféricos (RHOADS et al.,

391 2009). Essa perda de calor por evaporação é regulada por fatores ambientais, como
392 velocidade do ar, temperatura ambiente e umidade relativa do ar, bem como por
393 fatores do animal, como densidade e função das glândulas sudoríparas,
394 características do pelame e fluxo sanguíneo na epiderme.

395 O aumento da utilização de glicose extramamária reduz o suprimento da
396 mesma para a glândula mamária. Assim, a glândula mamária pode não receber
397 quantidades adequadas de glicose, reduzindo a produção de lactose mamária e,
398 consequentemente, a produção de leite, visto que a lactose é o principal
399 osmorregulador que determina o volume total do leite. Este pode ser um mecanismo
400 primário responsável por reduções adicionais na produção de leite além da porção
401 explicada pela diminuição do consumo de ração (BAUMGARD et al., 2015).

402 Durante o estresse calórico, a mudança do metabolismo de glicose não é
403 restrita aos tecidos periféricos (músculo esquelético e tecido adiposo), ela envolve o
404 fígado (BERNABUCCI et al., 2010; BAUMGARD et al., 2011), local primário de
405 produção de glicose em ruminantes (COLLIER et al., 2008). Tais mudanças afetam
406 diretamente a capacidade do fígado de coordenar o fluxo de nutrientes para o
407 organismo, alterando vias metabólicas fundamentais, como a gliconeogênese
408 (RHOADS et al., 2011).

409 Vacas sob estresse calórico apresentam menores concentrações plasmáticas
410 de GH. Como o GH estimula a mobilização de lipídios e inibe a ação da insulina, sua
411 baixa concentração favorece o aumento de insulina e a redução de AGNE
412 (RHOADS et al., 2010). Desta forma, limita a oferta energética e iniciam os
413 processos para fornecer glicose para o organismo, como glicogenólise e
414 gliconeogênese (RHOADS et al., 2011).

415 O IGF1 produzido no fígado, sob estímulo do GH, é importante para a síntese
416 láctea em gado de leite. Investigando se a resposta hepática do GH é alterada com
417 a temperatura ambiente, Rhoads et al. (2010) avaliaram a expressão gênica de
418 receptores de GH em condição de estresse por calor e observaram que,
419 independente da redução do consumo de alimento, ocorre diminuição da
420 abundância do receptor de GH (rGH). A abundância de mRNA de IGF1 foi menor no
421 estresse calórico e em animais subalimentados, desta forma, o GH hepático tem
422 responsividade reduzida (em termos da expressão do gene IGF1) e parece ter
423 envolvidos mecanismos associados a redução no consumo de alimentos. A redução

424 na abundância de receptores hepáticos de GH pode servir para alterar outros
425 processos hepáticos dependentes de GH, como a regulação da gliconeogênese
426 (COLLIER et al., 2008; RHOADS et al., 2011).

427 Examinando a expressão hepática de genes chave para a gliconeogênese,
428 constatou-se que a restrição alimentar em condições termoneutras estimularam a
429 expressão de fosfoenolpiruvato carboxiquinase (PEPCK) e piruvato carboxilase
430 (PC). Já em estresse calórico, houve aumento da PC, mas a PEPCK permaneceu
431 inalterada (WHEELOCK et al., 2006). No estudo de Rhoads et al. (2011) também foi
432 observada mudança no perfil de enzimas hepáticas gliconeogênicas com aparente
433 dependência do plano nutricional. A abundância de PEPCK aumentou durante a
434 restrição alimentar, mas não foi afetada pelo estresse calórico ou administração de
435 somatotropina bovina recombinante (bST). Já a PC teve a expressão aumentada
436 durante a restrição alimentar e durante o estresse calórico, porém diminuiu com a
437 administração de bST. Já a expressão de IGF1 aumentou após a administração de
438 bST, tanto em estresse calórico quanto em alimentação restrita, indicando que o
439 fígado é capaz de responder ao GH. Portanto, a falta de um efeito positivo do bST
440 na expressão dos genes gliconeogênicos é decorrente de outros fatores, sendo
441 possível que o BEN associado ao estresse calórico e subnutrição pode ter causado
442 regulação diferencial nas vias de sinalização do GH, resultando em atividade
443 gliconeogênica GH-dependente alterada.

444

445 2.5 SUPLEMENTAÇÃO COM CROMO ORGÂNICO

446

447 O cromo (Cr) em seu estado trivalente (Cr^{3+}) é o mais estável, sendo a forma
448 mais comum presente nos alimentos, já o estado hexavalente (Cr^{6+}) apresenta a
449 melhor taxa de absorção, porém é altamente tóxico. As fontes orgânicas possuem
450 melhor biodisponibilidade e absorção como o cromo-L-metionina, complexo de
451 cromo com ácido nicotínico, picolinato de cromo, e levedura de cromo. A fonte
452 inorgânica mais comum é o cloreto de cromo, apresentando menor absorção e
453 menor atividade biológica, sendo utilizado basicamente marcador em estudos de
454 digestibilidade. A forma biologicamente ativa do Cr é um composto chamado fator de
455 tolerância à glicose (GTF), sendo constituído por um átomo de Cr^{3+} , ácido nicotínico
456 e aminoácidos, possivelmente glicina, cisteína e ácido glutâmico. O átomo de Cr^{3+} é

457 o núcleo do GTF, o que o torna ativo (OLIVEIRA; SOARES FILHO, 2005; CONDÉ et
458 al., 2014).

459 A concentração de cromo na maioria dos alimentos destinados para
460 ruminantes é baixa. As concentrações médias de Cr nos grãos de cereais não
461 processados são inferiores a 0,05 mg/kg de MS, já as forragens colhidas possuem
462 maiores concentrações, com médias de Cr variando de 0,155 mg/kg para feno de
463 capim a 0,522 mg/ g para feno de alfafa (SPEARS et al., 2017).

464 O cromo participa da homeostase glicêmica pela regulação da ação do
465 hormônio insulina. Ele atua como um cofator, melhorando a eficiência da insulina,
466 mais especificamente, com o estímulo da captação de glicose pelas células de
467 tecidos-alvo, porém não constitui um substituto do hormônio. Assim, quando em
468 presença de cromo em forma fisiologicamente ativa, as concentrações de insulina
469 necessárias ao metabolismo são menores (CONDÉ et al., 2014).

470 O aumento da concentração plasmática de glicose ocasiona a liberação
471 rápida de insulina e um movimento de cromo do plasma para as células
472 dependentes de insulina. A insulina liga-se a subunidade α externa do receptor de
473 insulina transmembrana na célula, causando uma mudança de conformação,
474 ativando a função da tirosina quinase do receptor. Esta alteração no receptor de
475 insulina desencadeia uma série de reações de fosforilação em cascata para que
476 ocorra a translocação dos transportadores de glicose (GLUTs) para a membrana
477 plasmática. O aumento da concentração sérica de insulina provoca outra situação
478 concomitante a mobilização do cromo mediada pela transferrina, que é a
479 mobilização de receptores de transferrina a partir de vesículas intracelulares para se
480 a membrana. Assim, a transferrina saturada com cromo liga-se a seus respectivos
481 receptores e o complexo formado é endocitado. O pH ácido do citoplasma promove
482 a digestão do complexo Cr-transferrina e ocorre a liberação do cromo. Quatro íons
483 de Cr^{3+} unem-se à apocromodulina (sem Cr^{3+}) formando a cromodulina, a qual é
484 uma forma ativa. Então a cromodulina liga-se ao sítio ativo no receptor insulínico,
485 completando a ativação do mesmo e amplificando o sinal da insulina (VINCENT,
486 2000; GOMES et al., 2005; PECHOVA; PAVLATA, 2007).

487 A exigência nutricional de cromo aumenta durante períodos de estresse. A
488 deficiência experimental de cromo resulta no aparecimento dos seguintes sintomas:
489 hiperglicemia durante o jejum, alteração na tolerância à glicose, concentrações

490 elevadas de insulina circulante, glicosúria, elevação do colesterol e triglicerídeos
491 plasmáticos, decréscimo na capacidade da insulina se ligar à célula e decréscimo no
492 número de receptores da insulina (CONDÉ et al., 2014). Uma vez que o uso de
493 glicose predomina durante o estresse calórico, a suplementação com cromo pode
494 melhorar a tolerância térmica e a produtividade de animais estressados pelo calor,
495 melhorando o status antioxidante e potencializando a ação da insulina (RHOADS et
496 al., 2013; KESHRI et al., 2019). A suplementação com cromo pode resultar no
497 aumento da produtividade através da melhoria da ingestão de ração, taxa de
498 crescimento, qualidade da carcaça, parâmetros reprodutivos e funções imunológicas
499 dos animais sob estresse calórico (BIN-JUMAH et al., 2020).

500 A suplementação de cromo na dieta tem apresentado bons resultados com
501 aumento do CMS, produção de leite e aumento da porcentagem de gordura e
502 lactose no leite (HAYIRLI et al., 2001; AL-SAIADY et al., 2004; AN-QIANG et al.,
503 2009; SOLTAN, 2010). Ele pode potencializar a ação da insulina e melhorar a
504 tolerância à glicose (KESHRI et al., 2019). O cromo melhorou o metabolismo
505 energético determinando menores concentrações plasmáticas de AGNE, BHBA e
506 acúmulo de triglicerídeos do fígado, bem como maiores concentrações séricas de
507 insulina no pré-parto, aumentando a tolerância a glicose e responsividade à insulina
508 no pós-parto, resultando em melhoria do desempenho e produção durante o período
509 periparturiente (HAYIRLI et al., 2001; SADRI et al., 2012). Também é observado
510 aumento das concentrações séricas de IGF1 e glicose, assim como diminuição das
511 concentrações de cortisol, uréia e AGNE (HAYIRLI et al., 2001; VASQUEZ;
512 HERRERA, 2003; AL-SAIADY et al., 2004; SUMNER et al, 2007; AN-QIANG et al.,
513 2009; SOLTAN, 2010; NIKKHAH et al. 2011; KAFILZADEH et al., 2012).

514 A suplementação com cromo mostra uma tendência no sentido de melhorar o
515 desempenho reprodutivo como indicado pela redução da porcentagem de vacas
516 acíclicas no pós-parto, redução no número de dias ao primeiro serviço e aumento da
517 percentagem de vacas prenhas aos 28 dias, o que pode ser atribuído à redução da
518 mobilização de tecido corporal no pós-parto com redução de AGNE bem como a
519 melhora no sistema imune e provável redução de incidência de infecção uterina no
520 pós-parto (SOLTAN, 2010; KAFILZADEH et al., 2012). Porém, Leiva et al. (2018)
521 não observaram diferença no número de óocitos viáveis coletados e embriões
522 produzidos entre vacas alimentadas com dieta controle e suplementada com cromo.

523 A suplementação com cromo em vacas sob estresse calórico pode melhorar o
524 desempenho reprodutivo aliviando os danos mediados pela insulina no folículo e seu
525 complexo cumulus-oócito, reduzindo os efeitos deletérios de dietas muito ricas em
526 concentrado na qualidade oocitária, e possui também ação anti-inflamatória (LEIVA
527 et al., 2017; NEGRÓN-PEREZ et al., 2019).

528 Não é bem definida a concentração tóxica de Cr para ruminantes, mas pode
529 ser presumido esse efeito em doses elevadas de suplementação, sendo observado
530 efeito quadrático em variáveis como CMS e produção e composição de leite
531 (HAYIRLI et al., 2001; NIKKHAH et al. 2011). Em doses maiores que 0,10 mg/kg^{0,75}
532 não se observa o efeito esperado na redução da lipólise e aumento da
533 gliconeogênese hepática (HAYIRLI et al., 2001). A EFSA (2020) considera o nível
534 máximo recomendado de cerca de 0,4 mg Cr /kg de alimento completo. Os EUA
535 permitem que seja utilizado até 0,50 mg de Cr /kg de MS sob a forma propionato de
536 Cr como suplemento na dieta para bovinos desde 2009 (SPEARS et al., 2017).

537
538 2.6 REFERÊNCIAS BIBLIOGRÁFICAS
539

- 540 AL-SAIADY, M. Y.; AL-SHAIKH, M. A.; AL-MUFARREJ, S. Y.; ALSHOWEIMI, T. A.;
541 MOGAWER, H. H.; DIRRAR, A. Effect of chelated chromium supplementation on
542 lactation performance and blood parameters of Holstein cows under heat stress.
543 *Animal Feed Science and Technology*, v. 117, p. 223-233, 2004.
- 544
545 AN-QIANG, L.; ZHI-SHENG, W., AN-GUO, Z. Effect of chromium picolinate
546 supplementation on early lactation performance, rectal temperatures, respiration
547 rates and plasma biochemical response of Holstein cows under heat stress. *Pakistan
548 Journal of Nutrition*, v. 8, p. 940-945, 2009.
- 549
550 ARMSTRONG, D. Heat stress interaction with shade and cooling. *Journal of Dairy
551 Science*, v. 77, n. 7, p. 2044-2050, 1994.
- 552
553 AZEVEDO, M. D.; PIRES, M. D. F. Á.; SATURNINO, H. M.; LANA, Â. M. Q.;
554 SAMPAIO, I. B. M.; MONTEIRO, J. B. N.; MORATO, L. E. Estimation of upper critical
555 levels of the temperature-humidity index for ½, ¾ e 7/8 lactating Holstein-Zebu dairy
556 cows. *Revista Brasileira de Zootecnia*, v. 34, n. 6, p. 2000-2008, 2005.
- 557
558 BADINGA, L.; THATCHER, W.; DIAZ, T.; DROST, M.; WOLFENSON, D. Effect of
559 environmental heat stress on follicular development and steroidogenesis in lactating
560 Holstein cows. *Theriogenology*, v. 39, n. 4, p. 797-810, 1993.

- 562 BAUMAN, D. E.; CURRIE, W. B. Partitioning of nutrients during pregnancy and
563 lactation: a review of mechanisms involving homeostasis and homeorhesis. *Journal*
564 *of Dairy Science*, v.63, p.1514-1529, 1980.
- 565
- 566 BAUMGARD, L. H.; RHOADS, R. P. Ruminant Nutrition Symposium: ruminant
567 production and metabolic responses to heat stress. *Journal of Animal Science*, v.90,
568 p.1855–1865, 2012.
- 569
- 570 BAUMGARD, L. H.; RHOADS, R. P. Effects of Heat Stress on Postabsorptive
571 Metabolism and Energetics. *Annual Review of Animal Bioscience*, v. 1, p. 311–337,
572 2013.
- 573
- 574 BAUMGARD, L. H.; KEATING, P. A.; ROSS, J. W.; RHOADS, R. P. Effects of heat
575 stress on the immune system, metabolism and nutrient partitioning: implications on
576 reproductive success. *Revista Brasileira de Reprodução Animal*, v. 39, n. 1, p. 173-
577 183, 2015.
- 578
- 579 BAUMGARD, L. H.; WHEELOCK, J. B.; SANDERS, S. R.; MOORE, C. E.; GREEN
580 H. B.; WALDRON, M. R.; RHOADS, R. P. Postabsorptive carbohydrate adaptations
581 to heat stress and monensin supplementation in lactating Holstein cows. *Journal of*
582 *Dairy Science*, v. 94, p. 5620-5633, 2011.
- 583
- 584 BEEDE, D. K.; COLLIER, R. J. Potential nutritional strategies for intensively
585 managed cattle during thermal stress. *Journal of Animal Science*, v. 62, p. 543-555,
586 1986.
- 587
- 588 BERMAN, A. Estimates of heat stress relief needs for Holstein dairy cows. *Journal of*
589 *Animal Science*, v.83, p. 1377-1384, 2005.
- 590
- 591 BERNABUCCI, U.; BASIRICÒ, L. MORERA, P.; DIPASQUALE, D.; VITALI, A.;
592 CAPPELLI, F. P.; CALAMARI, L. Effect of summer season on milk protein fractions in
593 Holstein cows. *Journal of Dairy Science*, v. 98, p. 1815–1824, 2015.
- 594
- 595 BERNABUCCI, U.; LACETERA, N.; BAUMGARD, L. H.; RHOADS, R. P.; RONCHI,
596 B.; NARDONE, A. Metabolic and hormonal acclimation to heat stress in
597 domesticated ruminants. *Animal*, v.4, p. 1167-1183, 2010.
- 598
- 599 BIN-JUMAH, M.; ABD EL-HACK, M. E.; ABDELNOUR, S. A.; HENDY, Y. A.;
600 GHANEM, H. A.; ALSAFY, S. A.; KHAFAGA, A. F.; NORELDIN, A. E.; SHAHEEN,
601 H.; SAMAK, D.; MOMENAH, M. A.; ALLAM, A. A.; ALKAHTANE, A. A.; ALKAHTANI,
602 S.; ABDEL-DAIM, M. M.; ALEYA, L. Potential use of chromium to combat thermal
603 stress in animals: A review, *Science of the Total Environment*, v. 707, 2019.
- 604
- 605 BOURAOUI, R.; LAHMAR, M.; MAJDOUB, A.; DJEMALI, M.; BELYEÀ, R. The
606 relationship of temperature-humidity index with milk production of dairy cows in a
607 Mediterranean climate. *Animal Research*, v. 51, p.479–491, 2002.
- 608

- 609 BRAGANÇA, G. M.; BATISTA, R. I. T. P; SOUZA-FABJAN, J. M. G.; ALFRADIQUE,
610 V. A. P.; ARASHIRO, E. K. N.; COSENTINO, I. O.; PINTO, P. H. N.; CAMARGO, L.
611 S. A.; DA FONSECA, J. F.; BRANDÃO, F. Z. Dose and administration protocol for
612 FSH used for ovarian stimulation affect gene expression in sheep cumulus-oocyte
613 complexes. *Reproduction, Fertility and Development*, v. 30, p. 1234-1244, 2018.
- 614
- 615 CERF-BENSUSSAN, N.; GABORIAU-ROUTHIAU, V. The immune system and the
616 gut microbiota: friends or foes? *Nature Reviews Immunology*, v. 10, p. 735-44, 2010.
- 617
- 618 COLLIER, R. J.; COLLIER, J. L.; RHOADS, R. P.; BAUMGARD, L. H. Genes
619 involved in the bovine heat stress response. *Journal of Dairy Science*, v. 91, p. 445–
620 54, 2008.
- 621
- 622 CONDÉ, M. S; PENA, S. M.; ROCHA JÚNIOR, C. M.; HOMEM, B. G. C.;
623 DEMARTINI, G. P.; SILVA, A. B. Minerais quelatados na nutrição de suínos. *Revista
Eletrônica Nutritime*, v. 11, n. 4, p. 3547-3565, 2014.
- 625
- 626 COPPOCK, C. E.; GRANT, P. A.; PORTZER, S. J. Lactating dairy cow responses to
627 dietary sodium, chloride, bicarbonate during hot weather. *Journal of Dairy Science*, v.
628 65, p. 566-576, 1982.
- 629
- 630 COWLEY, F. C.; BARBER, D. G.; HOULIHAN, A. V.; POPPI, D. P. Immediate and
631 residual effects of heat stress and restricted intake on milk protein and casein
632 composition and energy metabolism. *Journal of Dairy Science*, v. 98, p. 2356-2368,
633 2015.
- 634
- 635 DE RENSIS, F.; GARCIA-ISPIERTO, I.; LÓPEZ-GATIUS, F. Seasonal heat stress:
636 Clinical implications and hormone treatments for the fertility of dairy cows.
637 *Theriogenology*, v. 84, p. 659–666, 2015.
- 638
- 639 DE RENSIS, F.; SCARAMUZZI, R. J. Heat stress and seasonal effects on
640 reproduction in the dairy cow—a review. *Theriogenology*, v. 60, p.1139–1151, 2003.
- 641
- 642 EDWARDS, J. L.; HANSEN, P. J. Differential responses of bovine oocytes and
643 preimplantation embryos to heat shock. *Molecular Reproduction and Development*, v.
644 46, n. 2, p. 138-145, 1997.
- 645
- 646 European Food Safety Authority (EFSA). 2020. Scientific Opinion on the safety and
647 efficacy of Availa®Cr (chromium chelate of DL-methionine) as a feed additive for dairy
648 cows. *EFSA Journal*, v. 18, 26 pp.
- 649
- 650 FUQUAY, J. Heat stress as it affects animal production. *Journal of Animal Science*,
651 v. 52, n. 1, p. 164-174, 1981.
- 652
- 653 GARNER, J. B.; DOUGLAS, M.; WILLIAMS, R. S. O.; WALES, W. J.; NGUYEN, T. T.
654 T.; HAYES, B. J. Genomic selection improves heat tolerance in dairy cattle. *Nature
Scientific Reports*, v. 6, p. 1–8, 2016.
- 655
- 656

- 657 GOMES, M. R.; ROGERO, M. M.; TIRAPEGUI, J. Considerações sobre cromo,
658 insulina e exercício físico. *Revista Brasileira de Medicina do Esporte*, v. 11, p. 262-
659 266, 2005.
- 660
- 661 GWAZDAUSKAS, F.; THATCHER, W.; KIDDY, C.; PAAPE, M.; WILCOX, C.
662 Hormonal patterns during heat stress following PGF_{2α}-tham salt induced luteal
663 regression in heifers. *Theriogenology*, v. 16, n. 3, p. 271-285, 1981.
- 664
- 665 HAMMAMI, H.; VANDENPLAS, J.; VANROBAYS, M. L.; REKIK, B.; BASTIN, C.;
666 GENGLER, N. Genetic analysis of heat stress effects on yield traits, udder health,
667 and fatty acids of Walloon Holstein cows. *Journal of Dairy Science*, v. 98, p. 1–13,
668 2015.
- 669
- 670 HANSEN, P. J. Exploitation of genetic and physiological determinants of embryonic
671 resistance to elevated temperature to improve embryonic survival in dairy cattle
672 during heat stress. *Theriogenology*, v. 68(S1), p. S242–S249, 2007.
- 673
- 674 HANSEN, P. J. Effects of heat stress on mammalian reproduction. *Philosophical
675 Transactions of the Royal Society B: Biological Sciences*, v. 364, p. 3341–3350,
676 2009.
- 677
- 678 HAYIRLI, A. D.; BREMMER, D. R.; BERTICS, S. J.; SOCKA, M. T.; GRUMMER, R.
679 R. Effect of chromium supplementation on production and metabolic parameters in
680 periparturient dairy cows. *Journal of Dairy Science*, v. 84, p. 1218–1230, 2001.
- 681
- 682 IPCC, 2014: Climate Change 2014: Synthesis Report. Contribution of Working
683 Groups I, II and III to the Fifth Assessment Report of the Intergovernmental Panel on
684 Climate Change [Core Writing Team, R.K. Pachauri and L.A. Meyer (eds.)]. IPCC,
685 Geneva, Switzerland, 151 pp.
- 686
- 687 JU, J. C. Cellular responses of oocytes and embryos under thermal stress: hints to
688 molecular signaling. *Animal Reproduction*, v.2, n.2, p.79-90, 2005.
- 689
- 690 KAFILZADEH, F.; SHABANKAREH, H. K.; TARGHIBI, M. R. Effect of chromium
691 supplementation on productive and reproductive performances and some metabolic
692 parameters in late gestation and early lactation of dairy cows. *Biological Trace
693 Element Research*, v. 149, p. 42-49, 2012.
- 694
- 695 KEKANA, T. W.; NHERERA-CHOKUDAMUKENGELA, F. V.; MUYA, M. C.;
696 MANYAMA, K. M.; LEHLOENYA, K. C. Milk production and blood metabolites of
697 dairy cattle as influenced by thermal-humidity index. *Tropical Animal and Health
698 Production*, v. 50, p. 921–924, 2018.
- 699
- 700 KESHRI, A.; ROY, D.; SIDHU, V. K.; KUMAR, M.; KUSHWAHA, R.; VASWANI, S.;
701 KUMARI L. V.; SONAM, D.; PRAKASH, A.; CHOUDHURY, S. Impact of different
702 chromium sources on physiological responses, blood biochemicals and endocrine
703 status of heat stress in dairy calves. *Biological Rhythm Research*, 2019.

- 704 LEIVA, T.; COOKE, R. F.; BRANDÃO, A. P.; BERTIN, R. B.; COLOMBO, E. A.;
705 MIRANDA, V. F. B.; LOURENÇO, L. A. C.; RODRIGUES, S. M. B.; VASCONCELOS,
706 J. L. M. Effects of supplemental calcium salts of palm oil and chromium-propionate
707 on insulin sensitivity and productive and reproductive traits of mid- to late lactating
708 Holstein x Gir dairy cows consuming excessive energy. *Journal of Dairy Science*, v.
709 101, p. 491–504, 2018.
- 710
- 711 LEIVA, T.; COOKE, R. F.; BRANDAO, A. P.; PARDELLI, U.; RODRIGUES, R. O.;
712 CORRA, F. N.; VASCONCELOS, J. L. Effects of concentrate type and chromium
713 propionate on insulin sensitivity, productive and reproductive parameters of lactating
714 dairy cows consuming excessive energy. *Animal*, v. 11, p. 436–444, 2017.
- 715
- 716 NARDONE, A.; RONCHI, B.; LACETERA, N.; RANIERI, M. S.; BERNABUCCI, U.
717 Effects of climate changes on animal production and sustainability of livestock
718 systems. *Livestock Science*, v. 130, n. 1, p. 57-69, 2010.
- 719
- 720 NEGRÓN-PÉREZ, V. M.; FAUSNACHT, D. W.; RHOADS, M. L. Invited review:
721 Management strategies capable of improving the reproductive performance of heat-
722 stressed dairy cattle. *Journal of Dairy Science*, v. 102, 2019.
- 723
- 724 NIKKHAH, A.; MIRZAEI, M.; KHORVASH, M.; RAHMANI, H. R.; GHORBANI, G. R.
725 Chromium improves production and alters metabolism of early lactation cows in
726 summer. *Journal of Animal Physiology and Animal Nutrition*, v. 95, p. 81–89, 2011.
- 727
- 728 O'BRIEN, M. D.; RHOADS, R. P.; SANDERS, S. R.; DUFF, G. C.; BAUMGARD, L.
729 H. Metabolic adaptations to heat stress in growing cattle. *Domestic Animal
730 Endocrinology*, v. 38, p. 86–94, 2010.
- 731
- 732 OLIVEIRA, D. J. C.; SOARES FILHO, C. V. S. Suplementação com cromo para
733 ruminantes. *Arquivos de Ciências Veterinárias e Zoologia da UNIPAR*, v. 8, p. 71-77,
734 2005.
- 735
- 736 OLIVEIRA NETO, J. B.; MOURA, A. A. A.; NEIVA, J. N. M.; GUILHERMINA, M. M.
737 Indicadores de Estresse calórico e Utilização da Somatotropina Bovina (bST) em
738 Vacas Leiteiras Mestiças (*Bos taurus x Bos indicus*) no Semi-Árido do Nordeste.
739 *Revista Brasileira de Zootecnia*, v. 30, p.360-367, 2001.
- 740
- 741 PAULA-LOPES, F.; LIMA, R.; SATRAPA, R.; BARROS, C. Physiology and
742 Endocrinology Symposium: Influence of cattle genotype (*Bos indicus* vs. *Bos taurus*)
743 on oocyte and preimplantation embryo resistance to increased temperature. *Journal
744 of Animal Science*, v. 91, n. 3, p. 1143-1153, 2013.
- 745
- 746 PEARCE, S. C.; MANI, V.; BODDICKER, R. L.; JOHNSON, J. S.; WEBER, T. E.;
747 ROSS, J. W.; RHOADS, R. P.; BAUMGARD, L. H.; GABLER, N. K. Heat stress
748 reduces intestinal barrier integrity and favors intestinal glucose transport in growing
749 pigs. *Plos One*, v.8, p. 1-9, 2013.
- 750
- 751 PECHOVA, A.; PAVLATA, L. Chromium as an essential nutrient: a review. *Veterinary
752 medicine*, v. 52, p. 1–18, 2007.

- 753 PIRES, M. F. A. Manejo nutricional para evitar estresse calórico. Comunicado
754 Técnico 52. Embrapa, 2006.
- 755
- 756 PIRES, M. F. A.; CAMPOS, A. T. Relação dos dados climáticos com desempenho
757 animal. In: RESENDE, H.; CAMPOS, A. T.; PIRES, M. F. A. (Ed.). Dados climáticos
758 e sua utilização na atividade leiteira. Juiz de Fora: Embrapa Gado de Leite, 2003. p.
759 103-114.
- 760
- 761 PUTNEY, D. J.; MULLINS, S.; THATCHER, W. W., DROST, M.; GROSS, T. S.
762 Embryonic development in superovulated dairy cattle exposed to elevated ambient
763 temperatures between the onset of estrus and insemination. *Animal Reproduction
764 Science*, v. 19, p. 37-51, 1989.
- 765
- 766 RHOADS, M. L.; KIM, J. W.; COLLIER, R. J.; CROOKER, B. A.; BOISCLAIR, Y. R.;
767 BAUMGARD, L. H.; RHOADS, R. P. Effect of heat stress and nutrition on lactating
768 Holstein cows: II. Aspects of hepatic growth hormone responsiveness. *Journal of
769 Dairy Science*, v. 93, p. 170–179, 2010.
- 770
- 771 RHOADS, M. L.; RHOADS, R. P.; VAN BAALE, M. J.; COLLIER, R. J.; SANDERS,
772 S. R.; SHWARTZ, W. J.; BAUMGARD, L. H. Effects of a supplemental yeast culture
773 on heat-stressed lactating Holstein cows. *Journal of Dairy Science*, v. 92, p.935-942,
774 2009.
- 775
- 776 RHOADS, R. P.; BAUMGARD, L. H.; SUAGEE, J. K.; SANDERS, S. R. Nutritional
777 Interventions to Alleviate the Negative Consequences of Heat Stress. *Advances in
778 Nutrition*, v. 4, p. 267–276, 2013.
- 779
- 780 RHOADS, R. P.; LA NOCE, A. J; WHEELOCK, J. B.; BAUMGARD L. H. Short
781 Communication: Alterations in expression of gluconeogenic genes during heat stress
782 and exogenous bovine somatotropin administration. *Journal of Dairy Science*, v. 94,
783 p. 1917-1921, 2011.
- 784
- 785 RIVERA, R.; HANSEN, P. Development of cultured bovine embryos after exposure to
786 high temperatures in the physiological range. *Reproduction*, v. 121, n. 1, p. 107-115,
787 2001.
- 788
- 789 ROTH Z. Effect of Heat Stress on Reproduction in Dairy Cows: Insights into the
790 Cellular and Molecular Responses of the Oocyte. *Annual Review of Animal
791 Bioscience*, v.5, p. 151-170, 2017.
- 792
- 793 ROTH, Z.; HANSEN, P. J. Involvement of apoptosis in disruption of developmental
794 competence of bovine oocytes by heat shock during maturation. *Biology of
795 Reproduction*, v. 71, p. 1898–1906, 2004.
- 796
- 797 SADRI, H.; GHORBANI, G. R.; RAHMANI, H. R.; SAMIE, A. H.; KHORVASH, M.;
798 BRUCKMAIER, R. M. Chromium supplementation and substitution of barley grain
799 with corn: Effects on performance and lactation in periparturient dairy cows. *Journal
800 of Dairy Science*, v. 92, p. 5411-5418, 2009.
- 801

- 802 SADRI, H.; RAHMANI, H. R.; KHORVASH, M.; GHORBANI, G. R.; BRUCKMAIER,
803 R. M. Chromium supplementation and substitution of barley grain with corn: Effects
804 on metabolite and hormonal responses in periparturient dairy cows. *Journal of*
805 *Animal Physiology and Animal Nutrition*, v. 96, p. 220–227, 2012.
- 806
- 807 SHEHAB-EL-DEEN, M. A.; LEROY, J. L.; FADEL, M.; SALEH, S.; MAES, D.; VAN
808 SOOM, A. Biochemical changes in the follicular fluid of the dominant follicle of high
809 producing dairy cows exposed to heat stress early post-partum. *Animal Reproduction*
810 *Science*, v. 117, n. 3, p. 189-200, 2010.
- 811
- 812 SHEHAB-EL-DEEN, M. A.; LEROY, J. L.; MAES, D.; VAN SOOM, A. Cryotolerance
813 of bovine blastocysts is affected by oocyte maturation in media containing palmitic or
814 stearic acid. *Reproduction in Domestic Animals*, v. 44, p. 140-142, 2009.
- 815
- 816 SILVA, C.; SARTORELLI, E.; CASTILHO, A.; SATRAPA, R.; PUELKER, R.; RAZZA,
817 E.; TICIANELLI, J.; EDUARDO, H.; LOUREIRO, B.; BARROS, C. Effects of heat
818 stress on development, quality and survival of Bos indicus and Bos taurus embryos
819 produced in vitro. *Theriogenology*, v. 79, n. 2, p. 351-357, 2013.
- 820
- 821 SILVA, M. V. G. B.; MARTINS, M. F.; GONÇALVES, G. S.; PANETTO, J. C. DO C.;
822 PAIVA, L. DE C.; MACHADO, M. A.; REIS, D. R. de L.; FERREIRA JUNIOR, E.;
823 CEMBRANELLI, M. DE A. R., 2019. Programa de Melhoramento Genético da Raça
824 Girolando – Sumário de Touros – Resultado do Teste de Progênie - Junho/2019.
825 Juiz de Fora: Embrapa Gado de Leite. 68p.
- 826
- 827 SILVA, T. P. D.; SOUSA JUNIOR, S. C. Produção de leite de vacas submetidas a
828 diferentes períodos de exposição à radiação solar no sul do Piauí. *Agrarian*, v. 6, p.
829 320-325, 2013.
- 830
- 831 SIQUEIRA, K. B.; PINHO, M. C.; MERCÊS, E. D. S. O consumo de leite em
832 números. *Panorama do Leite*, v. 65, p. 5-7, 2012.
- 833
- 834 SMITH, D. L.; SMITH, T.; RUDE, B. J.; WARD, S. H. Short communication:
835 Comparison of the effects of heat stress on milk and component yields and somatic
836 cell score in Holstein and Jersey cows. *Journal of Dairy Science*, v. 96, p. 3028-3033,
837 2013.
- 838
- 839 SOLTAN, M. A. Effect of dietary chromium supplementation on productive and
840 reproductive performance of early lactating dairy cows under heat stress. *Journal of*
841 *Animal Physiology and Animal Nutrition*, v. 94, p. 264-272, 2010.
- 842
- 843 SONNA, L. A.; FUJITA, J.; GAFFIN, S. L.; LILLY, C. M. Effects of heat and cold
844 stress on mammalian gene expression. *Journal of Applied Physiology*, v. 92, p.1725–
845 1742, 2002.
- 846
- 847 SPEARS, J. W.; LLOYD, K. E.; KRAFKA, K. Chromium concentrations in ruminant
848 feed ingredients. *Journal of Dairy Science*, v. 100, p 3584-3590, 2017.
- 849

- 850 SPIERS, D. E.; SPAIN, J. N.; SAMPSON, J. D.; RHOADS, R. P. Use of physiological
851 parameters to predict milk yield and feed intake in heat-stressed dairy cows. *Journal*
852 of *Thermal Biology*, v. 29, p. 759–764, 2004.
- 853
- 854 ST-PIERRE, N. R.; COBANOV, B.; SCHNITKEY, G. Economic losses from heat
855 stress by US livestock industries. *Journal of Dairy Science*, v. 86, p. 52–77, 2003.
- 856
- 857 SUMNER, J. M.; VALDEZ, F.; MCNAMARA, J. P. Effects of Chromium Propionate on
858 Response to an Intravenous Glucose Tolerance Test in Growing Holstein Heifers.
859 *Journal of Dairy Science*, v. 90, p. 3467–3474, 2007.
- 860
- 861 TAO, S.; BUBOLZ, J. W.; DO AMARAL, B. C.; THOMPSON, I. M.; HAYEN, M. J.;
862 JOHNSON, S. E.; DAHL, G. E. Effect of heat stress during the dry period on
863 mammary gland development. *Journal of Dairy Science*, v. 94, p. 5976–5986, 2011.
- 864
- 865 TAO, S.; DAHL, G. E. Heat stress effects during late gestation on dry cows and their
866 calves. *Journal of Dairy Science*, v. 96, p. 1-15, 2013.
- 867
- 868 TAO, S.; ORELLANA, R. M.; WENG, X.; MARINS, T. N.; DAHL, G. E.; BERNARD, J.
869 K. Symposium review: The influences of heat stress on bovine mammary gland
870 function. *Journal of Dairy Science*, v. 101, p. 5642-5654, 2018.
- 871
- 872 TAO, S.; THOMPSON, I. M.; MONTEIRO, A. P. A.; HAYEN, M. J.; YOUNG, L. J.;
873 DAHL, G. E. Effect of cooling heat-stressed dairy cows during the dry period on
874 insulin response. *Journal of Dairy Science*, v. 95, p. 5035-5046, 2012.
- 875
- 876 THATCHER, W.; COLLIER, R. Effects of climate on bovine reproduction. In: *Current*
877 *Therapy in Theriogenology*, v. 2, p. 301-309, 1986.
- 878
- 879 THOM, E. C. The discomfort index. *Weatherwes*, v. 12, p. 57-60, 1959.
- 880
- 881 THORNTON, P.; VAN DE STEEG, J.; NOTENBAERT, A.; HERRERO, M. The
882 impacts of climate change on livestock and livestock systems in developing
883 countries: A review of what we know and what we need to know. *Agricultural*
884 *Systems*, v. 101, n. 3, p. 113-127, 2009.
- 885
- 886 VASCONCELLOS, B. F.; PÁDUA, J. T.; MUÑOZ, M. F. C.; TONHATI, H. Efeitos
887 genéticos e ambientais sobre a produção de leite, o intervalo de partos e a duração
888 da lactação em um rebanho leiteiro com animais mestiços, no Brasil. *Revista*
889 *Universitária Rural: Série Ciências da Vida*, v. 23, p. 39-45, 2003.
- 890
- 891 VASQUEZ, E. F. A.; HERRERA, A. P. N. Concentração plasmática de cortisol, uréia,
892 cálcio e fósforo em vacas de corte mantidas a pasto suplementadas com levedura
893 de cromo durante a estação de monta. *Ciência Rural*, v. 33, p. 743-747, 2003.
- 894
- 895 VINCENT, J. B. The biochemistry of chromium. *The Journal of Nutrition*, v.130,
896 p.715– 718, 2000.
- 897

- 898 WALDRON, M. R.; KULICK, A. E.; BELL, A. W., OVERTON, T. R. Acute
899 experimental mastitis is not causal toward the development of energy-related
900 metabolic disorders in early postpartum dairy cows. *Journal of Dairy Science*, v. 89,
901 p. 596-610, 2006.
- 902
- 903 WEST, J. W. Physiological effects of heat stress on production and reproduction. In:
904 TRI-STATE DAIRY NUTRITION CONFERENCE, 2002, Fort Wayne.
905 Proceedings...Fort Wayne: Eastridge, M.D., 2002. p.1-9.
- 906
- 907 WEST, J. W. Effects of heat-stress on production in dairy cattle. *Journal of Dairy
908 Science*, v. 86, p. 2131-2144, 2003.
- 909
- 910 WHEELOCK, J. B.; RHOADS, R. P.; VANBAALE, M. J.; SANDERS, S. R.;
911 BAUMGARD, L. H. Effects of heat stress on energetic metabolism in lactating
912 Holstein cows. *Journal of Dairy Science*, v. 93, p. 644-655, 2010.
- 913
- 914 WHEELOCK, J. B.; SANDERS, S. R.; SHWARTZ, G.; HERNANDEZ, L. L.; BAKER,
915 S. H.; MCFADDEN, J. W.; ODENS, L. J.; BURGOS, R.; HARTMAN, S. R.;
916 JOHNSON, R. M.; JONES, B. E.; COLLIER, R. J.; RHOADS, R. P.; VANBAALE, M.
917 J.; BAUMGARD, L. H. Effects of heat stress and rbST on production parameters and
918 glucose homeostasis. *Journal of Dairy Science*, v. 89, p. 290 (Abstr.), 2006.
- 919
- 920 WISE, M.; ARMSTRONG, D.; HUBER, J.; HUNTER, R.; WIERSMA, F. Hormonal
921 alterations in the lactating dairy cow in response to thermal stress. *Journal of Dairy
922 Science*, v. 71, n. 9, p. 2480-2485, 1988.
- 923
- 924 WOLFENSON, D.; THATCHER, W.; BADINGA, L.; SAVIO, J.; MEIDAN, R.; LEW, B.;
925 BRAW-TAL, R.; BERMAN, A. Effect of heat stress on follicular development during
926 the estrous cycle in lactating dairy cattle. *Biology of Reproduction*, v. 52, n. 5, p.
927 1106-1113, 1995.
- 928
- 929 YANG, B.; JOHNSON, T. S.; THOMAS, G. H.; WATSON, P. F.; WAGNER, B.;
930 FURNESS, P. N.; EL NAHAS, A. M. A shift in the Bax/Bcl-2 balance may activate
931 caspase-3 and modulate apoptosis in experimental glomerulonephritis. *Kidney
932 International*, v. 62, p. 1301–1313, 2002.
- 933
- 934 YOUSEF, M. K. Stress Physiology in Livestock. Boca Raton: CRC Press Inc., 1985.

935 **3. HIPÓTESES CIENTÍFICAS**

936

937 A suplementação com cromo orgânico na dieta de vacas sob estresse calórico:

938

- 939 • Aumenta a produção de leite e as porcentagens de gordura e proteína
940 no leite;
- 941 • Tem efeito positivo no crescimento dos folículos e qualidade dos
942 oócitos, reduzindo a apoptose celular induzida pelo estresse;
- 943 • Modula a expressão de genes relacionados ao metabolismo de glicose
944 e gliconeogênese no fígado.

945 **4. OBJETIVOS**

946

947 **4.1 GERAL**

948

949 Avaliar a suplementação com cromo orgânico na dieta para mitigação dos
950 efeitos do estresse calórico sobre características produtivas, reprodutivas e
951 metabólicas de vacas Girolando em lactação.

952

953 **4.2 ESPECÍFICOS**

954

- 955 • Determinar o consumo de matéria seca, a produção e composição do leite
956 de vacas Girolando sob estresse calórico suplementadas com cromo orgânico
957 na dieta;
- 958 • Observar a população folicular, taxa de crescimento do folículo dominante,
959 diâmetro do folículo dominante e qualidade morfológica dos óocitos de vacas
960 Girolando sob estresse calórico suplementadas com cromo orgânico na dieta;
- 961 • Estimar a apoptose de óocitos de vacas Girolando sob estresse calórico
962 suplementadas com cromo orgânico na dieta;
- 963 • Avaliar o perfil de expressão de genes relacionados ao metabolismo de
964 glicose, *growth hormone* (GH) e *insulin-like growth factor 1* (IGF1) no fígado
965 de vacas Girolando sob estresse calórico suplementadas com cromo orgânico
966 na dieta.

967 **5. MATERIAL E MÉTODOS**

968
969
970 O presente estudo foi realizado no Campo Experimental José Henrique
971 Bruschi da Embrapa Gado de Leite, localizado em Coronel Pacheco, Minas Gerais,
972 Brasil, no período de inverno de 2017 (junho a setembro). O estudo foi aprovado
973 pelo Comitê de Ética em Uso de Animais da Embrapa Gado de Leite (Protocolo
974 07/2015 - anexo), Brasil, e seguiu os princípios éticos do Conselho Nacional de
975 Controle de Experimentação Animal.

976 Trinta e seis vacas ¾ Girolando com média de $71,3 \pm 15,3$ dias em lactação,
977 peso médio de 509 ± 61 kg e escore médio de condição corporal de $3,5 \pm 0,2$
978 (escala 1 a 5; EDMONSON et al., 1989) foram submetidas a dois ensaios
979 sequenciais.

980 As dietas foram formuladas usando o AMTS Cattle Pro® (Agricultural Modeling
981 and Training Systems LLC, New York, USA), de acordo com os requisitos
982 nutricionais para vacas que produzem 25 kg de leite / dia (NRC, 2001). As dietas
983 foram baseadas em silagem de milho, milho moído, farelo de soja e mistura mineral
984 suplementada ou não com tripicolinato de cromo (Tecnutri, Montes Claros, Brasil)
985 oferecidas em TMR: 42% de matéria seca (MS), 12,39% proteína bruta, 33,44% fibra
986 em detergente neutro, 0,57% Ca, 0,46% P e 1,71 Mcal/kg de energia líquida com
987 base na MS.

988
989 **5.1 ENSAIO 1- AMBIENTE TERMONEUTRO**

990
991 Os animais foram alojados em *free-stall* com cochos eletrônicos (Intergado®,
992 Minas Gerais, Brasil) em ambiente termoneutro com um ITU médio de 68. Após um
993 período de 14 dias para adaptação a dieta, as vacas foram alocadas aleatoriamente
994 em um de dois grupos: dieta controle ou dieta suplementada com cromo (0,50 mg
995 Cr/kg MS) (SADRI et al., 2009). Alimentos e água foram fornecidos *ad libitum* por 11
996 dias.

1001 5.2 ENSAIO 2- ESTRESSE CALÓRICO

1002
1003 Após o período em ambiente termoneutro, as vacas foram mantidas na
1004 mesma dieta anterior, porém divididas em três condições ambientais: condições de
1005 estresse calórico em câmara climática com um ITU médio de 85 por oito horas por
1006 dia, entre as ordenhas, e alimentadas *ad libitum* (HS); ambiente termoneutro em
1007 *free-stall* com ITU médio de 68 com alimentação *ad libitum* (TN); e grupo *pair-fed* em
1008 ambiente termoneutro em *free-stall* com ITU médio de 68 (PF). O ITU de 85 foi
1009 definido com temperatura do ar a 34 °C e 60% de umidade. Esses animais foram
1010 mantidos nessa condição por 11 dias.

1011 A dieta oferecida às vacas *pair-fed* foi a quantidade média consumida no dia
1012 anterior pelas vacas estressadas em câmara climática. O grupo PF foi utilizado para
1013 isolar o efeito da redução do CMS em animais estressados pelo calor. A câmara
1014 climática oferecia uma capacidade limitada em termos de número de animais;
1015 portanto, os testes foram realizados em duas fases, com 18 animais em cada uma,
1016 para atingir a quantidade necessária de repetições de dados. Assim, avaliamos o
1017 efeito da suplementação de cromo em três condições ambientais, totalizando seis
1018 grupos contemporâneos com seis animais cada.

1019 A temperatura vaginal foi mensurada usando data loggers (iButton®,
1020 Whitewater, EUA) acoplados às hastes de plástico dispositivos intravaginais. As
1021 medidas foram realizadas seis vezes por dia: 7:30, 9:00, 12:00, 15:00, 17:00 e
1022 19:00.

1023
1024 5.3 ANÁLISES LABORATORIAIS

1025
1026 Os restos alimentares foram mensurados diariamente e o CMS foi
1027 determinado (SILVA; QUEIROZ, 2002). As vacas foram ordenhadas duas vezes por
1028 dia, às 06:00 e 16:00, e a produção de leite foi medida diariamente. As amostras de
1029 leite foram coletadas semanalmente durante quatro ordenhas consecutivas para
1030 determinar a composição do leite (IDF, 2000). A produção de leite corrigida para
1031 energia foi calculada de acordo com Sjaunja et al. (1990). As amostras de sangue
1032 foram coletadas por punção venosa coccígea a vácuo em tubos de 5 mL contendo
1033 EDTA (Vacutainer®, BD, Juiz de Fora, Brasil). As amostras de sangue foram

1034 centrifugadas a 800 x g por 15 minutos e o plasma foi armazenado a -20 °C até a
1035 análise. As concentrações de glicose, uréia e insulina foram determinadas. A glicose
1036 foi determinada por uma reação colorimétrica de ponto final (Glucose Pap
1037 Liquiform®, Labtest, Minas Gerais, Brasil). A uréia foi determinada por reação
1038 enzimática e fotometria ultravioleta (Ureia UV Liquiform®, Labtest, Minas Gerais,
1039 Brasil). As análises foram realizadas com kits comerciais com sistema de leitura
1040 monocromática automática (Labmax Premium 240®, Labtest Diagnóstica, Minas
1041 Gerais, Brasil), enquanto a concentração de insulina foi determinada por
1042 radioimunoensaio (RIA) com kits comerciais (Porcine Insulin® da Millipore, Missouri,
1043 EUA). A sensibilidade à insulina foi de 1,611 µU/mL, e o coeficiente intra-ensaio foi
1044 de 12%.

1045

1046 5.4 OVUM PICK UP (OPU), AVALIAÇÕES FOLICULARES E OOCITÁRIAS

1047

1048 As vacas foram submetidas à *ovum pick up* (OPU) e a recuperação dos
1049 complexos *cumulus* oócitos (COC) ocorreu no terceiro dia de cada ensaio. A
1050 sincronização da emergência das ondas foliculares e a coleta de CCO foram
1051 realizadas por aspiração folicular transvaginal guiada por ultrassom, de acordo com
1052 Santos et al. (2018). Os COC foram avaliados de acordo com a qualidade
1053 morfológica e classificados como viáveis ou não viáveis, com base nas
1054 características citoplasmáticas dos oócitos e no número de camadas celulares do
1055 *cumulus* (FERREIRA et al., 2011). Os oócitos viáveis foram transportados em tubos
1056 de 1,5 mL contendo solução salina TCM199 Earle com soro fetal de bezerro a 10%
1057 em um transportador de oócitos (WTA®, São Paulo, Brasil) a 37 °C para o laboratório
1058 para maturação *in vitro* (meio TCM199 Earle com soro fetal de bezerro a 10%, em
1059 incubadora com atmosfera de 5% de CO₂ em ar, com uma temperatura de 38,5°C
1060 por 24 h). Quatro dias (96 h) após a coleta do COC, o maior diâmetro folicular foi
1061 avaliado por meio de duas medidas perpendiculares no eixo dos dois maiores
1062 folículos presentes, sendo reavaliados após 24 h (120 h após a coleta de oócitos)
1063 para determinar o diâmetro do folículo dominante (DFD) e a taxa de crescimento
1064 folicular de acordo com Santos et al. (2018).

1065 Foi realizado o teste da marcação de extremidade terminal dUTP mediada por
1066 desoxinucleotidil transferase (TUNEL) (ROTH; HANSEN, 2004) para identificar a
1067 fragmentação de DNA.

1068

1069 5.5 BIÓPSIA HEPÁTICA

1070

1071 O tecido hepático foi coletado por procedimento cirúrgico no último dia do
1072 Ensaio 2. Após a tricotomia local e assepsia com álcool 70%, foi realizada a
1073 anestesia local utilizando 5 mL de lidocaína a 2% e uma pequena incisão com bisturi
1074 no ponto de introdução da agulha de biópsia hepática no 11º espaço intercostal
1075 direito, aproximadamente 20 cm abaixo da linha do dorso, no cruzamento de uma
1076 linha imaginária entre a tuberosidade externa do íleo e a escápula e outra linha
1077 perpendicular ao 11º espaço intercostal, ponto no qual corresponde à posição
1078 topográfica do lobo direito do fígado. A agulha de biópsia foi introduzida no fígado
1079 por acesso percutâneo.

1080 Foi utilizada a agulha do modelo 14 G x 20 cm junta a cânula para biópsia
1081 hepática com empunhadura plástica modelo de disparo semi-automático
1082 (Biomedical®). O tecido foi acondicionado em microtubos (livre de RNase e DNase),
1083 com 200 µL de RNA Later (Ambion®), segundo a recomendação do fabricante. A
1084 amostra foi mantida refrigerada *overnight*, posteriormente foi drenado o excesso de
1085 RNA Later e a amostra foi armazenada em freezer à temperatura de -80 °C para
1086 posterior análise da expressão gênica.

1087

1088 5.6 ANÁLISE DA EXPRESSÃO GÊNICA

1089

1090 Para avaliar a abundância de mRNA que codificam o metabolismo hepático
1091 da glicose, o transportador de glicose 2 (GLUT2), a fosfoenolpiruvato carboxiquinase
1092 (PEPCK), a glicose-6-fosfatase (G6Pase), o receptor de hormônio de crescimento
1093 (rGH) e os transcritos do fator de crescimento semelhante à insulina 1 (IGF1) foram
1094 utilizados como calibradores para comparar o status metabólico entre os
1095 tratamentos, uma vez que são indicadores da abundância de mRNAs que codificam
1096 o metabolismo hepático da glicose.

1097 O RNA total foi extraído com o uso do reagente TRIzol™ (Invitrogen) na taxa
1098 de 1 mL para 100 mg de tecido. O tecido foi triturado (tecido + reagente TRIzolTM)
1099 com ULTRA-TURRAX® básico T10 até a dissociação completa. Subsequentemente,
1100 100 µL de clorofórmio foram adicionados e a mistura foi homogeneizada e incubada
1101 por três minutos. As amostras foram então centrifugadas por 15 minutos a 12000 x
1102 g/ 4 °C. A fase líquida foi coletada e transferida para um tubo limpo, com a adição de
1103 500 µL de isopropanol em cada tubo, e incubada por 10 minutos. As amostras foram
1104 homogeneizadas por inversão e depois centrifugadas por 10 minutos a 12000 x g / 4
1105 °C. O sobrenadante foi descartado e o precipitado foi lavado em 1 mL de etanol a
1106 75%. O material foi novamente centrifugado a 7500 x g por cinco minutos e o
1107 sobrenadante foi descartado. O sedimento foi seco por cinco minutos e depois
1108 suspenso em 50 µL de água ultrapura sem RNase. A concentração total de RNA foi
1109 medida usando o espectrofotômetro ND-100 (NanoDrop Products). A integridade do
1110 RNA foi avaliada por eletroforese em gel de agarose.

1111 Posteriormente, a transcrição reversa foi realizada utilizando o kit Superscript
1112 III (Invitrogen), de acordo com as recomendações do fabricante. A quantificação
1113 relativa por reação em cadeia da polimerase (PCR) em tempo real (qPCR) foi
1114 realizada em triplicado utilizando SYBR green disponível comercialmente. As
1115 reações (20 µL) foram preparadas de acordo com as instruções do fabricante,
1116 usando o kit SYBR green (Power Up SYBR Green; Invitrogen), 3,3 ng de cDNA,
1117 água livre de nuclease e iniciadores específicos para cada reação. Os primers para
1118 os seguintes genes foram projetados: GLUT2 (NM_001103222.1; *forward*: 5'-
1119 ACAAGCCTGGGAGATCCAAC-3'; *reverse*: 5'-CCCAAGCAACCCTCCAAAGA-3';
1120 temperatura de anelamento: 54 °C), PEPCK (NM_174737.2; *forward*: 5'-
1121 CAAGGATGGGGAGCCTTGTG-3'; *reverse*: 5'-CCTCGTAGACCAGAGGGACA-3';
1122 temperatura de anelamento: 55 °C), G6Pase (NM_001076124.2; *forward*: 5'-
1123 ATGTTGTGGTTGGATTCTGG-3'; *reverse*: 5'-CACCTCGCTTGCTTCTC-3';
1124 temperatura de anelamento: 52 °C), rGH (NM_176608.1; *forward*: 5'-
1125 GGTATGGATCTCTGGCAGCTG-3'; *reverse*: 5'-TCTGACAAGGAAAGCTGGTGTG-
1126 3'; temperatura de anelamento: 55 °C), IGF1 (NM_001077828.1; *forward*: 5'-
1127 TTGGTGGATGCTCTCCAGTTC-3'; *reverse*: 5'-GCACTCATCCACGATTCTGT-3';
1128 temperatura de anelamento: 54 °C), gliceraldeído-3-fosfato desidrogenase (GAPDH;
1129 U85042; *forward*: 5'-GTCTTCACTACCATGGAGAAGG-3'; *reverse*: 5'-

1130 TCATGGATGACCTTGGCCAG-3'; temperatura de anelamento: 51 °C), e tirosina 3-
1131 monooxigenase /triptofano 5-monooxigenase proteína de ativação zeta (YWHAZ;
1132 NM_174814.2; forward: 5'-GCAAAAGACGGAAGGTGCTG-3'; reverse: 5'-
1133 CCTCAGCCAAGTAGCGGTA-3'; temperatura de anelamento: 52 °C).

1134 O cDNA modelo foi desnaturado a 95 °C por 15 segundos em 40 ciclos, na
1135 temperatura de anelamento do gene específico por 15 segundos e com alongamento
1136 a 72 °C por um minuto. Após cada execução da PCR, foi realizada uma análise da
1137 curva de fusão para confirmar que um único produto específico foi gerado. Os
1138 controles sem modelo, compreendendo a mistura de reação de PCR sem um
1139 modelo de DNA, também foram executados com cada iniciador para confirmar a
1140 ausência de contaminação. Dados de fluorescência verde foram adquiridos durante
1141 a etapa de extensão. A expressão de cada gene alvo foi normalizada usando a
1142 média geométrica dos valores obtidos para transcritos de gliceraldeído-3-fosfato
1143 desidrogenase (GAPDH) e tirosina 3-monooxigenase /triptofano 5-monooxigenase
1144 proteína de ativação zeta (YWHAZ) (genes endógenos). Os controles negativos
1145 foram reações sem adição de ácido nucleico.

1146

1147 5.7 ANÁLISE ESTATÍSTICA

1148

1149 No Ensaio 1, para as variáveis CMS, produção e composição do leite e
1150 parâmetros metabólicos, um modelo linear misto ANOVA (PROC MIXED) foi
1151 utilizado para avaliar os efeitos da dieta, dia de coleta, interação dieta e dia de
1152 coleta, efeito aleatório de animal e fase (bloco). A produção de leite do primeiro dia
1153 de coleta foi utilizada como covariável para os parâmetros produtivos. Para a
1154 variável temperatura vaginal, foi utilizado um modelo linear misto avaliando os
1155 efeitos da dieta, dia da coleta, interação dieta e dia de coleta, hora do dia e efeito
1156 aleatório de animal e fase (bloco). Para parâmetros reprodutivos quantitativos, foi
1157 utilizado um modelo linear misto avaliando o efeito da dieta, efeito aleatório de
1158 animal e fase (bloco). As médias de quadrados mínimos foram comparadas pelo
1159 teste de Tukey.

1160 No Ensaio 2, para as variáveis CMS, produção e composição do leite e
1161 parâmetros metabólicos, um modelo linear misto foi aplicado para avaliar os efeitos
1162 da dieta, condição ambiental, interação dieta e condição ambiental, interação dieta

1163 com o dia da coleta, efeito aleatório de animal e fase (bloco). A média de produção
1164 do primeiro Ensaio (ambiente termoneutro) foi utilizada como covariável para os
1165 parâmetros produtivos. Para a temperatura vaginal, um método linear misto modelo
1166 foi utilizado para avaliar os efeitos da dieta, condição ambiental, interação dieta e
1167 condição ambiental e interação condição ambiental e hora do dia, juntamente com
1168 uma interação tripla de dieta, condição ambiental e hora do dia, efeito aleatório de
1169 animal e fase (bloco). Para parâmetros reprodutivos quantitativos, foi utilizado um
1170 modelo linear misto avaliando o efeito da dieta, condição ambiental, interação dieta e
1171 condição ambiental, efeito aleatório de animal e fase (bloco). As médias de
1172 quadrados mínimos foram comparadas pelo teste de Tukey.

1173 Parâmetros reprodutivos qualitativos (ensaio de TUNEL e resultados da
1174 qualidade do ócito) foram analisados pelo teste do qui-quadrado. As análises
1175 estatísticas foram realizadas usando o SAS for Windows versão 9.2 (SAS Institute
1176 Inc., Cary, NC), considerando $p \leq 0,05$ o nível de significância.

1177 A eficiência dos primers foi calculada utilizando o programa LinRegPCR® e
1178 utilizado para quantificação. Os resultados do grupo endógeno de referência e
1179 controle foram analisados pelo software REST®, também considerando $p \leq 0,05$ o
1180 nível de significância.

1181
1182
1183
1184
1185
1186
1187
1188
1189
1190
1191
1192
1193
1194
1195
1196
1197
1198
1199
1200
1201
1202

6. CAPÍTULO 1

1203
1204
1205
1206
1207
1208
1209
1210
1211
1212
1213
1214 Chromium supplementation improves glucose metabolism and vaginal temperature
1215 regulation in Girolando cows under heat stress conditions in a climatic chamber
1216
1217 *Suplementação com cromo orgânico melhora o metabolismo de glicose e regulação*
1218 *da temperatura vaginal em vacas Girolando sob estresse calórico em câmara*
1219 *climática*
1220
1221
1222
1223
1224
1225
1226
1227
1228
1229
1230
1231
1232 **Artigo publicado no periódico:** Tropical Animal Health and Production
1233 **Aceito em:** Dezembro de 2019; **DOI:** 10.1007/s11250-019-02173-w
1234 **Qualis:** B1 – Medicina Veterinária

1235 Chromium supplementation improves glucose metabolism and vaginal temperature
1236 regulation in Girolando cows under heat stress conditions in a climatic chamber

1237

1238 *Lilian dos Santos Ribeiro¹; Felipe Zandonadi Brandão¹; Luciano de Rezende
1239 Carvalheira²; Túlio José de Freitas Goes¹; Rodolpho de Almeida Torres Filho¹;
1240 Carolina Capobiango Romano Quintão³; Maria de Fátima Ávila Pires³; Luiz Sérgio de
1241 Almeida Camargo³; Bruno Campos de Carvalho³*

1242

1243 ¹ Faculdade de Veterinária, Universidade Federal Fluminense, Niterói, Rio de
1244 Janeiro, 24230-340, Brazil

1245 ² Escola de Veterinária, Universidade Federal de Minas Gerais, Belo Horizonte,
1246 Minas Gerais, 31270-901 Brazil

1247 ³ Embrapa Gado de Leite, Juiz de Fora, Minas Gerais, 36038-330, Brazil

1248 Corresponding author: Email: lilianribeiro91@hotmail.com;
1249 bruno.carvalho@embrapa.br

1250

1251

1252

1253

1254

1255

1256

1257

1258

1259

1260 **Abstract.** This study aimed to evaluate chromium supplementation on productive,
1261 reproductive, and metabolic parameters at lactating Girolando cows subjected to
1262 heat stress conditions in a climatic chamber. Thirty-six lactating Girolando cows were
1263 subjected to two sequential trials. In trial 1 (thermoneutral environment), the effect of
1264 chromium supplementation was evaluated (0 vs. 0.50 mg/kg of dry matter). In trial 2,
1265 the cows were fed the same diets, but they were divided into three environmental
1266 conditions: heat stress conditions in climatic chamber, fed *ad libitum* (HS);
1267 thermoneutral environment, fed *ad libitum* (TN); and thermoneutral environment, pair-
1268 fed (PF). In thermoneutral conditions, chromium supplementation did not affect
1269 productive or metabolic parameters, although supplemented cows had lower viability
1270 of oocytes ($65.11 \pm 0.08\%$ vs. $76.86 \pm 0.08\%$). During heat stress, chromium
1271 supplementation lowered plasma glucose levels (61.17 ± 1.90 vs. 67.11 ± 1.90
1272 mg/dL), and increased the insulin:glucose ratio (0.39 ± 0.04 vs. 0.27 ± 0.04). Cows
1273 fed the control diet in the HS group had higher vaginal temperature values ($39.40 \pm$
1274 0.10 °C) than the cows in the TN group and PF group (38.89 ± 0.10 °C and $38.85 \pm$
1275 0.11 °C, respectively). However, supplemented cows heat-stressed maintained the
1276 same vaginal temperature as cows in thermoneutral conditions. In conclusion,
1277 chromium supplementation improved glucose metabolism and prevented body
1278 temperature increases under heat stress conditions.
1279

1280 **Keywords:** Dairy cattle; Milk composition; Reproduction; Metabolism; Insulin;
1281 Glucose

1282

1283

1284

1285

Introduction

1286

1287

Hot and humid seasons or atypical elevations in temperature and humidity are the major causes of heat stress in livestock. When ambient temperature and other environmental conditions create a situation outside of the thresholds of thermal comfort for livestock, nutrients are spent to maintain homeothermy, prioritizing a safe body temperature over production (Baumgard et al. 2015).

1292

1293

1294

1295

1296

1297

1298

1299

1300

1301

1302

1303

1304

1305

1306

1307

1308

1309

1310

1311

1312

1313

In comparison with their unstressed counterparts, heat stressed cows have higher peripheral glucose metabolism; this serves as a strategy for increased heat dissipation, but it impacts the mammary gland by reducing glucose availability for lactose synthesis (Baumgard et al. 2011; Tao et al. 2018). The reduction in milk production can range from 10% to 35% when the temperature and average humidity index (THI) exceeds the tolerance limit, which is partly explained by the reduction in dry matter intake (DMI) (Baumgard and Rhoads 2012). The reduction of productivity and efficiency of nutrient utilization in heat-stressed dairy cattle is mediated by physiological and molecular alterations, such as changes in energy metabolism, which have been implicated as an important cause of variation in animal productivity (Baumgard et al. 2011; Ríus 2019). The composition of milk from cows under heat stress also changes, showing a reduction in the percentages of lactose and protein (Rhoads et al. 2009; Baumgard et al. 2011) and changes in the percentage of fat; however, there are contradictory results among studies (Bernabucci et al. 2015; Garner et al. 2016). Heat-induced alterations in small antral follicles can be expressed later as compromised maturation and reduced developmental capacity of the ovulating oocyte (Roth 2017). Heat stress may cause reversible or irreversible cellular damage. Apoptosis, a mechanism of cellular quality control, can be stimulated by heat stress to eliminate damaged or abnormal cells. This is one of the processes that may be involved in reducing oocyte competence in heat stress conditions (Roth and Hansen 2004).

1314

1315

1316

1317

Chromium enhances the function of insulin, acting as a cofactor and increasing its efficiency, which helps cells to absorb glucose. Chromium has been shown to improve energy metabolism and increase glucose tolerance and insulin responsiveness, which increases milk production, DMI, and plasma

concentrations of glucose and decreases insulin and urea concentrations (Nikkhah et al. 2011; Kafilzadeh et al. 2012). Chromium supplementation may improve thermal tolerance or production in heat-stressed animals, avoid mobilizing body reserve and weight loss during pregnancy, and promote growth and immunity (Alhidary et al. 2018; Liu et al. 2017; Rhoads et al. 2013). Thus, it is important to increase knowledge on the use of chromium in the diet of cows under heat stress conditions, especially for Girolando (Holstein × Gyr) cows, so that performance can be maintained in tropical environments that are more rustic and variable (Canaza-Cayo et al. 2014). These characteristics affect milk production in Brazilian territory, which is essentially a tropical climate, where cows experience heat stress conditions with elevated temperature and humidity for the majority of the year.

It is necessary to increase knowledge on the impacts of heat stress on crossbred cows and to identify management measures capable of mitigating these effects. To our knowledge, this study is the first to evaluate organic chromium supplementation on the diet of Girolando cows under heat stress conditions. The objective of this study was to evaluate chromium supplementation on diet related to heat stress conditions in a climatic chamber on different parameters (intake, production, metabolism, and reproduction) in lactating Girolando cows.

1338

1339 **Material and Methods**

1340

1341 The present study was conducted at Campo Experimental José Henrique
1342 Bruschi of Embrapa Gado de Leite, located at Coronel Pacheco, Minas Gerais,
1343 Brazil. The study has been approved by the Comitê de Ética em Uso de Animais of
1344 Embrapa Gado de Leite (Protocol 07/2015), Brazil, and it follows the ethical
1345 principles of Conselho Nacional de Controle de Experimentação Animal. Thirty-six
1346 ¾ Girolando cows with an average of 71.3 ± 15.3 days in milk, an average weight of
1347 509 ± 61 kg, and an average body condition score of 3.5 ± 0.2 (scale 1 to 5;
1348 Edmonson et al. 1989) were subjected to two sequential trials (Fig. 1).

1349

1350 The diets were formulated using AMTS Cattle Pro (Agricultural Modeling and
Training Systems LLC, New York, USA) according to nutritional requirements for

1351 cows producing 25 kg of milk/day (NRC, 2001). The diets were based on corn
1352 silage, grounded corn, soybean meal, and a mineral mixture that was supplemented
1353 or not with chromium tripicolinate (Tecnutri, Montes Claros, Brazil) offered in total
1354 mixed ration (TMR): 42% dry matter (DM), 12.39% CP, 33.44% Neutral detergent
1355 fiber, 0.57% Ca, 0.46% P, and 1.71 Mcal/kg net energy based on DM.

1356

1357 **Trial 1: Thermoneutral environment**

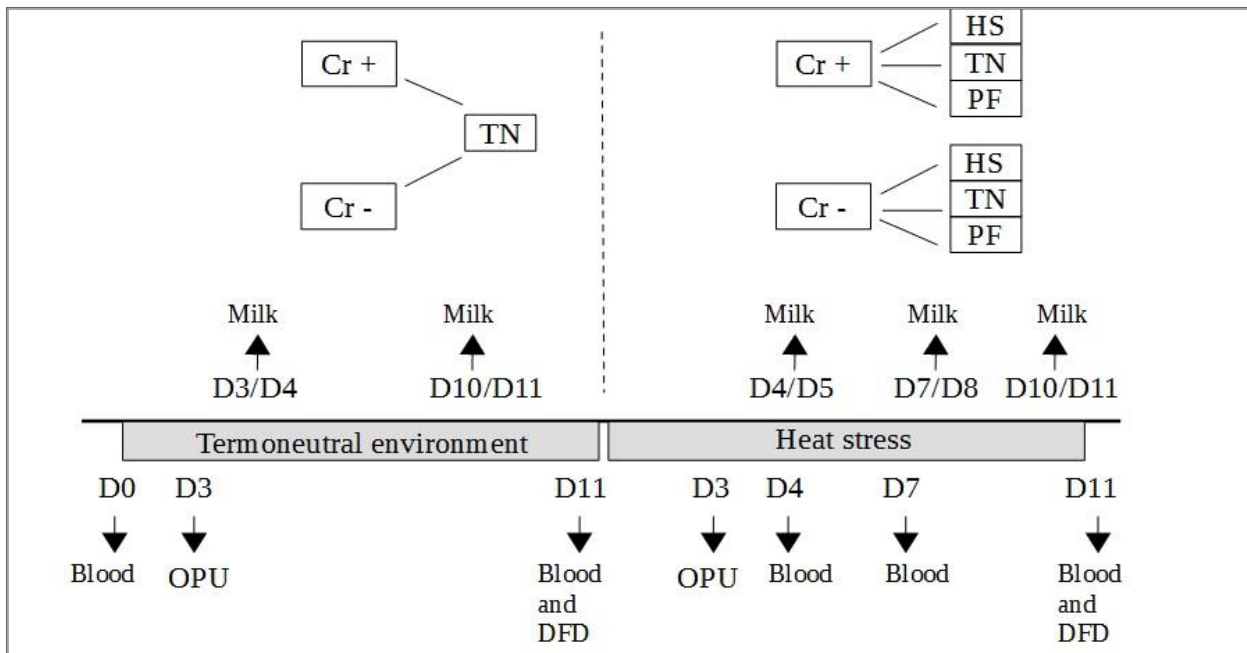
1358 The animals were housed in a free-stall barn equipped with electronic feed
1359 bins (Intergado®, Minas Gerais, Brazil) in a thermoneutral environment. After a diet
1360 adaptation period of 14 days, the cows were randomly allocated to one of two
1361 groups: a control diet or chromium-supplemented diet (0.50 mg Cr/kg DM). Feed
1362 and water were provided *ad libitum* for 11 days.

1363

1364 **Trial 2: Heat stress**

1365 Following the thermoneutral environment period, the cows were divided into
1366 three environmental conditions (EC): heat stress conditions in climatic chamber with
1367 a temperature and average humidity index (THI) of 85 for 8 h per day between
1368 milkings, fed *ad libitum* (HS); thermoneutral environment with an average THI of 68
1369 in a free stall, fed *ad libitum* (TN); and pair-fed group in a thermoneutral
1370 environment with an average THI of 68 in a free stall (PF). Heat stress sets to a THI
1371 of 85 with an air temperature at 34 °C and 60% humidity. These animals were
1372 maintained in this condition for 11 days. The diet offered to pair-fed cows had an
1373 allowance to the average amount consumed by heat-stressed cows on the previous
1374 day. The PF group was used to isolate the effect of DMI reduction in heat-stressed
1375 animals.

1376 The climatic chamber offered a limited capacity in terms of number of animals,
1377 so the trials were carried out in two phases with 18 animals in each to achieve the
1378 necessary amount of data replicates. Thus, we evaluated the effect of chromium
1379 supplementation on three environmental conditions, totaling six contemporaneous
1380 groups with six animals each (Fig. 1).



1381 Figure 1. Scheme for the experimental design of two sequential trials with
 1382 lactating Girolando cows supplemented with chromium. OPU: “ovum pick up”;
 1383 DFD: diameter of the dominant follicle; Cr+: diet with chromium; Cr-: control
 1384 diet; HS: group under heat stress conditions in a climatic chamber; TN: group in
 1385 a thermoneutral environment; PF: pair-fed group in a thermoneutral
 1386 environment.

1389 Animal handling

1390 The feed refusals were measured daily, and DMI was determined (Silva and
 1391 Queiroz 2002). The cows were milked twice daily at 06:00 and 16:00, and milk
 1392 yield (MY) was measured daily. Milk samples were collected weekly during four
 1393 consecutive milkings to determine milk composition (IDF 2000), according to the
 1394 schedule in Fig. 1. Energy-corrected milk was calculated according to Sjaunja et
 1395 al. (1990). According to the schedule shown in Fig. 1, blood samples were
 1396 collected by a coccygeal venipuncture in 5-mL evacuated tubes containing EDTA
 1397 (Vacutainer®, BD, Juiz de Fora, Brazil). Blood samples were centrifuged at 800×g
 1398 for 15 min, and plasma was stored at -20 °C until analysis. Concentrations of
 1399 glucose, urea, and insulin were determined. Glucose was determined by an
 1400 endpoint colorimetric reaction (Glucose Pap Liquiform®, Labtest, Minas Gerais,
 1401 Brazil). Urea was determined by an enzymatic reaction and ultraviolet photometry
 1402 (Ureia UV Liquiform®, Labtest, Minas Gerais, Brazil). The analyses were
 1403 performed using commercial kits with an automatic monochromatic reading system

1404 (Labmax Premium 240®, Labtest Diagnostica, Minas Gerais, Brazil), while the
1405 insulin concentration was determined by radioimmunoassay (RIA) with commercial
1406 kits (Millipore's Porcine Insulin®, Missouri, USA). The insulin sensitivity was 1.611
1407 µU/mL, and the intra-assay coefficients were 12%.

1408 The cows were submitted to ovum pick-up (OPU), and recovery of *cumulus*
1409 oocyte complexes (COC) occurred on the third day of each trial. Synchronization
1410 of follicular wave emergence and oocyte collection was performed by ultrasound-
1411 guided transvaginal follicular aspiration, according to Santos et al. (2018). The
1412 COC were evaluated according to morphological quality and were classified as
1413 viable or nonviable based on the cytoplasmic characteristics of oocytes and the
1414 number of *cumulus* cell layers (Ferreira et al. 2011). The viable oocytes were
1415 transported in 1.5 mL tubes containing TCM 199 Earle's salt solution with 10%
1416 fetal calf serum in an oocyte transporter (WTA®, São Paulo, Brazil) at 37 °C to the
1417 laboratory for *in vitro* maturation. Terminal deoxynucleotidyl transferase-mediated
1418 dUTP nick end labeling (TUNEL) test was performed (Roth and Hansen 2004) to
1419 determine DNA fragmentation. Four days (96 h) after the COC collection, the
1420 major follicle diameter was evaluated by means of two perpendicular
1421 measurements in the axis of the follicle, and they were remeasured after 24 h (120
1422 h after the oocyte collection) to determine the dominant follicle diameter (DFD) and
1423 growth rate (Santos et al. 2018).

1424 The vaginal temperature was measured using data loggers (iButton®,
1425 Whitewater, USA) coupled to the stems of plastic intravaginal devices. The
1426 measurements were taken six times per day: 7:30, 9:00, 12:00, 15:00, 17:00, and
1427 19:00.

1428

1429 **Statistical analysis**

1430 In trial 1, for variables DMI, MY, milk composition, and metabolic
1431 parameters, a mixed linear model ANOVA (PROC MIXED) was applied to evaluate
1432 the effects of diet, day of collection, diet and day of collection interaction, and
1433 random effect of animal and phase (block). The MY of first collection was used as
1434 a covariate for productive parameters. For the variable vaginal temperature, a
1435 mixed linear model was used to evaluate the effects of diet, day of collection, diet
1436 and day of collection interaction, time of day, and random effect of each individual

1437 animal and phase (block). For quantitative reproductive parameters on the effect of
1438 diet and random effects of animal and phase (block), a linear mixed model was
1439 used. Least square means were compared using Tukey's test.

In trial 2, for the variables DMI and MY, milk composition, and metabolic parameters, a mixed linear model was applied to evaluate the effects of diet, EC, diet and EC interaction, diet and day of collection interaction, and random effects of animal and phase (block). The averaged MY of the first trial (thermoneutral environment) was used as a covariate for productive parameters. For vaginal temperature, a mixed linear model was used to evaluate the effects of diet, EC, diet and EC interaction, and EC and time of day interaction, together with a triple interaction of diet, EC and time of day interaction, and random effect of animal and phase (block). For quantitative reproductive parameters on the effect of diet, EC, diet and EC interaction, and random effects on animal and phase (block), a linear mixed model was considered. Least square means were compared using Tukey's test.

Qualitative reproductive parameters (TUNEL assay and oocyte quality results) were analyzed by chi-squared test. A *P*-value equal to or less than 0.05 was considered significant. Statistical analyses were performed using SAS for Windows version 9.2 (SAS Institute Inc., Cary, NC).

Results

Trial 1- Thermoneutral environment

Chromium supplementation had no effect on either production or metabolic parameters (Table 1). DMI and milk urea nitrogen showed daily variation, presenting higher mean values at the end of the trial ($P<0.01$). The plasma concentrations of urea and glucose had a significant effect on the day of collection ($P<0.05$; Table 1), presenting lower mean values on the first day. The plasma concentration of glucose was 62.99 ± 1.36 mg/dL at the first collection, while in the second collection, it was 66.71 ± 0.86 mg/dL. The plasma urea concentration ranged from 19.59 ± 0.90 to 21.53 ± 0.65 mg/dL in the first and second collections, respectively. Moreover, the plasma urea concentration was significantly affected by the diet and day of collection interaction ($P<0.01$). In the

1470 first collection, cows fed the control diet had lower plasma urea concentrations
1471 than cows supplemented with chromium (17.52 ± 1.34 vs. 21.66 ± 1.21 mg/dL),
1472 and for cows fed the control diet, there was a significant increase between
1473 collections, as there was a higher value in the second collection (21.91 ± 0.90
1474 mg/dL). However, supplemented cows were unaffected by days of collection.

1475 The number of viable oocytes was unaffected by the diet offered (Table 2).
1476 The cows supplemented with chromium had a higher percentage of TUNEL-
1477 positive oocytes than those fed the control diet (59.38% vs. 40.62%). No
1478 significant difference was observed in the follicular population, and there was a
1479 mean of 15.21 ± 0.55 follicles.

1480 The vaginal temperature (VT) was not significantly affected by the diet
1481 offered or on the day of collection or the interaction between the two ($P>0.05$),
1482 but there was variability based on the time of day when data was collected
1483 ($P<0.01$). The VT increased during the day, with no difference between the
1484 means for the first hours; there were higher values at 15:00, and they
1485 subsequently decreased (38.52 ± 0.20 , 38.78 ± 0.21 , 38.66 ± 0.19 , 39.28 ± 0.19 ,
1486 39.25 ± 0.19 , and 38.95 ± 0.19 °C at 7:30, 9:00, 12:00, 15:00, 17:00, and 19:00,
1487 respectively).

1488

1489

1490

1491

1492

1493

1494

1495

1496

1497

1498

1499

1500

1501

1502

1503 Table 1. Effect of chromium supplementation on dry matter intake, milk yield, milk
 1504 composition and metabolic parameters of Girolando cows in a Trial 1
 1505 (Thermoneutral environment).

	Diet			P-value		
	Cr+	Cr-	SEM	Diet	Day of collection	Diet*Day of collection
Production parameters						
DMI (kg)	19.35	19.22	0.14	0.35	< 0.01	0.10
MY (kg)	20.88	20.50	1.06	0.44	0.56	0.88
ECM (kg)	21.44	22.10	0.94	0.52	0.49	0.50
Fat in milk (%)	4.31	4.36	0.14	0.96	0.94	0.26
Protein in milk (%)	3.30	3.39	0.06	0.23	0.14	0.88
Lactose in milk (%)	4.61	4.53	0.03	0.73	0.71	0.46
Milk urea nitrogen (mg/dL)	9.57	9.09	0.47	0.97	< 0.01	0.51
Metabolic parameters						
Urea (mg/dL)	21.41	19.71	1.28	0.19	0.04	< 0.01
Insulin (μ U/mL)	17.08	19.68	2.05	0.21	0.39	0.21
Glucose (mg/dL)	64.78	64.92	1.66	0.94	0.02	0.63
Insulin: Glucose	0.27	0.31	0.03	0.18	0.10	0.17

1506 Cr+: diet with chromium; Cr-: control diet; SEM: standard error of mean; DMI: dry
 1507 matter intake; MY: milk yield; ECM: energy corrected milk. Values of *P* in boldface
 1508 indicate a significant difference (*P*<0.05).
 1509

1510 Table 2. Effect of chromium supplementation on reproductive parameters of
 1511 Girolando cows in a Trial 1 (Thermoneutral environment).

	Diet			P-value	
	Cr+	Cr-	SEM	Diet	
DF growth rate (mm/day)	1.28	1.45	0.96	0.62	
DDF (mm)	10.88	11.04	1.90	0.80	
Number of viable oocytes	4.9	6.1	0.82	0.15	

1512 Cr+: diet with chromium; Cr-: control diet; SEM: standard error of the mean; DF:
 1513 dominant follicle; DDF: diameter of dominant follicle.
 1514
 1515

Trial 2- Heat stress

Supplementary chromium had no effect on either production or metabolic parameters (Table 3). The DMI and milk urea nitrogen had an effect of days of collection ($P<0.01$; Table 3), presenting higher values at the beginning and end of trial. Fat in milk was significantly affected by diet and EC interaction ($P=0.01$; Table 3). For supplemented cows, HS cows had a higher percentage of fat in milk than cows in the PF group ($5.04 \pm 0.01\%$ vs. $5.00 \pm 0.01\%$). Comparing PF groups among diets, supplemented cows had a lower percentage of fat in milk than those receiving the control diet ($5.00 \pm 0.01\%$ vs. $5.04 \pm 0.01\%$).

The plasma urea concentration was affected by EC ($P=0.01$; Table 3). Cows in the HS group had lower urea plasma concentration than those in the PF group (21.47 ± 0.98 vs. 25.75 ± 0.98 mg/dL). All evaluated metabolic parameters were affected by the day of collection ($P<0.05$; Table 3). Plasma glucose and insulin:glucose ratio were significantly affected by the diet and EC interaction ($P<0.05$; Table 3). The cows maintained in HS conditions and supplemented with chromium had lower plasma glucose concentration than those fed the control diet under the same stress conditions (61.17 ± 1.90 vs. 67.11 ± 1.90 mg/dL) (Fig. 2a), and the chromium group had higher insulin:glucose ratio (0.39 ± 0.04 vs. 0.27 ± 0.04). Moreover, supplemented cows in HS conditions had higher insulin:glucose ratio than the other supplemented cows (0.39 ± 0.04 , 0.23 ± 0.04 , and 0.23 ± 0.04 for HS, TN, and PF, respectively) (Fig. 2b). Plasma insulin and the insulin:glucose ratio were significantly affected by the diet and day of collection interaction ($P<0.05$; Table 3). Supplemented cows had no difference in plasma insulin concentration among days of collection (16.16 ± 1.78 , 17.92 ± 1.78 , and 19.69 ± 1.78 for first, second, and third collection, respectively). However, cows fed the control diet had higher plasma insulin concentration at the second collection (16.34 ± 1.78 , 22.09 ± 1.78 , and 15.98 ± 1.78 for the first, second, and third collection, respectively). This same effect was observed for the insulin:glucose ratio.

Reproductive parameters were unaffected by treatments in trial 2 (Table 4). The follicular population mean was 14.62 ± 0.55 follicles. Additionally, no significant difference was observed in the TUNEL test results.

The VT was affected by EC, diet and EC interaction, and EC and time of day interaction ($P<0.05$) and varied with the time of day ($P<0.01$). Overall, cows in

1549 the HS group had higher mean VT at 12:00 and 15:00 ($P<0.05$) than TN and PF
 1550 groups. Figure 3 shows the effect of HS in cows not given chromium.
 1551 Supplemented cows had no difference between EC. However, cows fed the
 1552 control diet in the HS condition had higher mean VT (39.40 ± 0.10 °C) than those
 1553 in the TN and PF (38.90 ± 0.10 °C and 38.85 ± 0.11 °C, respectively).
 1554 Supplemented cows under the HS condition had lower VT at 19:00 than the cows
 1555 fed control diet in same stress condition ($P<0.05$).
 1556

1557 Table 3. Dry matter intake, milk yield, milk composition and metabolic parameters
 1558 of Girolando cows in a Trial 2 (Heat stress).

	Diet			P-value				
	Cr+	Cr-	SEM	Diet	EC	Day of collection	Diet*EC	Diet*Day of collection
Production parameters								
DMI (kg)	18.47	18.16	0.22	0.15	0.08	< 0.01	0.29	0.16
MY (kg)	21.95	20.85	1.32	0.41	0.31	0.86	0.78	0.96
ECM (kg)	23.89	23.04	1.23	0.49	0.16	0.76	0.31	0.45
Fat in milk (%)	5.02	5.02	0.01	0.94	0.42	0.62	0.01	0.23
Protein in milk (%)	3.75	3.75	0.00	0.21	0.63	0.73	0.25	0.66
Lactose in milk (%)	4.49	4.49	0.00	0.84	0.08	0.05	0.43	0.97
Milk urea nitrogen (mg/dL)	10.31	10.32	0.01	0.57	0.10	< 0.01	0.10	0.75
Metabolic parameters								
Urea (mg/dL)	23.44	24.17	1.14	0.53	0.01	0.01	0.06	0.18
Insulin (μU/mL)	17.93	18.14	2.08	0.92	0.16	0.01	0.20	< 0.01
Glucose (mg/dL)	64.72	64.39	1.55	0.83	0.88	< 0.01	0.02	0.21
Insulin: Glucose	0.28	0.28	0.03	0.99	0.10	0.04	0.04	0.01

1559 Cr+: diet with chromium; Cr-: control diet; SEM: standard error of mean; DMI: dry
 1560 matter intake; MY: milk yield; ECM: energy-corrected milk; EC: environmental
 1561 conditions. Values of P in boldface indicate a significant difference ($P<0.05$).
 1562

1563

1564

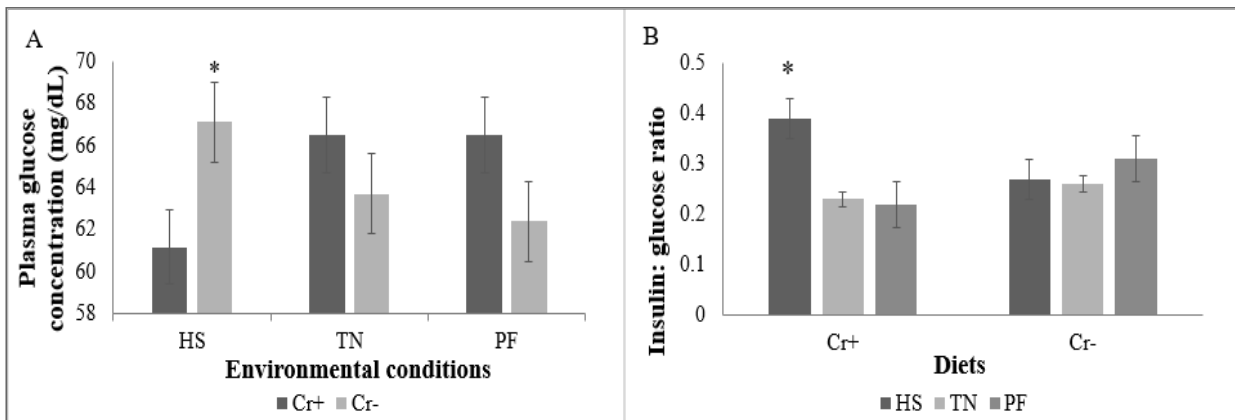
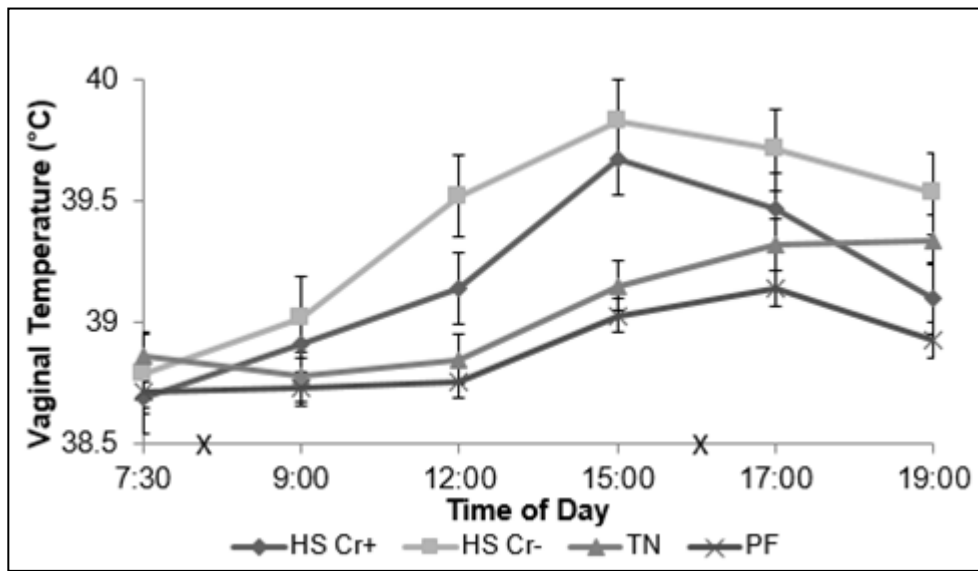


Figure 2. Variation of the metabolic parameters of lactating Girolando cows supplemented with chromium under heat stress conditions. A: Plasma glucose concentration (mg/dL) of lactating Girolando cows supplemented with chromium under heat stress conditions. B: Insulin:glucose ratio of lactating Girolando cows supplemented with chromium under heat stress conditions. Cr+: diet with chromium; Cr-: control diet; HS: group under heat stress conditions in a climatic chamber; TN: group in a thermoneutral environment; PF: pair-fed group in a thermoneutral environment. (*) indicate a significant difference ($P<0.05$).

Table 4. Reproductive parameters of Girolando cows in a Trial 2 (Heat stress).

	Diet			P-value		
	Cr+	Cr-	SEM	Diet	EC	Diet*EC
DF growth rate (mm/day)	1.77	1.86	1.05	0.82	0.07	0.42
DDF (mm)	11.23	11.51	1.97	0.71	0.43	0.06
Number of viable oocytes	3.2	3.4	0.68	0.84	0.67	0.85

Cr+: diet with chromium; Cr-: control diet; SEM: standard error of the mean; DF: dominant follicle; DDF: diameter of the dominant follicle; EC: environmental conditions.



1588
1589 Figure 3. Variation in the vaginal temperature according to times of day of lactating
1590 Girolando cows supplemented with chromium under heat stress conditions. Cr+:
1591 diet with chromium; Cr-: control diet; HS: group under heat stress conditions in a
1592 climatic chamber; TN: group in a thermoneutral environment; PF: pair-fed group in
1593 a thermoneutral environment. (X) in axis show when heat stress began and ended.
1594
1595

1596 Discussion

1597
1598 In a thermoneutral environment, there were no observed effects of
1599 supplementation with chromium on DMI, MY, or milk composition. The DMI
1600 increased over ensuing days of lactation, and milk urea nitrogen followed this
1601 increase, which was possibly due to a higher intake of crude protein. The plasma
1602 concentrations of glucose and urea were higher in the second collection, which
1603 was also due to a higher DMI (Doska et al. 2012; Henao-Velásquez et al. 2014).
1604 In the first collection, supplemented cows had higher plasma urea concentrations
1605 than cows fed the control diet. Targhibi et al. (2011) and Mousavi et al. (2019)
1606 observed no difference in this variable on dairy cows and dairy calves,
1607 respectively. However, Kegley et al. (2000) also observed increased serum urea
1608 concentrations in beef steers supplemented with chromium.

1609 In the heat stress period, the effect of diet or EC on DMI, MY, and milk
1610 composition was not observed. DMI did not decrease with the induction of heat
1611 stress under these experimental conditions. In European herds of dairy cows, THI
1612 values above 72 are indicators of heat stress, and values above 89 indicate

severe heat stress (Armstrong 1994). Based on rectal temperature and respiratory rate values, a higher critical THI value of 77 was estimated for ¾ Holstein × Zebu, and considering the surface temperature, a higher critical THI value is 79 (Azevedo et al. 2005). Thus, it is possible that cows recovered overnight when a thermoneutral environment was maintained (THI 68) or even that THI 85 for 8 h daily was not sufficient to cause stress to the point of reducing intake and altering milk yield. Thus, no difference was observed in DMI between groups, including the PF group.

The cows maintained in HS conditions and supplemented with chromium had lower plasma glucose concentrations and higher insulin:glucose ratio than cows fed the control diet under the same stress conditions. It is observed that cows under heat stress conditions present higher peripheral glucose metabolism, which is a strategy for increasing heat dissipation in peripheral tissues (Rhoads et al. 2009). When in the presence of chromium in a physiologically active form, the insulin concentrations required for normal glucose metabolism are lower because chromium improves insulin efficiency in promoting glucose uptake by cells (Kafilzadeh et al. 2012; Condé et al. 2014). The cows supplemented with chromium had use of glucose optimized, which reduced plasma concentrations of glucose. Thus, even though the plasma concentration of insulin was not altered by diet, the cells improved glucose utilization. In this study, cows in the PF group supplemented with chromium had lower fat in milk than those fed the control diet under the same conditions. It is possible that the chromium supplementation allowed for better glucose utilization, maintaining insulin sensitivity and its antilipolytic characteristics, and reducing mobilization of nonesterified fatty acid (Bauman and Currie 1980), which is a significant source of energy as well as a precursor in the synthesis of milk fat. A significant increase in plasma insulin concentrations was observed between collection days at cows fed the control diet, whereas in the group of supplemented cows, there was no variation between days of collection. It is possible that optimizing the use of glucose by chromium allows for a lower variation of plasma insulin concentration.

No reproductive parameters studied were significantly affected by the EC and diet interaction. Apoptosis is a mechanism of cellular quality control that can be stimulated by heat stress to eliminate damaged, nonfunctional, or abnormal

1646 cells. Apoptosis may be involved in reducing oocyte competence in situations of
1647 heat stress (Roth and Hansen 2004). It is possible that the acute heat stress
1648 imposed on Girolando cows was not sufficient to cause damage to oocytes, or
1649 that these animals were efficient enough for thermoregulation to protect the
1650 quality of oocytes. In the literature, there is scarce information on critical THI
1651 levels for crossbred cows (Azevedo et al. 2005; Fialho et al. 2018).

1652 The cows fed the control diet under heat stress had a higher VT than the TN
1653 and PF groups. However, supplemented cows did not present differences
1654 between groups. This shows that supplemented cows had an improved ability to
1655 control body temperature under heat stress owing to a better peripheral glucose
1656 metabolism, allowing for greater heat dissipation in peripheral tissues (Rhoads et
1657 al. 2009, 2013). Furthermore, cows supplemented with chromium and kept in a
1658 climatic chamber had a lower VT at 19:00, showing that they had higher
1659 efficiency in heat loss after leaving the climatic chamber.

1660 In conclusion, chromium supplementation improves glucose metabolism
1661 and prevents body temperature increases under heat stress conditions.
1662

1663 **Acknowledgments.** The authors thank the Universidade Federal Fluminense,
1664 Embrapa Gado de Leite, Fundação de Amparo à Pesquisa de Minas Gerais
1665 (FAPEMIG), and Fundação de Amparo à Pesquisa do Estado do Rio de Janeiro
1666 (FAPERJ).

1667 **Funding information.** This study was financed in part by the Coordenação de
1668 Aperfeiçoamento de Pessoal de Nível Superior - Brasil (CAPES) – Finance Code
1669 001.
1670

1671 **Compliance with ethical standards.** The study has been approved by the
1672 Comitê de Ética em Uso de Animais of Embrapa Gado de Leite (Protocol
1673 07/2015), Brazil, and it follows the ethical principles of Conselho Nacional de
1674 Controle de Experimentação Animal.
1675

1676 **Conflict of interest.** The authors declare that they have no conflict of interest.
1677

1679

References

1680

- 1681 Alhidary, I. A.; Alsofi, M. A.; Abdoun, K. A.; Samara, E. M.; Okab, A. B.; Al-Haidary,
1682 A. A., 2018. Influence of dietary chromium yeast supplementation on apparent trace
1683 elements metabolism in growing camel (*Camelus dromedarius*) reared under hot
1684 summer conditions, Tropical Animal and Health Production, 50, 519-524
- 1685 Armstrong, D. 1994. Heat stress interaction with shade and cooling, Journal of
1686 Dairy Science, v. 77, n. 7, p. 2044-2050
- 1688 Aschenbach, J. R.; Kristensen, N. B.; Donkin, S. S.; Hammon, H. M.; Penner, G. B.,
1689 2010. Gluconeogenesis in dairy cows: The secret of making sweet milk from
1691 sourdough, IUBMB Life, 62, 12, 869-877
- 1692 Azevedo, M.; Pires, M. F. A.; Saturnino, H. M. et al. 2005. Estimativa de níveis
1693 críticos superiores do índice de temperatura e umidade para vacas leiteiras 1/2, 3/4
1694 e 7/8 Holandês-Zebu em lactação, Revista Brasileira de Zootecnia, 34, 6, 2000–
1696 2008
- 1697 Bauman, D. E., Currie, W. B., 1980. Partitioning of nutrients during pregnancy and
1698 lactation: a review of mechanisms involving homeostasis and homeorhesis, Journal
1700 of Dairy Science, 63, 514–1529
- 1701 Baumgard, L. H., Keating, P. A., Ross, J. W., Rhoads, R. P., 2015. Effects of heat
1702 stress on the immune system, metabolism and nutrient partitioning: implications on
1703 reproductive success, Revista Brasileira de Reprodução Animal, 39, 1, 173–183
- 1705 Baumgard, L. H., and Rhoads, R. P., 2012. Ruminant Nutrition Symposium:
1706 ruminant production and metabolic responses to heat stress, Journal of Animal
1708 Science, 90, 1855–1865
- 1709 Baumgard, L. H., Wheelock, J. B., Sanders, S. R., Moore, C. E., Green, H. B.,
1711 Waldron, M. R., and Rhoads, R. P., 2011. Postabsorptive carbohydrate adaptations
1712 to heat stress and monensin supplementation in lactating Holstein cows, Journal of
1713 Dairy Science, 94, 5620–5633
- 1714 Bernabucci, U., Basiricò, L., Morera, P., Dipasquale, D., Vitali, A., Cappelli, F. P.,
1715 and Calamari, L., 2015. Effect of summer season on milk protein fractions in
1716 Holstein cows, Journal of Dairy Science, 98, 1815–1824
- 1718 Canaza-Cayo, A. W., Lopes, P. S., Silva, M. V. G. B., Cobuci, J. A., Torres, R. A.,
1719 Martins, M. F., and Arbex, W. A., 2014. Estrutura populacional da raça Girolando,
1720 Ciência Rural, 44, 11, 2072–2077
- 1722 Condé, M. S., Pena, S. M., Rocha Júnior, C. M., Homem, B. G. C., Demartini, G. P.,
1723 and Silva, A. B., 2014. Minerais quelatados na nutrição de suínos, Revista
1724 Eletrônica Nutritime, 11, 4, 3547–3565
- 1726

- 1727 Doska, M. C., Silva, D. F. F., Horst, J. A., Valloto, A. A., Junior, P. R., Almeida, R.,
 1728 2012. Sources of variation in milk urea nitrogen in Paraná dairy cows, *Revista*
 1729 *Brasileira de Zootecnia*, 41,692–697
- 1730
 1731 Edmonson, A. J., Lean, I. J., Weaver, L. D., Farver, T. and Webster, G., 1989. Body
 1732 condition scoring chart of Holstein dairy cows, *Journal of Dairy Science*, 72, 68–78
- 1733
 1734 Ferreira, R. M., Ayres, H., Chiaratti, M. R., Ferraz, M. L., Araújo, A. B., Rodrigues,
 1735 C. A., Watanabe, Y. F., Vireque, A. A., Joaquim, D. C., Smith, L. C., Meirelles, F.
 1736 V., and Baruselli, P. S. 2011. The low fertility of repeat-breeder cows during
 1737 summer heat stress is related to a low oocyte competence to develop into
 1738 blastocysts, *Journal of Dairy Science*, 94, 2383–2392
- 1739
 1740 Fialho, A. L. L.; Souza-Cáceres, M. B.; Silva, W. A. L.; Arruda, E. D. S.; Kischel, H.;
 1741 Ribeiro-Ferreira, M. G. C.; Medeiros, C. F.; Silva, J. R.; Oliveira, M. V. M.; Ferraz,
 1742 A. L. J.; Melo-Sterza, F. A., 2018. Efeito do estresse calórico agudo e crônico sobre
 1743 a qualidade oocitária de bovinos de raças adaptadas, *Arquivo Brasileiro de*
 1744 *Medicina Veterinária e Zootecnia*, 70, 64-72
- 1745
 1746 Garner, J. B., Douglas, M., Williams, R. S. O., Wales, W. J., Nguyen, T. T. T., and
 1747 Hayes, B. J., 2016. Genomic selection improves heat tolerance in dairy cattle,
 1748 *Nature Scientific Report*, 6, 1–8
- 1749
 1750 Henao-Velásquez, A. F., O. D. Múnera-Bedoya, A. C. Herrera, J. H. Agudelo-
 1751 Trujillo, M. F. Cerón-Muñoz., 2014. Lactose and milk urea nitrogen: fluctuations
 1752 during lactation in Holstein cows, *Revista Brasileira de Zootecnia*, 43, 479–484
- 1753
 1754 International Dairy Federation – IDF, 2000. Inventory of IDF/ISO/AOAC.
 1755 International Adopted Methods of Analysis and Sampling for Milk and Milk
 1756 Products. 6th ed., Brussels, Belgium. 350p
- 1757
 1758 Kafilzadeh, F., Shabankareh, H. K., and Targhibi, M. R., 2012. Effect of chromium
 1759 supplementation on productive and reproductive performances and some metabolic
 1760 parameters in late gestation and early lactation of dairy cows, *Biology Trace*
 1761 *Element Research*, 149, 42–49
- 1762
 1763 Kegley E. B.; Galloway, D. L.; Fakler, T. M., 2000. Effect of dietary chromium –L-
 1764 methionine on glucose metabolism of beef steers, *Journal of Animal Science*, 78,
 1765 3177-3183
- 1766
 1767 Liu, F.; Cottrell, J. J.; Collins, C. L.; Henman, D. J.; O'Halloran, K. S. B.; Dunshea,
 1768 F. R., 2017. Supplementation of selenium, vitamin E, chromium and betaine above
 1769 recommended levels improves lactating performance of sows over summer,
 1770 *Tropical Animal and Health Production*, 49, 1461-1469
- 1771
 1772 Mousavi, F.; Karimi-Dehkordi, S.; Kargar, S.; Khosravi-Bakhtiari, M., 2019. Effects
 1773 of dietary chromium supplementation on calf performance, metabolic hormones,
 1774 oxidative status, and susceptibility to diarrhea and pneumonia, *Animal Feed*
 1775 *Science and Technology*, 248, 95-105

- 1776 Nikkhah, A., Mirzaei, M., Khorvash, M., Rahmani, H. R., and Ghorbani, G. R., 2011.
1777 Chromium improves production and alters metabolism of early lactation cows in
1778 summer, *Journal of Animal Physiology and Animal Nutrition*, 95, 81–89
1779
- 1780 National Research Council (NRC). 2001. Nutrient Requirements of Dairy Cattle:
1781 Seventh Revised Edition, 2001. Washington, DC: The National Academies
1782
- 1783 Rhoads, M. L., Rhoads, R. P., Van Baale, M. J., Collier, R. J., Sanders, S. R.,
1784 Shwartz, W. J., and Baumgard, L. H., 2009. Effects of heat stress and plane of
1785 nutrition on lactating Holstein cows: I. Production, metabolism, and aspects of
1786 circulating somatotropin, *Journal of Dairy Science*, 92, 1986–1997
1787
- 1788 Rhoads, R. P., Baumgard, L. H., Suagee, J. K., and Sanders, S. R., 2013.
1789 Nutritional Interventions to Alleviate the Negative Consequences of Heat Stress,
1790 *Advances Nutrition*, 4, 267–276
1791
- 1792 Ríus, A. G., 2019. INVITED REVIEW: Adaptations of protein and amino acid
1793 metabolism to heat stress in dairy cows and other livestock species, *Applied Animal
1794 Science*, 35, 39-48
1795
- 1796 Roth Z., 2017. Effect of Heat Stress on Reproduction in Dairy Cows: Insights into
1797 the Cellular and Molecular Responses of the Oocyte, *Annual Review of Animal
1798 Bioscience*, 5, 151–170
1799
- 1800 Roth, Z., and Hansen, P. J., 2004. Involvement of apoptosis in disruption of
1801 developmental competence of bovine oocytes by heat shock during maturation,
1802 *Biology of Reproduction*, 71, 1898–1906
1803
- 1804 Santos, G. B., Brandão, F. Z., Ribeiro, L. S., Arashiro, E. K. N., Grazia, J. G. V.,
1805 Camargo, L. S. A., Machado, F. S., Varago, F. C., Otto, P. I., Carvalho, B. C.,
1806 2018. Metabolic, follicular and embryo production responses of postpartum
1807 crossbred Holstein × Gir dairy cows fed diets with different energy levels, *Animal
1808 Production Science*, v. 59, p. 1446-1453
1809
- 1810 Silva, J. S., and Queiroz, A. C., 2002. Análise de alimentos: métodos químicos e
1811 biológicos. 3ed. Viçosa: Universidade Federal de Viçosa. 235p
1812
- 1813 Sjaunja, L. O., Baevre, L., Junkkarinen, L., Pedersen, J., Setala, J., 1990. A Nordic
1814 proposal for an energy corrected milk (ECM) formula. JCAR, 27th session, July 2–
1815 6, Paris, France, (EAAP Publication No 50, 1991), 156–157
1816
- 1817 Tao, S., Orellana, R. M., Weng, X., Marins, T. N., Dahl, G. E., and Bernard, J. K.,
1818 2018. Symposium review: The influences of heat stress on bovine mammary gland
1819 function. *Journal of Dairy Science*, 101, 5642–5654
1820
- 1821 Targhibi, M. R.; Kafilzadeh, F.; Karami Shabankareh, H., 2011. Chromium
1822 supplementation effects on serum nitrogen constituents of dairy cows in late
1823 gestation and early lactation, *Euphrates Journal of Agriculture Science*, 3:239–242
1824

7. CAPÍTULO 2

1825

1820

1820

1830

1831

1832

1833 Chromium supplementation modulates glucose metabolism in heat-stressed
1834 Girolando dairy cows

1834 Girolando dairy cows

1835

1836 *Suplementação com cromo modula o metabolismo de glicose de vacas Girolando*
1837 *sob estresse térmico pelo calor*

1838

1839

1840

1841

- 12 -

1845

1916

1847

1848

1849

1850

1851

1852

1855

1256

Artigo publicado no periódico: Semina: Ciências Agrárias

Aceito em: Abril de 2020; DOI:

Qualis: B1 – Medicina Veterinária

- 1858 Chromium supplementation modulates glucose metabolism in heat-stressed
1859 Girolando dairy cows
- 1860
- 1861 *Lilian dos Santos Ribeiro¹**; *Felipe Zandonadi Brandão²*; *Luciano de Rezende*
1862 *Carvalheira³*; *Diana Rangel de Lemos⁴*; *Gustavo Torres de Souza⁵*; *Ribrio Ivan*
1863 *Tavares Pereira Batista⁶*; *Luiz Sérgio de Almeida Camargo⁷*; *Bruno Campos de*
1864 *Carvalho⁷*
- 1865
- 1866 ¹ Discente do Curso de Doutorado do Programa de Pós-Graduação em Medicina
1867 Veterinária, Faculdade de Veterinária, Universidade Federal Fluminense, UFF,
1868 Niterói, RJ, Brasil. E-mail: lilianribeiro91@hotmail.com
- 1869 ² Prof. Dr., Faculdade de Veterinária, Universidade Federal Fluminense, UFF, Niterói,
1870 RJ, Brasil. E-mail: fzbrandao@id.uff.br
- 1871 ³ Discente do Curso de Doutorado do Programa de Pós-Graduação em Ciência
1872 Animal, Escola de Veterinária, Universidade Federal de Minas Gerais, UFMG, Belo
1873 Horizonte, MG, Brasil. E-mail: lrcarvalheira@gmail.com
- 1874 ⁴ Discente do Curso de Mestrado do Programa de Pós-Graduação em Medicina
1875 Veterinária, Departamento de Veterinária, Universidade Federal de Viçosa, UFV,
1876 Viçosa, MG, Brasil. E-mail: dianalemosvet@gmail.com
- 1877 ⁵ Discente do Curso de Doutorado do Programa de Pós-Graduação em Ciências
1878 Biológicas, Instituto de Ciências Biológicas, Universidade Federal de Juiz de Fora,
1879 UFJF, Juiz de Fora, MG, Brasil. E-mail: gustavotsouza@hotmail.com
- 1880 ⁶ Pesquisador de Pós-Doutorado do Programa de Pós-Graduação em Medicina
1881 Veterinária, Faculdade de Veterinária, Universidade Federal Fluminense, UFF,
1882 Niterói, RJ, Brasil. E-mail: ribrio@yahoo.com.br
- 1883 ⁷ Pesquisadores, Empresa Brasileira de Pesquisa Agropecuária, EMBRAPA Gado de
1884 Leite, Juiz de Fora, MG, Brasil. E-mail: luiz.camargo@embrapa.br;
1885 bruno.carvalho@embrapa.br
- 1886 * Author for correspondence
- 1887
- 1888
- 1889
- 1890
- 1891

1892 **Abstract.** The objective of this study was to evaluate the effects of dietary chromium
1893 supplementation on hepatic gene expression of lactating Girolando (Holstein x Gyr)
1894 cows under heat stress conditions in climatic chamber. Thirty-six ¾ Holstein x Gyr
1895 lactating cows were used, based on a 2x3 factorial scheme, to evaluate the effects of
1896 two diets (0 vs 0.50 mg of organic chromium kg⁻¹ dry matter) and three
1897 environmental conditions (ECs): heat stress conditions in climatic chamber with *ad*
1898 *libitum* feeding (HS), a thermoneutral environment with *ad libitum* feeding (TN), and a
1899 pair-fed group in a thermoneutral environment (PF). Under HS group, the expression
1900 levels of glucose transporter 2 (GLUT2), glucose-6-phosphatase (G6Pase), and
1901 growth hormone receptor (rGH) were downregulated ($P < 0.05$) in chromium-
1902 supplemented cows compared to those in cows fed the control diet. GLUT2
1903 expression was upregulated ($P = 0.02$) in the HS group and insulin-like growth factor
1904 1 (IGF1) was downregulated ($P < 0.01$) in the PF group in cows fed the control diet
1905 compared to the expression in the TN group. No differences were observed between
1906 the ECs in terms of relative abundances of GLUT2, phosphoenolpyruvate
1907 carboxykinase (PEPCK), G6Pase, rGH, and IGF1 transcripts among the chromium-
1908 supplemented cows ($P > 0.05$). Heat stress caused changes in the expression of
1909 genes related to glucose metabolism, and organic chromium could modulate glucose
1910 metabolism in animals under heat stress conditions to some extent.
1911

1912 **Keywords:** Crossbred cows. Dairy cattle. Glucose metabolism. Liver biopsy.
1913
1914
1915
1916
1917
1918
1919
1920
1921
1922

The present study was conducted at the José Henrique Bruschi experimental field of Embrapa Gado de Leite, located in Coronel Pacheco, Minas Gerais, Brazil. The study has been approved by the Comitê de Ética em Uso de Animais of Embrapa Gado de Leite (Protocol 07/2015) and follows the ethical principles of the National Council for Animal Experimentation Control. Thirty-six ¾ Holstein x Gyr cows that averaged 71.3 ± 15.3 days in milk, 509 ± 61 kg in body weight, body condition scores of 3.5 ± 0.2 (Edmonson, Lean, Weaver, Farver, & Webster, 1989) at the beginning of the trial, 21.4 ± 3.6 kg in milk production, and 19.2 ± 2.4 kg in dry matter intake were used in the trial. The diet was based on corn silage, ground corn, soybean meal, and a mineral mixture supplemented (or not) with chromium tripicolinate (TecNutri, Montes Claros, Brazil) offered in a total mixed ration (42 % dry matter and 12.39 % CP, 33.44 % NDF, 0.57 % Ca, 0.46 % P and 1.71 Mcal kg⁻¹ net energy based on dry matter), according to the nutritional requirements for cows producing 25 kg of milk day⁻¹ (NRC, 2001); water was provided *ad libitum*.

After a seven-day adaptation period to the installations, the cows were randomly allocated to the two diet groups in which the two diets, namely control and organic chromium supplementation (0.50 mg Cr kg⁻¹ dry matter) (Sadri et al., 2009), were offered *ad libitum* in a thermoneutral environment for 25 days. Subsequently, the cows were divided into three environmental condition (EC) groups: heat stress in a climatic chamber with a temperature and humidity index (THI) of 85 with an eight-hour gap between milkings and *ad libitum* feeding (HS); a thermoneutral environment with a THI of 68 in a free stall fed *ad libitum* (TN); and a pair-fed group in a thermoneutral environment with a THI of 68 in a free stall (PF). Thus, the effect of chromium supplementation under three environmental conditions could be evaluated, totaling six contemporaneous groups comprising six animals each. The climatic chamber could hold six animals, which were kept in individual stalls with access to the diet and water *ad libitum*. The chamber was set to THI 85, with a temperature of 34 °C and 60 % humidity. The HS group was maintained under these conditions for 11 days of the trial. The diet offered to the PF cows was adjusted daily according to the intake of the heat-stressed cows on the previous day. The PF group was used to isolate the effect of DMI reduction in heat-stressed animals. As the capacity of climatic chamber is only hold six animals at a time, the

1988 trial was conducted in two phases with 18 animals per phase to achieve the
1989 necessary number of repetitions.

1990 Hepatic tissue samples were collected through blind percutaneous needle
1991 biopsies (Tru-Cut semi-automatic biopsy needle, ProMedical, Juiz de Fora, Minas
1992 Gerais, Brazil) under local anesthesia with 5 mL of 2 % lidocaine, at a point
1993 corresponding to the topographic position of the right lobe of the liver. Tissues were
1994 packed into microtubes (free of RNase and DNase) with 100 µL of RNA Later
1995 (Ambion®), according to the manufacturer's recommendations. Samples were kept
1996 refrigerated overnight, after which the excess RNA Later was drained and samples
1997 were stored in a freezer at -80 °C.

1998 Glucose transporter 2 (GLUT2), phosphoenolpyruvate carboxykinase
1999 (PEPCK), glucose-6-phosphatase (G6Pase), growth hormone receptor (rGH) and
2000 transcripts of insulin-like growth factor 1 (IGF1) were used as calibrators to
2001 compare metabolic status across treatments as they are indicators of the
2002 abundance of mRNA encoding hepatic glucose metabolism. Total RNA was
2003 extracted using TRIzol™ Reagent (Invitrogen) at a rate of 1 mL per 100 mg of
2004 tissue. Tissues were ground (tissue + TRIzolTM Reagent) with T 10 basic ULTRA-
2005 TURRAX® (IKA) until complete dissociation. Subsequently, 100 µL of chloroform
2006 was added and the mixture was homogenized and incubated for three minutes. The
2007 samples were then centrifuged for 15 minutes at 12000 rpm/ 4 °C. The liquid phase
2008 was collected and transferred to a clean tube, after which 500 µL isopropanol was
2009 added to each tube to be incubated for 10 minutes. Samples were homogenized by
2010 inversion and were then centrifuged for 10 minutes at 12000 rpm/ 4 °C. The supernatant
2011 was discarded, and the precipitate was washed in 1 mL of 75 %
2012 ethanol. The material was centrifuged again at 7500 rpm for five minutes, and the
2013 supernatant was discarded. The pellet was dried for five minutes and was then
2014 suspended in 50 µL RNase-free ultrapure water. The total RNA concentration was
2015 measured using a ND-100 spectrophotometer (NanoDrop Products). The integrity
2016 of the RNA was evaluated by agarose gel electrophoresis.

2017 Afterwards, reverse transcription was performed using Superscript III kits
2018 (Invitrogen), according to the manufacturer's recommendations. Relative
2019 quantification by real-time qPCR was performed in triplicate using a commercially
2020 available SYBR green. Reactions (20 µL) were prepared according to the

2021 manufacturer's instructions using SYBR green kits (Power Up SYBR Green; Invitrogen), 3.3 ng cDNA, nuclease-free water, and specific primers for each
2022 reaction. Primers for the following genes were designed: GLUT2 (accession
2023 number: NM_001103222.1; forward: 5'-ACAAGCCTGGGAGATCCAAC-3'; reverse:
2024 5'-CCCAAGCAACCCTCCAAAGA-3'; annealing temperature: 54.0°C), PEPCK
2025 (accession number: NM_174737.2; forward: 5'-CAAGGATGGGGAGCCTTGTG-3';
2026 reverse: 5'-CCTCGTAGACCAGAGGGACA-3'; annealing temperature: 55.0°C),
2027 G6Pase (accession number: NM_001076124.2; forward: 5'-
2028 ATGTTGTGGTTGGGATTCTGG-3'; reverse: 5'-CACCTCGCTTGGCTTCTC-3';
2029 annealing temperature: 52.0°C), rGH (accession number: NM_176608.1; forward:
2030 5'-GGTATGGATCTCTGGCAGCTG-3'; reverse: 5'-
2031 CTCTGACAAGGAAAGCTGGTGTG-3'; annealing temperature: 55.0°C), IGF1
2032 (accession number: NM_001077828.1; forward: 5'-
2033 TTGGTGGATGCTCTCCAGTTC-3'; reverse: 5'-GCACTCATCCACGATTCCGT-3';
2034 annealing temperature: 54.0°C), glyceraldehyde-3-phosphate dehydrogenase
2035 (GAPDH; accession number: U85042; forward: 5'-
2036 GTCTTCACTACCATGGAGAAGG-3'; reverse: 5'-TCATGGATGACCTTGGCCAG-3';
2037 annealing temperature: 51.0°C), and tyrosine 3-monooxygenase/tryptophan 5-
2038 monooxygenase activation protein zeta (YWHAZ; accession number:
2039 NM_174814.2; forward: 5'-GCAAAAGACGGAAGGTGCTG-3'; reverse: 5'-
2040 CCTCAGCCAAGTAGCGGTA-3'; annealing temperature: 52.0°C).
2041

2042 The template cDNA was denatured at 95 °C for 15 seconds for 40 cycles, at
2043 the gene-specific primer annealing temperature for 15 seconds, and for elongation
2044 at 72 °C for one minute. After each PCR run, a melting curve analysis was
2045 performed to confirm that a single specific product was generated. No-template
2046 controls (NTCs), comprising the PCR reaction mix without a DNA template, were
2047 also run with each primer to confirm the absence of contamination. Green
2048 fluorescence data were acquired during the extension step. The expression of each
2049 target gene was normalized using the geometric mean of the values obtained for
2050 glyceraldehyde-3-phosphate dehydrogenase (GAPDH) and tyrosine 3-
2051 monooxygenase/tryptophan 5-monooxygenase activation protein zeta (YWHAZ)
2052 transcripts (endogenous genes).

The efficiencies of the primers were tested using Lin-RegPCR software (Ramakers, Ruijter, Deprez, & Moorman, 2003) for each reaction. Relative quantification of differential expression (QR) was performed using REST software (Pfaffl, Horgan, & Dempfle, 2002) using the comparative threshold cycle method (Livak & Schmittgen, 2001) ($QR = 2^{-\Delta\Delta Ct}$). To evaluate each expression level, one calibrator group was used as a comparison. Thus, the data obtained were expressed as 'N times' relative to the calibrator group; $P < 0.05$ was considered the level of significance.

Under HS, the levels of GLUT2, G6Pase, and rGH were downregulated (0.44 ± 0.42 , 0.46 ± 0.43 and 0.32 ± 0.27 , respectively, $P < 0.05$) in chromium-supplemented cows compared to the levels in cows fed the control diet (Figure 1). Under TN treatment, IGF1 expression was downregulated (0.09 ± 0.07 ; $P < 0.01$) in chromium-supplemented cows compared to that in cows fed the control diet. GLUT2 expression was upregulated (2.94 ± 3.78 ; $P = 0.02$) in the HS group compared to that in the TN group in cows fed the control diet. The expression of rGH was downregulated (0.24 ± 0.22 ; $P = 0.02$) in the PF group compared to that in heat-stressed cows, and IGF1 was downregulated (0.10 ± 0.09 ; $P < 0.01$) in the PF group compared to that in the TN group in cows fed the control diet (Figure 2A). However, no differences were observed in the relative abundances of GLUT2, PEPCK, G6Pase, rGH, and IGF1 transcripts among the different ECs in the chromium-supplemented cows ($P > 0.05$; Figure 2B).

2074

2075

2076

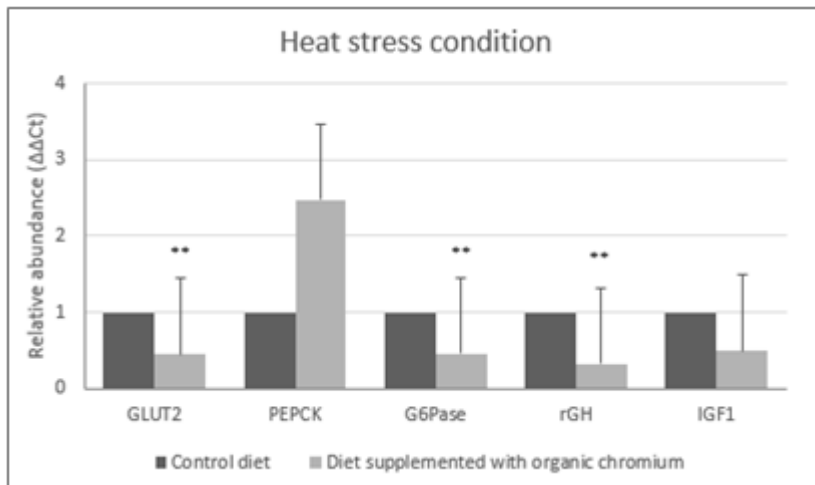


Figure 1. Relative expression levels of GLUT2, PEPCK, G6Pase, rGH, and IGF1 in the hepatic tissues of lactating Girolando cows under heat stress conditions in a climatic chamber. (**) downregulated ($P < 0.05$). GLUT2: glucose transporter 2; PEPCK: phosphoenolpyruvate carboxykinase; G6Pase: glucose 6-phosphatase; rGH: growth hormone receptor; IGF1: insulin-like growth factor 1.

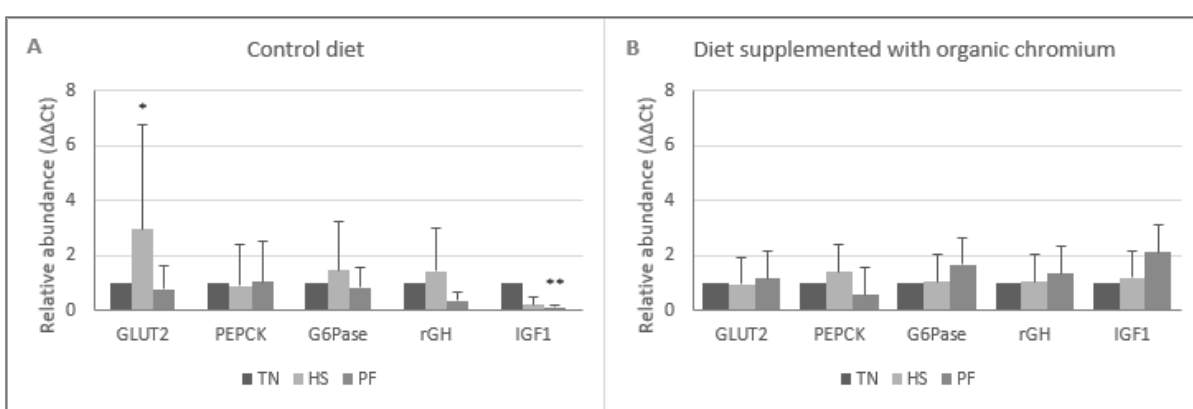


Figure 2. Relative expression levels of GLUT2, PEPCK, G6Pase, rGH, and IGF1 in the hepatic tissues of lactating Girolando cows fed, A: A control diet. B: A diet supplemented with organic chromium (0.50 mg Cr kg⁻¹ dry matter). (*) upregulated; (**) downregulated ($P < 0.05$). GLUT2: glucose transporter 2; PEPCK: phosphoenolpyruvate carboxykinase; G6Pase: glucose 6-phosphatase; rGH: growth hormone receptor; IGF1: insulin-like growth factor 1. TN: thermoneutral environment with feeding *ad libitum*; HS: heat stress conditions in a climatic chamber with feeding *ad libitum*; PF: pair-fed group in a thermoneutral environment.

Increasing selection pressure for milk production leads to increased metabolic heat being produced by cows during lactation, which aggravates heat stress in tropical regions. This illustrates the need to develop alternative strategies, potentially targeting metabolic adaptations designed to alleviate the negative effects of heat stress on dairy cattle production (Wheelock et al., 2010).

2098 Cows under heat stress have higher peripheral glucose metabolism. This
2099 metabolic alteration signals a strategy of greater heat dissipation in the peripheral
2100 tissues. However, changes in glucose metabolism are not restricted to the
2101 peripheral tissues as they involve the liver (Baumgard et al., 2011), which is the
2102 primary site of glucose production in ruminants (Collier, Collier, Rhoads, &
2103 Baumgard, 2008). Thus, fundamental metabolic pathways are altered (R. P.
2104 Rhoads, La Noce, Wheelock, & Baumgard, 2011). Ruminants obtain a small part of
2105 their glucose directly from the diet, and rely on gluconeogenesis as a fundamental
2106 method of supplying extra-hepatic tissues with glucose. Under heat stress
2107 conditions, the cows exhibit lower plasma concentrations of growth hormone (GH),
2108 sub-regulation of rGH, and less IGF1 gene expression. IGF1 produced in the liver
2109 under GH stimulation is important for milk synthesis in dairy cattle, and GH
2110 stimulates lipid mobilization and inhibits the action of insulin. Hence, lower GH
2111 concentrations favor increased insulin concentrations (M. L. Rhoads et al., 2010).
2112 Insulin is an anti-lipolytic hormone, thus, it limits the energy supply and initiates
2113 processes that provide glucose to the body, such as glycogenolysis and
2114 gluconeogenesis (R. P. Rhoads et al., 2011).

2115 The expression profiles of enzymes essential for gluconeogenesis change
2116 during a heat stress period in a manner that is apparently dependent on the
2117 nutritional plane (R. P. Rhoads et al., 2011). The abundance of PEPCK, an enzyme
2118 involved in the gluconeogenesis metabolic pathway, increased during feed
2119 restriction but was not affected by heat stress. The increased hepatic glucose
2120 output also originates from increased glycogenolysis. Glucose-6-phosphate is
2121 converted to glucose during the final steps of gluconeogenesis and glycogenolysis.
2122 This conversion, catalyzed by G6Pase, is an essential step in glucose homeostasis
2123 and only glucose, not glucose-6-phosphate, can leave the liver and enter the
2124 bloodstream, a process mediated by GLUT2 (Hah, Ryu, Lee, Jung, & Lachaal,
2125 2002).

2126 Under heat stress conditions, the abundances of GLUT2, G6Pase, and rGH
2127 mRNA were decreased in chromium-supplemented cows compared to those in
2128 cows fed the control diet. Increasing the plasma insulin concentration results in
2129 chromium moving from the plasma to insulin-dependent cells. Four Cr³⁺ ions join
2130 apochromodulin (without Cr³⁺), activating it as chromodulin, which binds to the

active site on the insulin receptor, completing its activation and amplifying the insulin signal (Pechova & Pavlata, 2007). The binding of insulin to its transmembrane receptor causes a conformational change which stimulates the translocation of glucose transporters to the plasma membrane. With the increase in efficiency of glucose uptake by cells caused by the organic chromium, supplemented cows have less of a need to activate gluconeogenesis and glycogenolysis pathways for glucose supply, which explains the lower G6Pase and GLUT2 mRNA abundances. Although they exhibited reduced rGH, the supplemented cows did not differ from non-supplemented cows in IGF1 mRNA abundance. Thus, IGF1 production via GH stimulation in the liver was not affected.

Under heat stress conditions, the increased insulin concentration (M. L. Rhoads et al., 2010), and anti-lipolytic action of insulin, stimulates the initiating the processes of generating glucose in the body, such as glycogenolysis and gluconeogenesis, and GLUT2 mediates the process of transporting glucose from the liver to the bloodstream. IGF1 mRNA abundance was downregulated in the PF group compared to that in the TN group in cows fed the control diet. Undernutrition affects the plasma concentration of IGF1 and can attenuate the IGF1 response to GH as well as affect the regulation of IGF1 normally ascribed to GH (Zulu, Nakao, & Sawamukai, 2002). The absence of changes in the mRNA expression of the studied genes in chromium-supplemented cows under different environmental conditions indicates that organic chromium affects glucose metabolism, or at least that it regulates the studied genes related to glucose metabolism at the mRNA level.

In conclusion, heat stress caused changes in the expression levels of genes related to glucose metabolism, and organic chromium was able to modulate glucose metabolism through the potentiation of insulin action in animals under heat stress conditions to some extent.

2157

2158 **Acknowledgments**

2159

2160 The authors thank the Universidade Federal Fluminense, Embrapa Gado de
2161 Leite, Fundação de Amparo à Pesquisa de Minas Gerais (FAPEMIG) and
2162 Fundação de Amparo à Pesquisa do Estado do Rio de Janeiro (FAPERJ). This

2163 study was financed in part by the Coordenação de Aperfeiçoamento de Pessoal de
2164 Nível Superior-Brasil (CAPES) - Finance Code 001.

2165

2166 **References**

2167

- 2168 Baumgard, L. H., Wheelock, J. B., Sanders, S. R., Moore, C. E., Green, H. B.,
2169 Waldron, M. R., & Rhoads, R. P. (2011). Postabsorptive carbohydrate
2170 adaptations to heat stress and monensin supplementation in lactating Holstein
2171 cows. *Journal of Dairy Science*, 94(11), 5620-5633. doi: 10.3168/jds.2011-4462
- 2172 Camargo, L. S. A., Viana, J. H. M., Ramos, A. A., Serapião, R. V., Sa, F. de, Ferreira,
2173 A. M., Guimarães, M. F. M., & Vale, V. R. do, Fº. (2007). Developmental
2174 competence and expression of the Hsp 70.1 gene in oocytes obtained from Bos
2175 indicus and Bos taurus dairy cows in a tropical environment. *Theriogenology*,
2176 68(4), 626-632. doi: 10.1016/j.theriogenology.2007.03.029
- 2177 Collier, R. J., Collier, J. L., Rhoads, R. P., & Baumgard, L. H. (2008). Genes involved
2178 in the bovine heat stress response. *Journal of Dairy Science*, 91(2), 445-454. doi:
2179 10.3168/jds.2007-0540
- 2180 Edmonson, A. J., Lean, I. J., Weaver, L. D., Farver, T., & Webster, G. (1989). Body
2181 condition scoring chart of Holstein dairy cows. *Journal of Dairy Science*, 72(1),
2182 68-78. doi: 10.3168/jds.S0022-0302(89)79081-0
- 2183 Hah, S. J., Ryu, J., Lee, W., Jung, C. Y., & Lachaal, M. (2002). The hepatocyte
2184 glucose-6-phosphatase subcomponent T3: Its relationship to GLUT2. *Biochimica
2185 et Biophysica*, 1564(1), 198-206. doi: 10.1016/S0005-2736(02)00450-9
- 2186 Livak, K. J., & Schmittgen, T. D. (2001). Analysis of relative gene expression data
2187 using real time quantitative PCR and the $2\Delta\Delta C(T)$. Method. *Methods*, 25(4), 402-
2188 408. doi: 10.1006/meth.2001.1262
- 2189 National Research Council (NRC). 2001. Nutrient Requirements of Dairy Cattle:
2190 Seventh Revised Edition, 2001. Washington, DC: The National Academies Press.
2191 doi: 10.17226/9825
- 2192 Pechova, A., & Pavlata, L. (2007). Chromium as an essential nutrient: a review.
2193 *Veterinary Medicine (Praha)*, 52(1), 1-18. doi: 10.17221/2010-VETMED
- 2194 Pfaffl, M. W., Horgan, G. W., & Dempfle, L. (2002). Relative Expression Software Tool
2195 (REST©) for group wise comparison and statistical analysis of relative expression
2196 results in real-time PCR. *Nucleic Acids Research*, 30(9), e36. doi:
2197 10.1093/nar/30.9.e36
- 2198 Ramakers, C., Ruijter, J. M., Deprez, R. H., & Moorman, A. F. M. (2003). Assumption-
2199 free analysis of quantitative real-time polymerase chain reaction (PCR) data.
2200 *Neuroscience Letters*, 339(1), 62-66. doi: 10.1016/S0304-3940(02)01423-4

- 2201 Rhoads, M. L., Kim, J. W., Collier, R. J., Crooker, B. A., Boisclair, Y. R., Baumgard, L.
2202 H., & Rhoads, R. P. (2010). Effect of heat stress and nutrition on lactating
2203 Holstein cows: II. Aspects of hepatic growth hormone responsiveness. *Journal of*
2204 *Dairy Science*, 93(1), 170-179. doi: 10.3168/jds.2009-246
- 2205 Rhoads, R. P., Baumgard, L. H., Suagee, J. K., & Sanders, S. R. (2013). Nutritional
2206 interventions to alleviate the negative consequences of heat stress. *Advances in*
2207 *Nutrition*, 4(3), 267-276. doi: 10.3945/an.112.003376
- 2208 Rhoads, R. P., La Noce, A. J., Wheelock, J. B., & Baumgard, L. H. (2011). Short
2209 communication: alterations in expression of gluconeogenic genes during heat
2210 stress and exogenous bovine somatotropin administration. *Journal of Dairy*
2211 *Science*, 94(4), 1917-1921. doi: 10.3168/jds.2010-3722
- 2212 Sadri, H., Ghorbani, G. R., Rahmani, H. R., Samie, A. H., Khorvash, M., &
2213 Bruckmaier, R. M. (2009). Chromium supplementation and substitution of barley
2214 grain with corn: Effects on performance and lactation in periparturient dairy cows.
2215 *Journal of Dairy Science*, 92(11), 5411-5418. doi: 10.3168/jds.2008-1877
- 2216 Wheelock, J. B., Rhoads, R. P., Van Baale, M. J., Sanders, S. R., & Baumgard, L. H.
2217 (2010). Effects of heat stress on energetic metabolism in lactating Holstein cows.
2218 *Journal of Dairy Science*, 93(2), 644-655. doi: 10.3168/jds.2009-2295
- 2219 Zulu, V. C., Nakao, T., & Sawamukai, Y. (2002). Insulin-like growth factor- I as a
2220 possible hormonal mediator of nutritional regulation of reproduction in cattle.
2221 *Journal of Veterinary Medical Science*, 64(8), 657-665. doi: 10.1292/jvms.64.657
- 2222
- 2223

2224 **8. CONCLUSÕES DA TESE**

2225

2226 A suplementação com cromo orgânico não altera a ingestão de matéria seca,
2227 a produção de leite ou os parâmetros reprodutivos avaliados neste estudo. A
2228 suplementação com cromo aprimora o metabolismo de glicose e previne o aumento
2229 da temperatura vaginal sob condições de estresse calórico. O estresse calórico
2230 causa mudanças na expressão de genes relacionados ao metabolismo de glicose no
2231 fígado e a suplementação com cromo mostra capacidade de modulação sobre o
2232 metabolismo da glicose em animais sob estresse calórico a partir da potencialização
2233 da ação da insulina.

2234

2235

2236

2237

2238

2239

2240

2241

2242

2243

2244

2245

2246

2247

2248

2249

2250

2251

2252

2253 **9. REFERÊNCIAS BIBLIOGRÁFICAS**

- 2254
2255 ALHIDARY, I. A.; ALSOFI, M. A.; ABDOUN, K. A.; SAMARA, E. M.; OKAB, A. B.; AL-
2256 HAIDARY, A. A. Influence of dietary chromium yeast supplementation on apparent
2257 trace elements metabolism in growing camel (*Camelus dromedarius*) reared under
2258 hot summer conditions. *Tropical Animal and Health Production*, v. 50, p. 519-524,
2259 2018.
- 2260
2261 AL-SAIADY, M. Y.; AL-SHAIKH, M. A.; AL-MUFARREJ, S. Y.; ALSHOWEIMI, T. A.;
2262 MOGAWER, H. H.; DIRRAR, A. Effect of chelated chromium supplementation on
2263 lactation performance and blood parameters of Holstein cows under heat stress.
2264 *Animal Feed Science and Technology*, v. 117, p. 223-233, 2004.
- 2265
2266 AN-QIANG, L.; ZHI-SHENG, W., AN-GUO, Z. Effect of chromium picolinate
2267 supplementation on early lactation performance, rectal temperatures, respiration
2268 rates and plasma biochemical response of Holstein cows under heat stress. *Pakistan
2269 Journal of Nutrition*, v. 8, p. 940-945, 2009.
- 2270
2271 ARMSTRONG, D. Heat stress interaction with shade and cooling. *Journal of Dairy
2272 Science*, v. 77, n. 7, p. 2044-2050, 1994.
- 2273
2274 ASCHENBACH, J. R.; KRISTENSEN, N. B.; DONKIN, S. S.; HAMMON, H. M.;
2275 PENNER, G. B. Gluconeogenesis in dairy cows: The secret of making sweet milk
2276 from sourdough. *IUBMB Life*, v. 62, n. 12, p. 869–877, 2010.
- 2277
2278 AZEVEDO, M. D.; PIRES, M. D. F. Á.; SATURNINO, H. M.; LANA, Â. M. Q.;
2279 SAMPAIO, I. B. M.; MONTEIRO, J. B. N.; MORATO, L. E. Estimation of upper critical
2280 levels of the temperature-humidity index for ½, ¾ e 7/8 lactating Holstein-Zebu dairy
2281 cows. *Revista Brasileira de Zootecnia*, v. 34, n. 6, p. 2000-2008, 2005.
- 2282
2283 BADINGA, L.; THATCHER, W.; DIAZ, T.; DROST, M.; WOLFENSON, D. Effect of
2284 environmental heat stress on follicular development and steroidogenesis in lactating
2285 Holstein cows. *Theriogenology*, v. 39, n. 4, p. 797-810, 1993.
- 2286
2287 BAUMAN, D. E.; CURRIE, W. B. Partitioning of nutrients during pregnancy and
2288 lactation: a review of mechanisms involving homeostasis and homeorhesis. *Journal
2289 of Dairy Science*, v.63, p.1514-1529, 1980.
- 2290
2291 BAUMGARD, L. H.; KEATING, P. A.; ROSS, J. W.; RHOADS, R. P. Effects of heat
2292 stress on the immune system, metabolism and nutrient partitioning: implications on
2293 reproductive success. *Revista Brasileira de Reprodução Animal*, v. 39, n. 1, p. 173-
2294 183, 2015.
- 2295
2296 BAUMGARD, L. H.; RHOADS, R. P. Effects of Heat Stress on Postabsorptive
2297 Metabolism and Energetics. *Annual Review of Animal Bioscience*, v. 1, p. 311–337,
2298 2013.
- 2299

- 2300 BAUMGARD, L. H.; RHOADS, R. P. Ruminant Nutrition Symposium: ruminant
2301 production and metabolic responses to heat stress. *Journal of Animal Science*, v. 90,
2302 p.1855–1865, 2012.
- 2303
- 2304 BAUMGARD, L. H.; WHEELOCK, J. B.; SANDERS, S. R.; MOORE, C. E.; GREEN
2305 H. B.; WALDRON, M. R.; RHOADS, R. P. Postabsorptive carbohydrate adaptations
2306 to heat stress and monensin supplementation in lactating Holstein cows. *Journal of*
2307 *Dairy Science*, v. 94, p. 5620-5633, 2011.
- 2308
- 2309 BEEDE, D. K.; COLLIER, R. J. Potential nutritional strategies for intensively
2310 managed cattle during thermal stress. *Journal of Animal Science*, v. 62, p. 543-555,
2311 1986.
- 2312
- 2313 BERMAN, A. Estimates of heat stress relief needs for Holstein dairy cows. *Journal of*
2314 *Animal Science*, v.83, p. 1377-1384, 2005.
- 2315
- 2316 BERNABUCCI, U.; BASIRICÒ, L. MORERA, P.; DIPASQUALE, D.; VITALI, A.;
2317 CAPPELLI, F. P.; CALAMARI, L. Effect of summer season on milk protein fractions in
2318 Holstein cows. *Journal of Dairy Science*, v. 98, p. 1815–1824, 2015.
- 2319
- 2320 BERNABUCCI, U.; LACETERA, N.; BAUMGARD, L. H.; RHOADS, R. P.; RONCHI,
2321 B.; NARDONE, A. Metabolic and hormonal acclimation to heat stress in
2322 domesticated ruminants. *Animal*, v.4, p. 1167-1183, 2010.
- 2323
- 2324 BIN-JUMAH, M.; ABD EL-HACK, M. E.; ABDELNOUR, S. A.; HENDY, Y. A.;
2325 GHANEM, H. A.; ALSAFY, S. A.; KHAFAGA, A. F.; NORELDIN, A. E.; SHAHEEN,
2326 H.; SAMAK, D.; MOMENAH, M. A.; ALLAM, A. A.; ALKAHTANE, A. A.; ALKAHTANI,
2327 S.; ABDEL-DAIM, M. M.; ALEYA, L. Potential use of chromium to combat thermal
2328 stress in animals: A review, *Science of the Total Environment*, v. 707, 2019.
- 2329
- 2330 BOURAOUI, R.; LAHMAR, M.; MAJDOUB, A.; DJEMALI, M.; BELYEÀ, R. The
2331 relationship of temperature-humidity index with milk production of dairy cows in a
2332 Mediterranean climate. *Animal Research*, v. 51, p.479–491, 2002.
- 2333
- 2334 BRAGANÇA, G. M.; BATISTA, R. I. T. P; SOUZA-FABJAN, J. M. G.; ALFRADIQUE,
2335 V. A. P.; ARASHIRO, E. K. N.; COSENTINO, I. O.; PINTO, P. H. N.; CAMARGO, L.
2336 S. A.; DA FONSECA, J. F.; BRANDÃO, F. Z. Dose and administration protocol for
2337 FSH used for ovarian stimulation affect gene expression in sheep cumulus-oocyte
2338 complexes. *Reproduction, Fertility and Development*, v. 30, p. 1234-1244, 2018.
- 2339
- 2340 CAMARGO, L. S. A., VIANA, J. H. M., RAMOS, A. A., SERAPIÃO, R. V., DE SA, F.,
2341 FERREIRA, A. M., GUIMARÃES, M. F. M., DO VALE FILHO, V. R. Developmental
2342 competence and expression of the Hsp 70.1 gene in oocytes obtained from Bos
2343 indicus and Bos taurus dairy cows in a tropical environment. *Theriogenology*, v. 68,
2344 p. 626-632, 2007.
- 2345

- 2346 CANAZA-CAYO, A. W., LOPES, P. S., SILVA, M. V. G. B., COBUCI, J. A., TORRES,
2347 R. A., MARTINS, M. F., AND ARBEX, W. A. Estrutura populacional da raça
2348 Girolando, *Ciência Rural*, v. 44, n. 11, p. 2072–2077, 2014.
- 2349
- 2350 CERF-BENSUSSAN, N.; GABORIAU-ROUTHIAU, V. The immune system and the
2351 gut microbiota: friends or foes? *Nature Reviews Immunology*, v. 10, p. 735-44, 2010.
- 2352
- 2353 COLLIER, R. J.; COLLIER, J. L.; RHOADS, R. P.; BAUMGARD, L. H. Genes
2354 involved in the bovine heat stress response. *Journal of Dairy Science*, v. 91, p. 445–
2355 54, 2008.
- 2356
- 2357 CONDÉ, M. S; PENA, S. M.; ROCHA JÚNIOR, C. M.; HOMEM, B. G. C.;
2358 DEMARTINI, G. P.; SILVA, A. B. Minerais quelatados na nutrição de suínos. *Revista
2359 Eletrônica Nutritime*, v. 11, n. 4, p. 3547-3565, 2014.
- 2360
- 2361 COPPOCK, C. E.; GRANT, P. A.; PORTZER, S. J. Lactating dairy cow responses to
2362 dietary sodium, chloride, bicarbonate during hot weather. *Journal of Dairy Science*, v.
2363 65, p. 566-576, 1982.
- 2364
- 2365 COWLEY, F. C.; BARBER, D. G.; HOULIHAN, A. V.; POPPI, D. P. Immediate and
2366 residual effects of heat stress and restricted intake on milk protein and casein
2367 composition and energy metabolism. *Journal of Dairy Science*, v. 98, p. 2356-2368,
2368 2015.
- 2369
- 2370 DE RENSIS, F.; GARCIA-ISPIERTO, I.; LÓPEZ-GATIUS, F. Seasonal heat stress:
2371 Clinical implications and hormone treatments for the fertility of dairy cows.
2372 *Theriogenology*, v. 84, p. 659–666, 2015.
- 2373
- 2374 DE RENSIS, F.; SCARAMUZZI, R. J. Heat stress and seasonal effects on
2375 reproduction in the dairy cow—a review. *Theriogenology*, v. 60, p.1139–1151, 2003.
- 2376
- 2377 DOSKA, M. C., SILVA, D. F. F., HORST, J. A., VALLOTO, A. A., JUNIOR, P. R.,
2378 ALMEIDA, R. Sources of variation in milk urea nitrogen in Paraná dairy cows.
2379 *Revista Brasileira de Zootecnia*, v. 41, p. 692–697, 2012.
- 2380
- 2381 EDMONSON, A. J., LEAN, I. J., WEAVER, L. D., FARVER, T. AND WEBSTER, G.
2382 Body condition scoring chart of Holstein dairy cows. *Journal of Dairy Science*, v. 72,
2383 p. 68–78, 1989.
- 2384
- 2385 EDWARDS, J. L.; HANSEN, P. J. Differential responses of bovine oocytes and
2386 preimplantation embryos to heat shock. *Molecular Reproduction and Development*, v.
2387 46, n. 2, p. 138-145, 1997.
- 2388
- 2389 European Food Safety Authority (EFSA). 2020. Scientific Opinion on the safety and
2390 efficacy of Availa®Cr (chromium chelate of DL-methionine) as a feed additive for dairy
2391 cows. *EFSA Journal*, v. 18, 26 pp.
- 2392
- 2393 FERREIRA, R. M., AYRES, H., CHIARATTI, M. R., FERRAZ, M. L., ARAÚJO, A. B.,
2394 RODRIGUES, C. A., WATANABE, Y. F., VIREQUE, A. A., JOAQUIM, D. C., SMITH,

- 2395 L. C., MEIRELLES, F. V., AND BARUSELLI, P. S. The low fertility of repeat-breeder
2396 cows during summer heat stress is related to a low oocyte competence to develop
2397 into blastocysts. *Journal of Dairy Science*, v. 94, p. 2383–2392, 2011.
- 2398
- 2399 FIALHO, A. L. L.; SOUZA-CÁCERES, M. B.; SILVA, W. A. L.; ARRUDA, E. D. S.;
2400 KISCHEL, H.; RIBEIRO-FERREIRA, M. G. C.; MEDEIROS, C. F.; SILVA, J. R.;
2401 calórico agudo e crônico sobre a qualidade oocitária de bovinos de raças adaptadas.
2402 *Arquivo Brasileiro de Medicina Veterinária e Zootecnia*, v. 70, p. 64-72, 2018.
- 2403
- 2404 FUQUAY, J. Heat stress as it affects animal production. *Journal of Animal Science*,
2405 v. 52, n. 1, p. 164-174, 1981.
- 2406
- 2407 GARNER, J. B.; DOUGLAS, M.; WILLIAMS, R. S. O.; WALES, W. J.; NGUYEN, T. T.
2408 T.; HAYES, B. J. Genomic selection improves heat tolerance in dairy cattle. *Nature
2409 Scientific Reports*, v. 6, p. 1–8, 2016.
- 2410
- 2411 GOMES, M. R.; ROGERO, M. M.; TIRAPEGUI, J. Considerações sobre cromo,
2412 insulina e exercício físico. *Revista Brasileira de Medicina do Esporte*, v. 11, p. 262-
2413 266, 2005.
- 2414
- 2415 GWAZDAUSKAS, F.; THATCHER, W.; KIDDY, C.; PAAPE, M.; WILCOX, C.
2416 Hormonal patterns during heat stress following PGF2 α -tham salt induced luteal
2417 regression in heifers. *Theriogenology*, v. 16, n. 3, p. 271-285, 1981.
- 2418
- 2419 HAH, S. J., RYU, J., LEE, W., JUNG, C. Y., & LACHAAL, M. The hepatocyte
2420 glucose-6-phosphatase subcomponent T3: Its relationship to GLUT2. *Biochimica et
2421 Biophysica*, v. 1564, p. 198-206, 2002.
- 2422
- 2423 HAMMAMI, H.; VANDENPLAS, J.; VANROBAYS, M. L.; REKIK, B.; BASTIN, C.;
2424 GENGLER, N. Genetic analysis of heat stress effects on yield traits, udder health,
2425 and fatty acids of Walloon Holstein cows. *Journal of Dairy Science*, v. 98, p. 1–13,
2426 2015.
- 2427
- 2428 HANSEN, P. J. Exploitation of genetic and physiological determinants of embryonic
2429 resistance to elevated temperature to improve embryonic survival in dairy cattle
2430 during heat stress. *Theriogenology*, v. 68(S1), p. S242–S249, 2007.
- 2431
- 2432 HANSEN, P. J. Effects of heat stress on mammalian reproduction. *Philosophical
2433 Transactions of the Royal Society B: Biological Sciences*, v. 364, p. 3341–3350,
2434 2009.
- 2435
- 2436 HAYIRLI, A. D.; BREMMER, D. R.; BERTICS, S. J.; SOCKA, M. T.; GRUMMER, R.
2437 R. Effect of chromium supplementation on production and metabolic parameters in
2438 periparturient dairy cows. *Journal of Dairy Science*, v. 84, p. 1218–1230, 2001.
- 2439
- 2440 HENAO-VELÁSQUEZ, A. F., O. D. MÚNERA-BEDOYA, A. C. HERRERA, J. H.
2441 AGUDELO-TRUJILLO, M. F. CERÓN-MUÑOZ. Lactose and milk urea nitrogen:
2442 fluctuations during lactation in Holstein cows. *Revista Brasileira de Zootecnia*, v. 43,
2443 p. 479–484, 2014.

- 2444 INTERNATIONAL DAIRY FEDERATION – IDF, 2000. Inventory of IDF/ISO/AOAC.
2445 International Adopted Methods of Analysis and Sampling for Milk and Milk Products.
2446 6th ed., Brussels, Belgium. 350p
- 2447
- 2448 IPCC, 2014: Climate Change 2014: Synthesis Report. Contribution of Working
2449 Groups I, II and III to the Fifth Assessment Report of the Intergovernmental Panel on
2450 Climate Change [Core Writing Team, R.K. Pachauri and L.A. Meyer (eds.)]. IPCC,
2451 Geneva, Switzerland, 151 pp.
- 2452
- 2453 JU, J. C. Cellular responses of oocytes and embryos under thermal stress: hints to
2454 molecular signaling. *Animal Reproduction*, v.2, n.2, p.79-90, 2005.
- 2455
- 2456 KAFILZADEH, F.; SHABANKAREH, H. K.; TARGHIBI, M. R. Effect of chromium
2457 supplementation on productive and reproductive performances and some metabolic
2458 parameters in late gestation and early lactation of dairy cows. *Biological Trace
2459 Element Research*, v. 149, p. 42-49, 2012.
- 2460
- 2461 KEGLEY E. B.; GALLOWAY, D. L.; FAKLER, T. M. Effect of dietary chromium –L-
2462 methionine on glucose metabolism of beef steers. *Journal of Animal Science*, v. 78,
2463 p. 3177-3183, 2000.
- 2464
- 2465 KEKANA, T. W.; NHERERA-CHOKUDAMUKENGELA, F. V.; MUYA, M. C.;
2466 MANYAMA, K. M.; LEHLOENYA, K. C. Milk production and blood metabolites of
2467 dairy cattle as influenced by thermal-humidity index. *Tropical Animal and Health
2468 Production*, v. 50, p. 921–924, 2018.
- 2469
- 2470 KESHRI, A.; ROY, D.; SIDHU, V. K.; KUMAR, M.; KUSHWAHA, R.; VASWANI, S.;
2471 KUMARI L. V.; SONAM, D.; PRAKASH, A.; CHOUDHURY, S. Impact of different
2472 chromium sources on physiological responses, blood biochemicals and endocrine
2473 status of heat stress in dairy calves. *Biological Rhythm Research*, 2019.
- 2474 LEIVA, T.; COOKE, R. F.; BRANDÃO, A. P.; BERTIN, R. B.; COLOMBO, E. A.;
2475 MIRANDA, V. F. B.; LOURENÇO, L. A. C.; RODRIGUES, S. M. B.; VASCONCELOS,
2476 J. L. M. Effects of supplemental calcium salts of palm oil and chromium-propionate
2477 on insulin sensitivity and productive and reproductive traits of mid- to late lactating
2478 Holstein × Gir dairy cows consuming excessive energy. *Journal of Dairy Science*, v.
2479 101, p. 491–504, 2018.
- 2480
- 2481 LEIVA, T.; COOKE, R. F.; BRANDAO, A. P.; PARDELLI, U.; RODRIGUES, R. O.;
2482 CORRA, F. N.; VASCONCELOS, J. L. Effects of concentrate type and chromium
2483 propionate on insulin sensitivity, productive and reproductive parameters of lactating
2484 dairy cows consuming excessive energy. *Animal*, v. 11, p. 436–444, 2017.
- 2485
- 2486 LIU, F.; COTTRELL, J. J.; COLLINS, C. L.; HENMAN, D. J.; O'HALLORAN, K. S. B.;
2487 DUNSHEA, F. R. Supplementation of selenium, vitamin E, chromium and betaine
2488 above recommended levels improves lactating performance of sows over summer.
2489 *Tropical Animal and Health Production*, v. 49, p. 1461-1469, 2017.
- 2490

- 2491 LIVAK, K. J.; SCHMITTGEN, T. D. Analysis of relative gene expression data using
2492 real time quantitative PCR and the $2\Delta\Delta C(T)$ Method. *Methods*, v. 25, p. 402-408,
2493 2001.
- 2494
- 2495 MOUSAVI, F.; KARIMI-DEHKORDI, S.; KARGAR, S.; KHOSRAVI-BAKHTIARI, M.
2496 Effects of dietary chromium supplementation on calf performance, metabolic
2497 hormones, oxidative status, and susceptibility to diarrhea and pneumonia. *Animal
2498 Feed Science and Technology*, v. 248, p. 95-105, 2019.
- 2499
- 2500 NARDONE, A.; RONCHI, B.; LACETERA, N.; RANIERI, M. S.; BERNABUCCI, U.
2501 Effects of climate changes on animal production and sustainability of livestock
2502 systems. *Livestock Science*, v. 130, n. 1, p. 57-69, 2010.
- 2503
- 2504 National Research Council. 2001. Nutrient Requirements of Dairy Cattle: Seventh
2505 Revised Edition, 2001. Washington, DC: The National Academies
2506
- 2507 NEGRÓN-PÉREZ, V. M.; FAUSNACHT, D. W.; RHOADS, M. L. Invited review:
2508 Management strategies capable of improving the reproductive performance of heat-
2509 stressed dairy cattle. *Journal of Dairy Science*, v. 102, 2019.
- 2510
- 2511 NIKKHAH, A.; MIRZAEI, M.; KHORVASH, M.; RAHMANI, H. R.; GHORBANI, G. R.
2512 Chromium improves production and alters metabolism of early lactation cows in
2513 summer. *Journal of Animal Physiology and Animal Nutrition*, v. 95, p. 81–89, 2011.
- 2514
- 2515 O'BRIEN, M. D.; RHOADS, R. P.; SANDERS, S. R.; DUFF, G. C.; BAUMGARD, L.
2516 H. Metabolic adaptations to heat stress in growing cattle. *Domestic Animal
2517 Endocrinology*, v. 38, p. 86–94, 2010.
- 2518
- 2519 OLIVEIRA, D. J. C.; SOARES FILHO, C. V. S. Suplementação com cromo para
2520 ruminantes. *Arquivos de Ciências Veterinárias e Zoologia da UNIPAR*, v. 8, p. 71-77,
2521 2005.
- 2522
- 2523 OLIVEIRA NETO, J. B.; MOURA, A. A. A.; NEIVA, J. N. M.; GUILHERMINA, M. M.
2524 Indicadores de Estresse calórico e Utilização da Somatotropina Bovina (bST) em
2525 Vacas Leiteiras Mestiças (*Bos taurus* x *Bos indicus*) no Semi-Árido do Nordeste.
2526 *Revista Brasileira de Zootecnia*, v. 30, p.360-367, 2001.
- 2527
- 2528 PAULA-LOPES, F.; LIMA, R.; SATRAPA, R.; BARROS, C. Physiology and
2529 Endocrinology Symposium: Influence of cattle genotype (*Bos indicus* vs. *Bos taurus*)
2530 on oocyte and preimplantation embryo resistance to increased temperature. *Journal
2531 of Animal Science*, v. 91, n. 3, p. 1143-1153, 2013.
- 2532
- 2533 PEARCE, S. C.; MANI, V.; BODDICKER, R. L.; JOHNSON, J. S.; WEBER, T. E.;
2534 ROSS, J. W.; RHOADS, R. P.; BAUMGARD, L. H.; GABLER, N. K. Heat stress
2535 reduces intestinal barrier integrity and favors intestinal glucose transport in growing
2536 pigs. *Plos One*, v.8, p. 1-9, 2013.
- 2537
- 2538 PECHOVA, A.; PAVLATA, L. Chromium as an essential nutrient: a review. *Veterinary
2539 medicine*, v. 52, p. 1–18, 2007.

- 2540 PFAFFL, M. W.; HORGAN, G. W.; DEMPFLER, L. Relative Expression Software Tool
2541 (REST©) for group wise comparison and statistical analysis of relative expression
2542 results in real-time PCR. *Nucleic Acids Research*, v. 30(9): e36, 2002.
- 2543
- 2544 PIRES, M. F. A.; CAMPOS, A. T. Relação dos dados climáticos com desempenho
2545 animal. In: RESENDE, H.; CAMPOS, A. T.; PIRES, M. F. A. (Ed.). Dados climáticos
2546 e sua utilização na atividade leiteira. Juiz de Fora: Embrapa Gado de Leite, 2003. p.
2547 103-114.
- 2548
- 2549 PIRES, M. F. A. Manejo nutricional para evitar estresse calórico. Comunicado
2550 Técnico 52. Embrapa, 2006.
- 2551
- 2552 PUTNEY, D. J.; MULLINS, S.; THATCHER, W. W., DROST, M.; GROSS, T. S.
2553 Embryonic development in superovulated dairy cattle exposed to elevated ambient
2554 temperatures between the onset of estrus and insemination. *Animal Reproduction
2555 Science*, v. 19, p. 37-51, 1989.
- 2556
- 2557 RAMAKERS, C., RUIJTER, J. M., DEPREZ, R. H., MOORMAN, A. F. M.
2558 Assumption-free analysis of quantitative real-time polymerase chain reaction (PCR)
2559 data. *Neuroscience Letters*, v. 339, p. 62-66, 2003.
- 2560
- 2561 RHOADS, M. L.; KIM, J. W.; COLLIER, R. J.; CROOKER, B. A.; BOISCLAIR, Y. R.;
2562 BAUMGARD, L. H.; RHOADS, R. P. Effect of heat stress and nutrition on lactating
2563 Holstein cows: II. Aspects of hepatic growth hormone responsiveness. *Journal of
2564 Dairy Science*, v. 93, p. 170–179, 2010.
- 2565
- 2566 RHOADS, M. L.; RHOADS, R. P.; VAN BAALE, M. J.; COLLIER, R. J.; SANDERS,
2567 S. R.; SHWARTZ, W. J.; BAUMGARD, L. H. Effects of a supplemental yeast culture
2568 on heat-stressed lactating Holstein cows. *Journal of Dairy Science*, v. 92, p.935-942,
2569 2009.
- 2570
- 2571 RHOADS, R. P.; BAUMGARD, L. H.; SUAGEE, J. K.; SANDERS, S. R. Nutritional
2572 Interventions to Alleviate the Negative Consequences of Heat Stress. *Advances in
2573 Nutrition*, v. 4, p. 267–276, 2013.
- 2574
- 2575 RHOADS, R. P.; LA NOCE, A. J; WHEELOCK, J. B.; BAUMGARD L. H. Short
2576 Communication: Alterations in expression of gluconeogenic genes during heat stress
2577 and exogenous bovine somatotropin administration. *Journal of Dairy Science*, v. 94,
2578 p. 1917-1921, 2011.
- 2579
- 2580 RÍUS, A. G. INVITED REVIEW: Adaptations of protein and amino acid metabolism to
2581 heat stress in dairy cows and other livestock species. *Applied Animal Science*, v. 35,
2582 p. 39-48, 2019.
- 2583
- 2584 RIVERA, R.; HANSEN, P. Development of cultured bovine embryos after exposure to
2585 high temperatures in the physiological range. *Reproduction*, v. 121, n. 1, p. 107-115,
2586 2001.
- 2587

- 2588 ROTH Z. Effect of Heat Stress on Reproduction in Dairy Cows: Insights into the
2589 Cellular and Molecular Responses of the Oocyte. *Annual Review of Animal*
2590 *Bioscience*, v.5, p. 151-170, 2017.
- 2591
- 2592 ROTH, Z.; HANSEN, P. J. Involvement of apoptosis in disruption of developmental
2593 competence of bovine oocytes by heat shock during maturation. *Biology of*
2594 *Reproduction*, v. 71, p. 1898–1906, 2004.
- 2595
- 2596 SADRI, H.; GHORBANI, G. R.; RAHMANI, H. R.; SAMIE, A. H.; KHORVASH, M.;
2597 BRUCKMAIER, R. M. Chromium supplementation and substitution of barley grain
2598 with corn: Effects on performance and lactation in periparturient dairy cows. *Journal*
2599 *of Dairy Science*, v. 92, p. 5411-5418, 2009.
- 2600
- 2601 SADRI, H.; RAHMANI, H. R.; KHORVASH, M.; GHORBANI, G. R.; BRUCKMAIER,
2602 R. M. Chromium supplementation and substitution of barley grain with corn: Effects
2603 on metabolite and hormonal responses in periparturient dairy cows. *Journal of*
2604 *Animal Physiology and Animal Nutrition*, v. 96, p. 220–227, 2012.
- 2605
- 2606 SANTOS, G. B., BRANDÃO, F. Z., RIBEIRO, L. S., ARASHIRO, E. K. N., GRAZIA, J.
2607 G. V., CAMARGO, L. S. A., MACHADO, F. S., VARAGO, F. C., OTTO, P. I.,
2608 CARVALHO, B. C. Metabolic, follicular and embryo production responses of
2609 postpartum crossbred Holstein x Gir dairy cows fed diets with different energy levels.
2610 *Animal Production Science*, v. 59, p. 1446-1453, 2018.
- 2611
- 2612 SHEHAB-EL-DEEN, M. A.; LEROY, J. L.; FADEL, M.; SALEH, S.; MAES, D.; VAN
2613 SOOM, A. Biochemical changes in the follicular fluid of the dominant follicle of high
2614 producing dairy cows exposed to heat stress early post-partum. *Animal Reproduction*
2615 *Science*, v. 117, n. 3, p. 189-200, 2010.
- 2616
- 2617 SHEHAB-EL-DEEN, M. A.; LEROY, J. L.; MAES, D.; VAN SOOM, A. Cryotolerance
2618 of bovine blastocysts is affected by oocyte maturation in media containing palmitic or
2619 stearic acid. *Reproduction in Domestic Animals*, v. 44, p. 140-142, 2009.
- 2620
- 2621 SILVA, C.; SARTORELLI, E.; CASTILHO, A.; SATRAPA, R.; PUELKER, R.; RAZZA,
2622 E.; TICIANELLI, J.; EDUARDO, H.; LOUREIRO, B.; BARROS, C. Effects of heat
2623 stress on development, quality and survival of *Bos indicus* and *Bos taurus* embryos
2624 produced in vitro. *Theriogenology*, v. 79, n. 2, p. 351-357, 2013.
- 2625
- 2626 SILVA, J. S.; QUEIROZ, A. C., 2002. Análise de alimentos: métodos químicos e
2627 biológicos. 3ed. Viçosa: Universidade Federal de Viçosa. 235p
- 2628
- 2629 SILVA, M. V. G. B.; MARTINS, M. F.; GONÇALVES, G. S.; PANETTO, J. C. DO C.;
2630 PAIVA, L. DE C.; MACHADO, M. A.; REIS, D. R. de L.; FERREIRA JUNIOR, E.;
2631 CEMBRANELLI, M. DE A. R., 2019. Programa de Melhoramento Genético da Raça
2632 Girolando – Sumário de Touros – Resultado do Teste de Progênie - Junho/2019.
2633 Juiz de Fora: Embrapa Gado de Leite. 68p.
- 2634

- 2635 SILVA, T. P. D.; SOUSA JUNIOR, S. C. Produção de leite de vacas submetidas a
2636 diferentes períodos de exposição à radiação solar no sul do Piauí. *Agrarian*, v. 6, p.
2637 320-325, 2013.
- 2638
- 2639 SIQUEIRA, K. B.; PINHO, M. C.; MERCÊS, E. D. S. O consumo de leite em
2640 números. *Panorama do Leite*, v. 65, p. 5-7, 2012.
- 2641
- 2642 SJAUNJA, L. O., BAEVRE, L., JUNKKARINEN, L., PEDERSEN, J., SETALA, J. A
2643 Nordic proposal for an energy corrected milk (ECM) formula. *JCAR*, 27th session of
2644 ICRPMA, p. 156–157, 1990.
- 2645
- 2646 SMITH, D. L.; SMITH, T.; RUDE, B. J.; WARD, S. H. Short communication:
2647 Comparison of the effects of heat stress on milk and component yields and somatic
2648 cell score in Holstein and Jersey cows. *Journal of Dairy Science*, v. 96, p. 3028-3033,
2649 2013.
- 2650
- 2651 SOLTAN, M. A. Effect of dietary chromium supplementation on productive and
2652 reproductive performance of early lactating dairy cows under heat stress. *Journal of
2653 Animal Physiology and Animal Nutrition*, v. 94, p. 264-272, 2010.
- 2654
- 2655 SONNA, L. A.; FUJITA, J.; GAFFIN, S. L.; LILLY, C. M. Effects of heat and cold
2656 stress on mammalian gene expression. *Journal of Applied Physiology*, v. 92, p.1725–
2657 1742, 2002.
- 2658
- 2659 SPEARS, J. W.; LLOYD, K. E.; KRAFKA, K. Chromium concentrations in ruminant
2660 feed ingredients. *Journal of Dairy Science*, v. 100, p 3584-3590, 2017.
- 2661
- 2662 SPIERS, D. E.; SPAIN, J. N.; SAMPSON, J. D.; RHOADS, R. P. Use of physiological
2663 parameters to predict milk yield and feed intake in heat-stressed dairy cows. *Journal
2664 of Thermal Biology*, v. 29, p. 759–764, 2004.
- 2665
- 2666 ST-PIERRE, N. R.; COBANOV, B.; SCHNITKEY, G. Economic losses from heat
2667 stress by US livestock industries. *Journal of Dairy Science*, v. 86, p. 52–77, 2003.
- 2668
- 2669 SUMNER, J. M.; VALDEZ, F.; MCNAMARA, J. P. Effects of Chromium Propionate on
2670 Response to an Intravenous Glucose Tolerance Test in Growing Holstein Heifers.
2671 *Journal of Dairy Science*, v. 90, p. 3467–3474, 2007.
- 2672
- 2673 TAO, S.; BUBOLZ, J. W.; DO AMARAL, B. C.; THOMPSON, I. M.; HAYEN, M. J.;
2674 JOHNSON, S. E.; DAHL, G. E. Effect of heat stress during the dry period on
2675 mammary gland development. *Journal of Dairy Science*, v. 94, p. 5976–5986, 2011.
- 2676
- 2677 TAO, S.; DAHL, G. E. Heat stress effects during late gestation on dry cows and their
2678 calves. *Journal of Dairy Science*, v.96, p. 1-15, 2013.
- 2679
- 2680 TAO, S.; ORELLANA, R. M.; WENG, X.; MARINS, T. N.; DAHL, G. E.; BERNARD, J.
2681 K. Symposium review: The influences of heat stress on bovine mammary gland
2682 function. *Journal of Dairy Science*, v.101, p. 5642-5654, 2018.

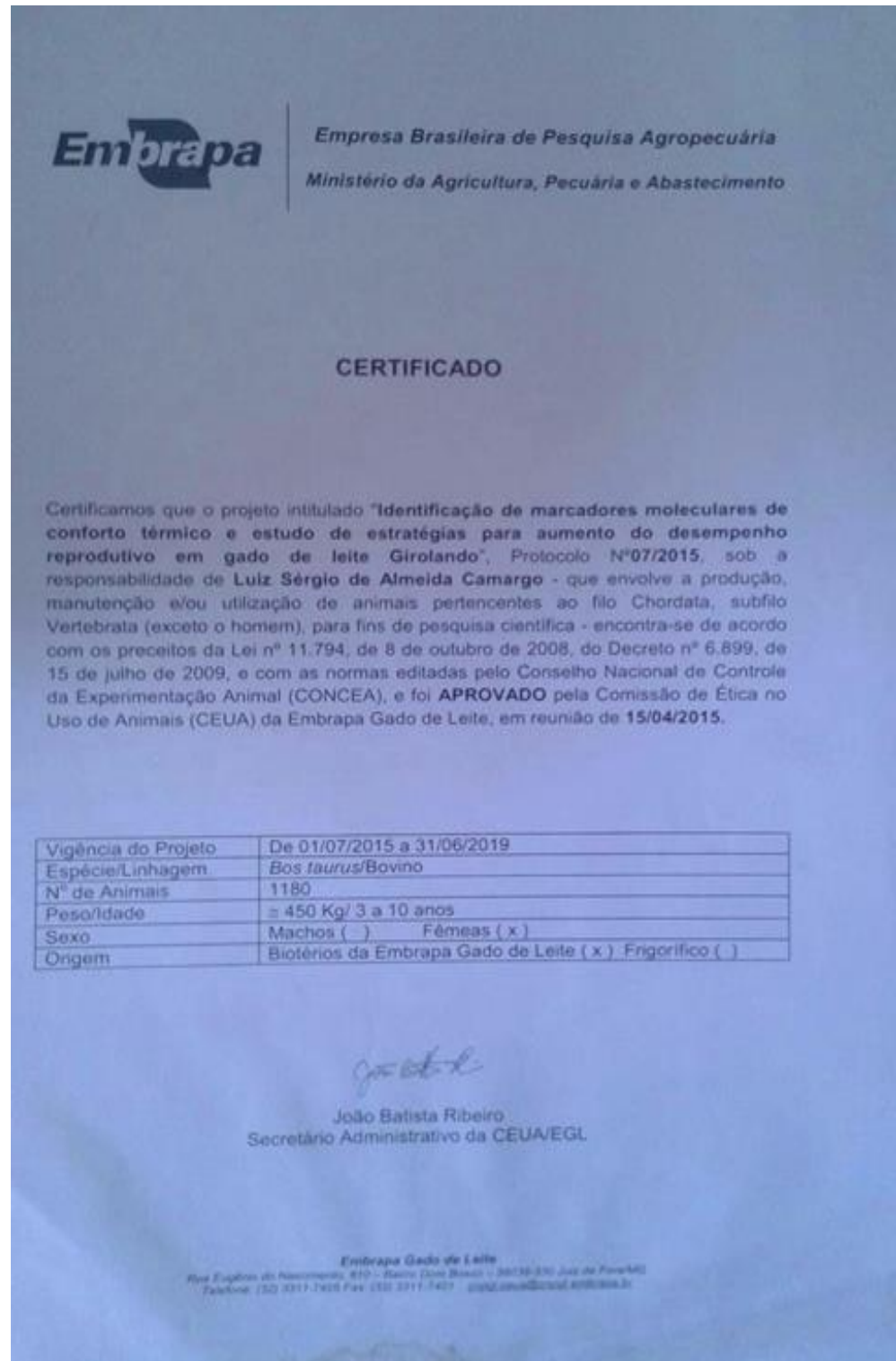
- 2683 TAO, S.; THOMPSON, I. M.; MONTEIRO, A. P. A.; HAYEN, M. J.; YOUNG, L. J.;
2684 DAHL, G. E. Effect of cooling heat-stressed dairy cows during the dry period on
2685 insulin response. *Journal of Dairy Science*, v.95, p. 5035-5046, 2012.
- 2686
- 2687 TARGHIBI, M. R.; KAFILZADEH, F.; KARAMI SHABANKAREH, H. Chromium
2688 supplementation effects on serum nitrogen constituents of dairy cows in late
2689 gestation and early lactation. *Euphrates Journal of Agriculture Science*, v. 3(9), p.
2690 239–242, 2011.
- 2691
- 2692 THATCHER, W.; COLLIER, R. Effects of climate on bovine reproduction. In: *Current*
2693 *Therapy in Theriogenology*, v. 2, p. 301-309, 1986.
- 2694
- 2695 THOM, E. C. The discomfort index. *Weatherwes*, v. 12, p. 57-60, 1959.
- 2696
- 2697 THORNTON, P.; VAN DE STEEG, J.; NOTENBAERT, A.; HERRERO, M. The
2698 impacts of climate change on livestock and livestock systems in developing
2699 countries: A review of what we know and what we need to know. *Agricultural*
2700 *Systems*, v. 101, n. 3, p. 113-127, 2009.
- 2701
- 2702 VASCONCELLOS, B. F.; PÁDUA, J. T.; MUÑOZ, M. F. C.; TONHATI, H. Efeitos
2703 genéticos e ambientais sobre a produção de leite, o intervalo de partos e a duração
2704 da lactação em um rebanho leiteiro com animais mestiços, no Brasil. *Revista*
2705 *Universitária Rural: Série Ciências da Vida*, v. 23, p. 39-45, 2003.
- 2706
- 2707 VASQUEZ, E. F. A.; HERRERA, A. P. N. Concentração plasmática de cortisol, uréia,
2708 cálcio e fósforo em vacas de corte mantidas a pasto suplementadas com levedura
2709 de cromo durante a estação de monta. *Ciência Rural*, v. 33, p. 743-747, 2003.
- 2710
- 2711 VINCENT, J. B. The biochemistry of chromium. *The Journal of Nutrition*, v. 130,
2712 p.715– 718, 2000.
- 2713
- 2714 WALDRON, M. R.; KULICK, A. E.; BELL, A. W., OVERTON, T. R. Acute
2715 experimental mastitis is not causal toward the development of energy-related
2716 metabolic disorders in early postpartum dairy cows. *Journal of Dairy Science*, v. 89,
2717 p. 596-610, 2006.
- 2718
- 2719 WEST, J. W. Physiological effects of heat stress on production and reproduction. In:
2720 TRI-STATE DAIRY NUTRITION CONFERENCE, 2002, Fort Wayne.
2721 Proceedings...Fort Wayne: Eastridge, M.D., 2002. p.1-9.
- 2722
- 2723 WEST, J. W. Effects of heat-stress on production in dairy cattle. *Journal of Dairy*
2724 *Science*, v. 86, p. 2131-2144, 2003.
- 2725
- 2726 WHEELOCK, J. B.; RHOADS, R. P.; VANBAALE, M. J.; SANDERS, S. R.;
2727 BAUMGARD, L. H. Effects of heat stress on energetic metabolism in lactating
2728 Holstein cows. *Journal of Dairy Science*, v. 93, p. 644-655, 2010.
- 2729
- 2730 WHEELOCK, J. B.; SANDERS, S. R.; SHWARTZ, G.; HERNANDEZ, L. L.; BAKER,
2731 S. H.; MCFADDEN, J. W.; ODENS, L. J.; BURGOS, R.; HARTMAN, S. R.;

- 2732 JOHNSON, R. M.; JONES, B. E.; COLLIER, R. J.; RHOADS, R. P.; VANBAALE, M.
2733 J.; BAUMGARD, L. H. Effects of heat stress and rbST on production parameters and
2734 glucose homeostasis. *Journal of Dairy Science*, v. 89, p. 290 (Abstr.), 2006.
- 2735
- 2736 WISE, M.; ARMSTRONG, D.; HUBER, J.; HUNTER, R.; WIERSMA, F. Hormonal
2737 alterations in the lactating dairy cow in response to thermal stress. *Journal of Dairy*
2738 *Science*, v. 71, n. 9, p. 2480-2485, 1988.
- 2739
- 2740 WOLFENSON, D.; THATCHER, W.; BADINGA, L.; SAVIO, J.; MEIDAN, R.; LEW, B.;
2741 BRAW-TAL, R.; BERMAN, A. Effect of heat stress on follicular development during
2742 the estrous cycle in lactating dairy cattle. *Biology of Reproduction*, v. 52, n. 5, p.
2743 1106-1113, 1995.
- 2744
- 2745 YANG, B.; JOHNSON, T. S.; THOMAS, G. H.; WATSON, P. F.; WAGNER, B.;
2746 FURNESS, P. N.; EL NAHAS, A. M. A shift in the Bax/Bcl-2 balance may activate
2747 caspase-3 and modulate apoptosis in experimental glomerulonephritis. *Kidney*
2748 *International*, v. 62, p. 1301–1313, 2002.
- 2749
- 2750 YOUSEF, M. K. Stress Physiology in Livestock. Boca Raton: CRC Press Inc., 1985.
- 2751
- 2752 ZULU, V. C., NAKAO, T., & SAWAMUKAI, Y. Insulin-like growth factor- I as a
2753 possible hormonal mediator of nutritional regulation of reproduction in cattle. *Journal*
2754 *of Veterinay Medical Science*, v. 64, p. 657-665, 2002.

2755 10. ANEXO

2756

2757 Aprovação na Comissão de Ética no Uso de Animais da Embrapa Gado de Leite



2758